

دانشگاه صنعتی شهرورد

دانشکده مهندسی کامپیوتر و فناوری اطلاعات

پایان نامه دوره‌ی کارشناسی ارشد مهندسی کامپیوتر - هوش مصنوعی

ردیابی افراد در شبکه‌ای از دوربین‌ها با دیدهای مجزا در محیط‌های بسته

رحمان یوسف زاده

استاد راهنمای:

دکتر حمید حسن پور

استاد مشاور:

دکتر علی اکبر پویان

۱۳۸۹ بهمن

## دانشگاه صنعتی شاهرود

### دانشکده: فناوری اطلاعات و کامپیووتر

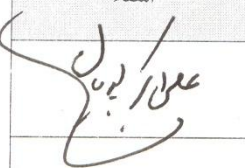
پایان نامه ارشد آقای رحمان یوسف زاده

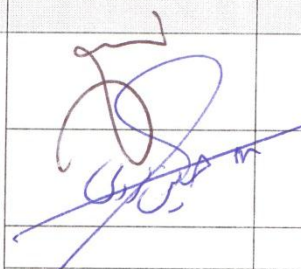
تحت عنوان:

ردگیری افراد با استفاده از چند دوربین با دیدهای متفاوت در محیط های بسته

در تاریخ ۸۹/۱۱/۱۶ توسط کمیته تخصصی زیر جهت اخذ مدرک کارشناسی ارشد مورد ارزیابی و با

درجہ عالی مورد پذیرش قرار گرفت.

امضاء	اساتید مشاور:	امضاء	اساتید راهنمای:
	نام و نام خانوادگی: دکتر علی اکبر پویان		نام و نام خانوادگی: دکتر حمید حسن پور
	نام و نام خانوادگی :		نام و نام خانوادگی :

امضاء	نماينده تحصيلات تكميلي	امضاء	اساتيد داور:
	نام و نام خانوادگی : مهندس حامد رحیم اف		نام و نام خانوادگی: دکتر مرتضی زاهدی
			نام و نام خانوادگی: دکتر مروی
			نام و نام خانوادگی:
			نام و نام خانوادگی:

## تعدیم‌هـ

پر و مادر کر اندرم،

ب‌پاس تمام فدارکاری هـ و قلب سرشار از عشق و مهربانیشان که همواره آرام بخش حضات  
سخت زندگی و پشوانه، حامی و مشوق من بوده و هستند،

وبرادر و خواهر عزیزم

که حس حضورشان، شادی بخش زندگی ام بوده است.

# مشکر و قدردانی

نخست، خداوند بزرگ را شاکرم که یادش آرام بخش جهانیان است. . این تحقیق حاصل تلاشی است که توسط افراد بسیاری حمایت شده است؛ بر خود لازم می‌دانم تشکرات عمیق قلبی‌ام را به آنها تقدیم نمایم. در ابتدا از استاد راهنمای خود، جناب آقای دکتر حمید حسنپور کمال تشکر و قدردانی را دارم. بدون راهنمایی و حمایت‌های همه جانبی ایشان این تحقیق هرگز انجام نمی‌گرفت. همچنین از استاد مشاور خود جناب آقای دکتر پویان تشکر می‌نمایم. نصایح و اندرزهای ایشان همواره باعث دلگرمی و امیدواری بنده بوده است. از جناب آقای دکتر زاهدی که افتخار شاگردی کلاس درس آنها نصیب اینجانب گردید، تشکر می‌نمایم.

حضور بنده در این مقطع، حاصل تلاش معلمان و استادی بسیاری بوده است که راهنمایی‌های ایشان روشنگر راه بنده بوده است. از تمام استادی‌گرامی خود در سالهای دبستان، راهنمایی و دبیرستان از جمله جناب آقای تنها، جناب آقای نجیبی، جناب آقای شیخ بابایی و جناب آقای رحمانی صمیمانه متشرکم. همچنین از تمام استادی‌گرامی‌ام در دوره‌ی کاردانی و کارشناسی به خصوص جناب آقای دکتر خانتیموری ، جناب آقای مهندس احمدی ، سرکار خانم مهندس صفری و جناب آقای مهندس محمدپور تشکر ویژه ای دارم.

در طول این دوره افرادی بسیاری بوده‌اند که همواره نسبت به بنده لطف داشته و سعی در حل مشکلات بنده داشته‌اند. ابتدا برخود لازم می‌دانم از دوستان خوبم در مرکز کامپیوترا دانشگاه صنعتی شاهرود تشکر نمایم. همچنین از زحمات مسئولین آموزش دانشکده سرکار خانم سرائی و جناب آقای نصرتی قدردانی می‌نمایم که در این مدت همواره با صبر و مهربانی خود، راهنمای بنده در مسائل آموزشی بوده‌اند. از تمام دوستانی که در این مدت، افتخار آشناشان نصیب اینجانب گردید، به خصوص دوستان هم‌خانهام که باعث گردیدند تا خاطرات به یادماندنی ای از این دوره در ذهن اینجانب نقش گیرد تشکر ویژه ای نمایم.

صمیمانه‌ترین سپاسگزاری خود را به خانواده‌ام تقدیم می‌نمایم. کلمه‌ای را نمی‌توان یافت که بتواند فدایکاری و توجه آنها را توصیف نماید. از خانواده‌ام بسیار متشرکم و این مجموعه را به آنها تقدیم می‌کنم.

## تعهد نامه

اینجانب بر جان لیور اد دانشجوی دوره کارشناسی ارشد رشته کامپیوتر - هنر مهندسی دانشکده کامپیوتر دانشگاه صنعتی شاهرود نویسنده پایان نامه دایی افراد در برداشت بررسی های ابزاری های جزء از محض بررسی تحت راهنمایی دکتر محمد حسین متعهد می شوم.

- تحقیقات در این پایان نامه توسط اینجانب انجام شده است و از صحت و اصالت بخوردار است.
- در استفاده از نتایج پژوهش‌های محققان دیگر به مرجع مورد استفاده استناد شده است.
- مطلوب مندرج در پایان نامه تاکنون توسط خود یا فرد دیگری برای دریافت هیچ نوع مدرک یا امتیازی در هیچ جا رانه نشده است.
- کلیه حقوق معنوی این اثر متعلق به دانشگاه صنعتی شاهرود می باشد و مقالات مستخرج با نام « دانشگاه صنعتی شاهرود » و یا « Shahrood University of Technology » به چاپ خواهد رسید.
- حقوق معنوی تمام افرادی که در به دست آمدن نتایج اصلی پایان نامه تأثیرگذار بوده اند در مقالات مستخرج از پایان نامه رعایت می گردد.
- در کلیه مراحل انجام این پایان نامه ، در مواردی که از موجود زنده ( یا پافتهای آنها ) استفاده شده است ضوابط و اصول اخلاقی رعایت شده است.
- در کلیه مراحل انجام این پایان نامه ، در مواردی که بتوسیله اطلاعات شخصی افراد دسترسی یافته یا استفاده شده است اصل رازداری ، ضوابط و اصول اخلاق انسانی رعایت شده است.

تاریخ ۱۶/۱۱/۹۸

امضای دانشجو

### مالکیت نتایج و حق

- کلیه حقوق معنوی این اثر و محصولات آن (مقالات مستخرج ، کتاب ، برگامه های رایانه ای ، نرم افزار ها و تجهیزات ساخته شده است) متعلق به دانشگاه صنعتی شاهرود می باشد . این مطلب باید به نحو مقتضی در تولیدات علمی مربوطه ذکر شود.
- استفاده از اطلاعات و نتایج موجود در پایان نامه بدون ذکر مرجع مجاز نمی باشد.

\* متن این صفحه نیز باید در ابتدای نسخه های تکثیر شده پایان نامه وجود داشته باشد.

تجزیه و تحلیل رفتار افراد کاربردهای زیادی در حوزه‌های مختلف دارد که از آن جمله می‌توان به بررسی رفتار افراد در مراکز خرید و نیز حفظ امنیت اماکنی مانند بانک‌ها و فروگاه‌ها اشاره نمود. ردیابی افراد اولین مرحله در این سیستم‌ها می‌باشد. به دلیل محدودیت وسعت دید دوربین، بررسی تمام محیط مورد نظر با استفاده از یک دوربین، در بسیاری از کاربردها امکان پذیر نمی‌باشد. بر این اساس عوامل شبکه‌ای از دوربین‌ها مورد نیاز است. علاوه بر مسائل مطرح در ردیابی با یک دوربین، ردیابی افراد در شبکه‌ی توزیع شده‌ای از دوربین‌ها، از جهات دیگر نیز چالش بر انگیز می‌باشد. به عنوان مثال ظاهر افراد در دوربین‌های مختلف، به دلیل عواملی از قبیل شرایط نوری محیط، موقعیت افراد نسبت به دوربین، زاویه‌ی دید و پارامترهای دوربین متفاوت می‌باشد. همچنین حضور افراد در زمان و مکان‌های مختلف در مقابل دید دوربین‌ها تابع قانون خاصی نبوده و افراد می‌توانند به صورت غیر یکنواخت در زمان‌های مختلف، در مکان‌های متفاوتی قرار گیرند. علاوه بر این ممکن است دوربین‌های متوالی فضای دید مشترکی نداشته باشند که این موضوع بر پیچیدگی مسئله می‌افزاید.

در این پایان نامه راهکاری برای ردیابی افراد در شبکه‌ای از دوربین‌ها بدون فضای دید مشترک، ارائه شده است. در این روش، ردیابی افراد طی دو مرحله انجام می‌گیرد. در مرحله اول در هر یک از دوربین‌ها افراد بطور مستقل شناسایی و ردیابی می‌شوند. در این مرحله اتفاقات رخ داده در هر محیط (دوربین) بر اساس یک ساختمندانه داده‌ی استاندارد در پایگاه داده‌ی مرکزی ذخیره می‌گردد. در مرحله دوم، تک تک افراد با توجه به اطلاعات ثبت شده در پایگاه داده در کل محیط تحت پوش ردیابی می‌شوند.

به منظور تشخیص افراد در یک دوربین از مدل سازی پس زمینه و محاسبه‌ی تفاضل فریم فعلی و فریم پس زمینه استفاده شده است. پس از اعمال پیش پردازش هایی برای بهبود کیفیت تصویر اشیاء تشخیص داده شده، و حذف قسمت‌های زائد مانند سایه، خط سیر افراد با اعمال فیلتر کالمن به

دست می‌آید. الگوریتم ارائه شده، با استفاده از اطلاعات حرکتی، قادر به ردیابی افراد در شرایط نوری مختلف، و همچنین هنگام بروز هم پوشانی‌های معمول بین افراد می‌باشد.

برای برقراری ارتباط بین مشاهدات دریافت شده در مجموعه‌ی دوربین‌ها جهت ردیابی افراد، ویژگی‌های استخراج شده هر شی با ویژگی‌های ذخیره شده در پایگاه داده مقایسه شده و در صورت منطبق بودن برچسب آن بروز رسانی می‌گردد. در این پایان نامه ویژگی جدیدی بر مبنای بافت رنگی تصویر معرفی شده است که نسبت به تغییرات نور دارای ثبات بیشتری بوده و از قابلیت تفکیک بالاتری برخوردار است. این ویژگی از استخراج عناصر واقع بر قطر اصلی ماتریس هم رخداد شی در فضای رنگی YCbCr به دست می‌آید.

به منظور ارزیابی عملکرد الگوریتم ارائه شده، این روش بر روی چند مجموعه‌ی ویدئویی از جمله ویدئوهای ضبط شده از پنج صحنه مختلف از یک محیط کاری که دارای پیچیدگی بالایی می‌باشد، اعمال شده است. نتایج نشان می‌دهد ویژگی ارائه شده دارای دقت بالاتری نسبت به هیستوگرام رنگ و روش‌های مشتق شده از آن دارد.

کلمات کلیدی: ردیابی افراد، ماتریس هم رخداد، مدل ظاهر، فضای رنگ، سیستم‌های ناظارتی

# فهرست مطالب

۱۵ .....	فصل ۱: مقدمه.....
۱۹ .....	۱-۱- اهداف پایان نامه.....
۲۰ .....	۱-۲- محدودیت ها و فرضیات مساله.....
۲۱ .....	۱-۳- کاربردها.....
۲۳ .....	۱-۴- ساختار پایان نامه.....
۲۴ .....	فصل ۲: آشکار سازی افراد.....
۲۵ .....	۲-۱- مقدمه.....
۲۶ .....	۲-۲- شارنوری.....
۲۶ .....	۲-۳- تفاضل فریم های متواالی.....
۲۷ .....	۲-۴- تفاضل زمینه.....
۲۸ .....	۲-۵- تخمین پس زمینه به کمک مدل ترکیبی گاووسی.....
۳۰ .....	۲-۵-۱- تئوری مدل گاووسی.....
۳۱ .....	۲-۵-۲- به روزرسانی مدل ترکیبی گاووسی.....
۳۲ .....	۲-۵-۳- آشکار سازی پیش زمینه.....
۳۴ .....	۲-۶- حذف نویز.....
۳۴ .....	۲-۷- حذف سایه.....
۳۷ .....	۲-۸- شمای کلی زیر سیستم آشکار سازی افراد.....
۳۸ .....	۲-۹- نتیجه گیری.....
۳۹ .....	فصل ۳: ردیابی افراد در یک دوربین.....
۴۰ .....	۳-۱- مقدمه.....
۴۰ .....	۳-۲- مروری بر کارهای گذشته.....

۴۱	۳-۲-۱- نحوه انتخاب معیار ردیابی.....
۴۶	۳-۲-۲- نحوه ی تطابق مشاهدات.....
۴۸	۳-۳- فیلترینگ تصادفی.....
۵۰	۳-۳-۱- فیلترینگ بازگشته بیزین غیر خطی .....
۵۳	۳-۴- فیلتر کالمن.....
۵۹	۳-۵- ردیابی اهداف چندگانه.....
۶۰	۳-۵-۱- فرمول بندی بیزین عمومی برای ردیابی اهداف چندگانه.....
۶۲	۳-۵-۲- ردیابی فرضیات چندگانه(MHT).....
۶۳	۳-۵-۳- الگوریتم <i>JPDAF</i> .....
۶۵	۳-۵-۴- سایر روش های ردیابی.....
۶۷	۳-۶- سیستم پیاده سازی شده .....
۶۸	نتیجه گیری.....
۶۹	فصل ۴: ردیابی اهداف در چند دوربین.....
۷۰	۴-۱- مقدمه.....
۷۳	۴-۲- تعریف مساله.....
۷۵	۴-۳- ویژگی های قابل استفاده برای برقراری ارتباط بین مشاهدات.....
۷۵	۴-۳-۱- رنگ.....
۷۷	۴-۲-۳- ویژگی های مستقل از تغییر مقیاس.....
۸۱	۴-۴- معیار های اندازه گیری شباهت .....
۸۳	۴-۵- ویژگی معرفی شده در پایان نامه.....
۸۴	۴-۵-۱- ماتریس همرخداد.....
۸۴	۴-۶- استخراج ویژگی.....
۸۸	۴-۷- بهبود کارایی با تقسیم ظاهر افراد به چند قسمت.....
۸۹	۴-۸- تطبیق ویژگی ها.....

۸۹	نتیجه گیری ..... ۴-۹
۹۰	فصل ۵: پیاده سازی سیستم و نتایج حاصله ..... فصل ۵: پیاده سازی سیستم و نتایج حاصله
۹۱	۱-۵- توصیف کلی سیستم پیاده سازی شده ..... ۱-۵
۹۲	۱-۱-۵- زیر سیستم تشخیص و جدا سازی افراد ..... ۱-۱-۵
۹۲	۱-۲-۵- زیر سیستم ردیابی افراد در یک دوربین ..... ۱-۲-۵
۹۴	۱-۳-۵- زیر سیستم برقراری ارتباط بین مشاهدات و ردیابی در چند دوربین ..... ۱-۳-۵
۹۵	۲-۵- مجموعه داده ..... ۲-۵
۱۰۴	۳-۵- بررسی پارامتر های تاثیرگذار ..... ۳-۵
۱۰۷	۴-۵- نتیجه گیری ..... ۴-۵
۱۰۸	فصل ۶: نتیجه گیری و پیشنهادات برای کارهای آینده ..... فصل ۶: نتیجه گیری و پیشنهادات برای کارهای آینده
۱۰۹	۱-۶- نتیجه گیری ..... ۱-۶
۱۱۲	۲-۶- پیشنهادات ..... ۲-۶

# فهرست شکل‌ها

شکل ۱-۱ ساختار سیستم ردیابی پیشنهاد شده و زیر سیستم‌های آن ..... ۱۹
شکل ۱-۲ (الف) چگالی مربوط به یک پیکسل در دویست و پنجاه فریم متوالی (ب) تویع‌های گاوی تشخیص داده شده برای مقادیر موجود [۹] ..... ۳۰
شکل ۲-۱ فریم فعلی ..... ۳۳
شکل ۲-۲ تصویر زمینه، مدل زمینه با این تصویر برابر نبوده و مجموعه‌ای از مدل‌های گاوی برای هر پیکسل می‌باشد .. ۳۳
شکل ۴-۲ نتیجه‌ی تفاضل فریم فعلی و مدل زمینه ..... ۳۳
شکل ۵-۲ دو فریم و سایه‌ی تشخیص داده شده، قسمت‌های خاکستری نشان دهنده‌ی سایه می‌باشد. بخش الف و پ تصاویر اصلی و بخش ب و ت سایه‌های تشخیص داده شده هستند. ..... ۳۶
شکل ۶-۲: زیرسیستم آشکار سازی اهداف ..... ۳۷
شکل ۱-۳ عوامل محدود کننده در ردیابی قطعی افراد (الف) مجاورت (ب) حداکثر سرعت (پ) تغییرات جزئی سرعت (ت) حرکات مشترک (ث) ثبات شکل ..... ۴۷
شکل ۲-۳ مراحل پیش‌بینی و بروز رسانی در تئوری بیزین ..... ۵۲
شکل ۳-۳ مثال ارتباط اطلاعات. (الف) دو هدف (دایره‌ها) به همراه دو داده‌ی مشاهده شده (مثلث‌ها)، جهت ایجاد ارتباط. ..... ۵۹
ب) حالت ممکن اول در مسئله‌ی ارتباط اطلاعات. (ج) حالت ممکن دوم برای مسئله‌ی ارتباط اطلاعات. ..... ۷۸
شکل ۱-۴: نحوه‌ی ایجاد هرم تفاضل گاوی‌ها [۴۷] ..... ۷۸
شکل ۲-۴ نحوه‌ی تولید توصیف کننده برای نقاط کلیدی در ویژگی مستقل از مقیاس (الف) گرادیان در همسایگی نقطه‌ی کلیدی (ب) توصیف کننده ..... ۷۹
شکل ۳-۴ تصاویری با بافت‌های مختلف و ماتریس‌هم رخداد متناظر آنها ..... ۸۶
شکل ۴-۴ تصویر دو فرد و بردار‌های به دست آمده با استفاده از روش پیشنهادی ..... ۸۷
شکل ۵-۴ محدوده‌ی تقسیم ظاهر افراد ..... ۸۸
شکل ۱-۵ ساختار سیستم ردیابی پیشنهاد شده و زیر سیستم‌های آن ..... ۹۱
شکل ۲-۵ زیرسیستم آشکار سازی اهداف ..... ۹۳
شکل ۴-۵: نمای دوربین‌های نصب شده در ساختمان برای جمع آوری پایگاه داده (الف) دوربین ۱، طبقه‌ی ۴ (ب) دوربین ۲ طبقه‌ی ۴ (پ) دوربین ۳، طبقه‌ی ۳ (ت) دوربین ۴، طبقه‌ی ۳ (ث) دوربین ۵، طبقه‌ی ۲ ..... ۹۶
شکل ۵-۵ نمونه‌ای از ردیابی یک فرد در مجموعه‌ی دوربین‌ها از شماره ۱ تا شماره ۴، شروع از راست به چپ ..... ۱۰۳
شکل ۶-۵ دقیق هیستوگرام رنگ و ویژگی پیشنهاد شده در فضاهای رنگی مختلف ..... ۱۰۵
شکل ۷-۵: نتایج به دست آمده استفاده از معیار‌های شباهت بر روی ویژگی تعریف شده ..... ۱۰۵
شکل ۸-۵ تاثیر ابعاد ماتریس‌هم جواری در کارایی سیستم ..... ۱۰۶
شکل ۹-۵ تأثیر تعداد قطرهای اصلی بر کارایی سیستم ..... ۱۰۷

## فهرست جداول

۹۸.....	جدول ۱-۵ تصاویر به دست آمده از افراد در هر یک از دوربین ها.....
۱۰۰.....	جدول ۲-۵ مقایسه ای تصاویر مربوط به فرد ۱ و ۲ با تصاویر موجود در پایگاه داده و نتایج حاصله.....
۱۰۱.....	جدول ۳-۵ مقایسه ای تصاویر مربوط به فرد ۳ و ۴ با تصاویر موجود در پایگاه داده و نتایج حاصله.....
۱۰۲.....	جدول ۴-۵ مقایسه ای تصاویر مربوط به فرد ۵ با تصاویر موجود در پایگاه داده و نتایج حاصله.....

# فهرست علامات و اصطلاحات اختصاری

ANN	Atrificial Neural Network
CAD	Computer Aided Design
DOG	Difference Of Gaussian
EM	Expectation Maximization
ETISEO	Evaluation du Traitement et de lInterpretation de Sequences Video - Evaluation for video understanding
GMM	Gaussian Mixture Model
HMM	Hidden Markov Model
HSV	Hue,Saturation,Value
JPDAF	Joint Probabilistic Data Association Filter
MHT	Muldiple Hypothesis Tracking
MTT	Multi Target Tracking
PDA	Probablistic Data Association
PDF	Probability Density Fintion
PETS	Performance Evaluation of Tracking Systems
PTZ	Pan Tilt Zoom
RAG	Region Adjacent Graph
RGB	Red,Green,Blue
ROI	Region Of Interest
SIFT	Scale Invariant Feature Transform
XML	Extensible Markup Language
YCbCr	Luminance, Blue Chrominance, Red Chrominance

## فصل ۱: مقدمه

ردیابی افراد از ضروریات سیستم‌های نظارتی و محیط‌های هوشمند می‌باشد که به دلیل کاربرد گسترده در حوزه‌های مختلف، مورد توجه بسیاری از محققان قرار گرفته است. در این فصل مبانی ردیابی اهداف به همراه ضروریات، کاربردها و مزومات سیستم‌های ردیابی اهداف در چند دوربین با دیدهای مجزا، مورد بررسی قرار خواهد گرفت.

ردیابی افراد از ضروریات سیستم‌های نظارتی و محیط‌های هوشمند می‌باشد که به دلیل کاربرد گسترده در حوزه‌های مختلف، مورد توجه بسیاری از محققان قرار گرفته است. به عنوان مثالی از کاربردهای ردیابی افراد می‌توان به سیستم‌های آنالیز رفتار افراد در مراکز خرید جهت تشخیص رفتار مشکوک و یا ردیابی افراد مجرم در فروندگاه‌ها اشاره نمود. در سالهای اخیر کاربرد ردیابی افراد به طور گسترده‌ای افزایش یافته و علاوه بر مسائل امنیتی، در حوزه‌هایی نظیر اقتصاد و مدیریت نیز مورد استفاده قرار گرفته است. به عنوان مثال مراکز خرید با استفاده از اطلاعات به دست آمده توسط ردیابی مشتریان و تکنیک‌های داده‌کاوی، الگوهای رفتاری مشتریان نسبت به نحوه چینش محصولات، مسیرهای رفت‌وآمد، ساعت‌های خرید و سایر اطلاعات لازم را استخراج نموده و اقدامات لازم را نسبت به افزایش بهره وری اعمال می‌نمایند.

مساله‌ی ردیابی اهداف در ویدئو را می‌توان به صورت مساله‌ی تخمین خط سیر<sup>۱</sup> یک شی هنگام عبور شی از محیط تعریف نمود[۱]. به عبارت ساده‌تر هدف از ردیابی افراد مشخص نمودن مکان یک شی در هر لحظه از زمان است. به این منظور، ویژگی‌های سطح پایین تصویر مانند لبه، رنگ و بافت در یک قاب ویدئویی<sup>۲</sup> استخراج شده و در قاب بعدی برای یافتن محل جدید شی مورد استفاده قرار می‌گیرند. در صورتی که افراد به صورت پیوسته قابل مشاهده باشند و شکل، اندازه و سایر ویژگی‌های آنها در طول زمان تغییر ننماید، ردیابی افراد سختی نمی‌باشد[۲]. اما در محیط‌های واقعی، معمولاً شرایط بالا صادق نمی‌باشند. همچنین افراد می‌توانند دچار هم پوشانی شوند و تمام یا بخشی از تصویر آنها برای مدتی توسط تصویر شی دیگر و یا سایر عناصر موجود در محیط پوشانده شود. علاوه بر موارد ذکر شده ردیابی افراد می‌تواند تحت تاثیر تشخیص‌های اشتباه و یا ناقص در الگوریتم تشخیص افراد، منجر به نتایج اشتباه گردد. در خصوص نحوه انتخاب، تولید، ترکیب و چگونگی ارتباط بین ویژگی‌ها جهت تولید یک نتیجه مناسب روش‌های مختلفی ارائه شده است. تفاوت روش‌های ردیابی در مسائلی

---

Trajectory<sup>۱</sup>  
Frame<sup>۲</sup>

از قبیل فرضیات صحنه، حالت حرکت شیء و مدل حرکت می باشد که در فصل دوم و سوم به برخی از این روش‌ها اشاره شده است.

عمل ردیابی اهداف متحرک در یک دوربین طی سه مرحله انجام می‌گیرد. در مرحله‌ی اول، اهداف از تصویر استخراج شده و سایر داده‌های اضافی حذف می‌گردند. این مرحله با مشکلاتی از قبیل پویائی محیط، نویز، سایه و همپوشانی بین افراد مواجه می‌باشد. سپس ویژگی‌های نواحی آشکار شده محاسبه می‌گردند. استخراج ویژگی می‌تواند به منظور کاهش حجم اطلاعات و یا متناسب کردن اطلاعات صورت پذیرد. این ویژگی‌ها می‌تواند رنگ، بافت<sup>۱</sup>، شکل و یا ویژگی‌های پیچیده‌تری مانند موجک<sup>۲</sup> یا توصیف کننده‌های مستقل از مقیاس<sup>۳</sup> باشند. ثبات ویژگی نسبت به شرایط محیطی، دقت کافی و هزینه‌ی محاسباتی پایین از جمله‌ی مواردی است که در این مرحله حائز اهمیت می‌باشد. در مرحله‌ی سوم ویژگی‌های استخراج شده از یک تصویر در تصویر بعدی تعقیب و دنبال می‌گردند. تکنیک‌های متعددی در این زمینه وجود دارد که در نحوه‌ی جستجوی افراد، مدیریت همپوشانی بین افراد و روش‌های پیش‌بینی با هم تفاوت دارند. در فصل سوم هر یک از این بخش‌ها توضیح داده خواهند شد.

در اغلب موارد سیستم‌های ردیابی، برای نظارت بر محیط‌های بزرگ مانند فرودگاه‌ها، مراکز خرید و محیط‌های هوشمند نیاز است. در این سناریوها نمی‌توان با استفاده از یک دوربین، تمام ناحیه‌ی نظارت را تحت پوشش قرار داد. این محدودیت می‌تواند ناشی از محدودیت‌های وضوح حسگر دریافت کننده‌ی تصاویر (دوربین) و یا موانع موجود در محیط باشد. بنابراین سیستم نظارتی یک ناحیه‌ی بزرگ، باید افراد را در شبکه‌ای از دوربین‌ها ردیابی نماید<sup>[۲]</sup>. همچنین هنگام استفاده از چند دوربین ممکن است پوشش دادن تمامی محدوده‌ی مورد نظر با استفاده از دوربین‌ها میسر نباشد. حتی در

---

Texture<sup>۱</sup>  
Wavelet<sup>۲</sup>  
Scale Invariant Feature Transform (SIFT)<sup>۳</sup>

صورتی که بتوان تمام محیط را با استفاده از چندین دوربین با فضای دید مشترک تحت پوشش قرار داد، مشکلاتی نظیر کالیبره<sup>۱</sup> شدن دوربین‌ها با هم به وجود می‌آید که تغییر در فضای دید یک دوربین موجب تغییر در بقیه‌ی دوربین‌ها می‌گردد. بنابر این در سناریوهای ناظارتی<sup>۲</sup> تعریف شده در محیط‌های واقعی نیاز به سیستم‌هایی است که بتوانند افراد را از طریق چندین دوربین با فضای دید غیر مشترک ردیابی نماید.

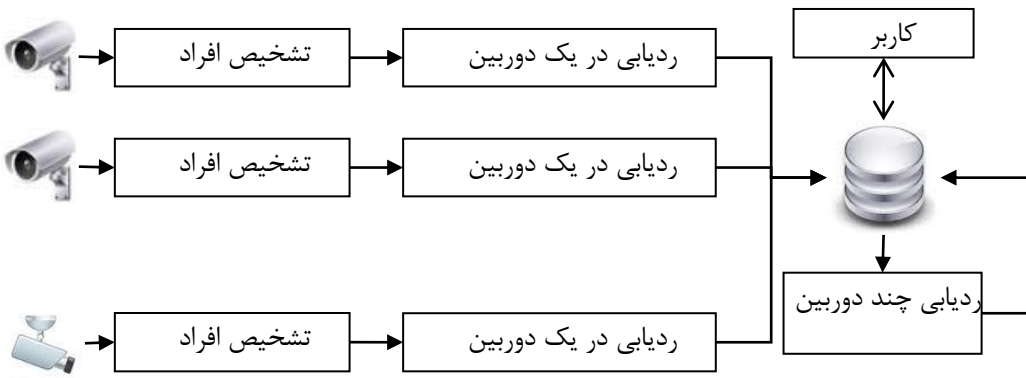
ردیابی افراد در دو مرحله انجام می‌پذیرد. ابتدا افراد در تک‌تک دوربین‌ها ردیابی می‌شوند. سپس با استفاده از ویژگی‌های استخراج شده، مشاهدات مربوط به یک فرد مشخص شده و خط سیر افراد در کل محیط محاسبه می‌گردد. به عبارت دیگر در صورتی که مجموعه‌ای از خط سیر‌ها در هر دوربین موجود باشد، باید بتوانیم مشخص کنیم که کدام یک از خط سیرها مربوط به یک فرد خاص می‌باشد.

علاوه بر مسائلی که در ردیابی افراد در یک دوربین مطرح است، ردیابی با استفاده از چندین دوربین از جهات دیگر نیز چالش‌برانگیز است. مشاهدات دریافت شده از یک شی به صورت گستردگی در زمان و مکان قابل توزیع می‌باشند و حضور افراد در زمان و مکان‌های مختلف در ناحیه‌ی دید دوربین‌ها تابع قانون خاصی نمی‌باشد. بنابر این نمی‌توان از ویژگی‌های زمان و مکان برای بررسی شباهت‌ها و مطابقت‌ها استفاده نمود. همچنین، ظاهر یک شی، تابعی از نور محیط، ویژگی‌های هندسی<sup>۳</sup>، نوع سطح<sup>۴</sup> شی و مشخصات دوربین می‌باشد. بنابراین ظاهر یک شی در یک دوربین به دلیل عواملی از قبیل شرایط نوری محیط، موقعیت افراد، زاویه‌ی دید و سایر پارامترهای دوربین، می‌تواند با ظاهر همان شی در دوربین دیگر متفاوت باشد.

---

Calibrate<sup>۱</sup>  
Surveillance<sup>۲</sup>  
Geometry properties<sup>۳</sup>  
Object Surface<sup>۴</sup>

در این پایان نامه سیستمی برای ردیابی افراد در شبکه ای از دوربین ها که هیچ اشتراکی در فضای دید ندارند، مورد بررسی قرار گرفته است. ساختار سیستم پیشنهاد شده در شکل ۱-۱ نشان داده شده است. این سیستم از سه زیر سیستم مجزا تشکیل شده است. ردیابی در هر دوربین به صورت مستقل انجام شده و نتایج به دست آمده در قالب یک ساختمان داده استاندارد در پایگاه داده ذخیره می‌شوند. سپس زیر سیستم ردیابی افراد در چند دوربین با استفاده از اطلاعات موجود در پایگاه داده، ارتباط بین مشاهدات و رویدادهای اتفاق افتاده در دوربین های مختلف را برقرار می نماید.



شکل ۱-۱ ساختار سیستم ردیابی پیشنهاد شده و زیر سیستم های آن

### ۱-۱-۱- اهداف پایان نامه

هدف اصلی این پایان نامه ارائه سیستم ردیابی افراد در مجموعه ای از دوربین های تنظیم نشده<sup>۱</sup> با نواحی دید غیرهمپوشان می باشد. سیستم پیشنهاد شده از یک پایگاه داده برای ذخیره رویدادها تشکیل شده است. رویدادهای سیستم را می توان به سه دسته ای ورود، خروج و تغییر مکان تقسیم بندی کرد. معمول ترین رویداد، حرکت فرد در محیط دید یک دوربین است. ردیابی افراد در هر یک از دوربین ها به صورت مستقل انجام گرفته و حرکات افراد به همراه جزئیات آن<sup>۲</sup>، در قالب یک ساختمان داده ای استاندارد در پایگاه داده سیستم ذخیره می گردد. هنگام خروج فرد از محیط دید یک

<sup>۱</sup> Uncalibrated

<sup>۲</sup> جزئیات فرد شامل یک شماره منحصر به فرد، اطلاعات زمانی / مکانی و اطلاعات ظاهری فرد می باشد.

دوربین، ویژگی‌های لازم برای شناسایی در مرحله‌ی بعد شناسایی شده و ذخیره می‌گردند. با ورود یک فرد به محیط دید دوربین، سیستم، ویژگی‌های به دست آمده از فرد را با رکوردهای مربوط به خروج افراد، مقایسه نموده و در صورت تطابق، اطلاعات فرد مورد نظر در پایگاهداده را بروز رسانی می‌نماید. سیستم پیاده‌سازی شده قابلیت دریافت پرس‌وجوهای<sup>۱</sup> مختلف را داشته و خط سیر کلی افراد در مجموعه‌ی دوربین‌ها را بر اساس پارامترهای داده شده تولید می‌نماید. هم چنین این سیستم قابلیت تولید یک فیلم کلی برای یک فرد در مجموعه‌ی دوربین‌ها را دارد.

## ۲-۱- محدودیت‌ها و فرضیات مساله

در پیاده‌سازی سیستم، شرایط خاصی در انتخاب پایگاه داده در نظر گرفته شده است. اولین شرط، مشخص کننده‌ی نحوه‌ی قرار گیری دوربین‌ها است. دوربین‌ها در مکان‌های ثابتی نصب شده و مکان و زاویه‌ی آنها در حین فیلم برداری تغییر نمی‌نماید. ثابت بودن دوربین این امکان را فراهم می‌آورد که بتوان با استفاده از روش مدل‌سازی پس زمینه، افراد موجود در محیط را تشخیص داد. روشنایی در محیط‌های مختلف متغیرات آن محدود فرض شده است. این تغییرات باید به گونه‌ای باشد که ظاهر شی تغییرات اساسی ننماید. سیستم ارائه شده برای محیط‌های بسته مانند محیط ادارات، موسسات و مراکز خرید در نظر گرفته شده است؛ اما آزمایشات نشان می‌دهد، سیستم قابلیت کار در محیط بیرون را نیز دارد. وجود سایه در این پایان نامه تا حد زیادی حل شده است ولی سایه‌ها نباید خیلی شدید باشند. آشکار سازی هدف، میزان سایه‌ها و نتایج به دست آمده در فصل سوم مورد بررسی قرار گرفته است. شرط دیگر تعداد افراد متحرک در صحنه می‌باشد. تا هنگامی که الگوریتم آشکارسازی افراد در یک دوربین توانایی تشخیص درست افراد را داشته باشد، تعداد افراد بر روی الگوریتم ارائه شده برای برقراری ارتباط در شبکه‌ی دوربین‌ها تاثیری نمی‌گذارد. در حالت کلی تعداد افراد به محدوده‌ی دید دوربین بستگی دارد. الگوریتم ارائه شده در این پایان نامه توانایی

Query<sup>۱</sup>

تشخیص و برطرف نمودن هم پوشانی‌های معمول را دارد. اما در صورت پیچیده شدن هم پوشانی بین افراد، سیستم دچار اختلال می‌گردد. حالات ممکن برای هم پوشانی افراد و خروجی سیستم در فصل چهار مورد بررسی قرار گرفته شده است. فرض دیگر این پایان‌نامه ثابت بودن ظاهر شخص در زمان خروج از یک دوربین و زمان ورود به دوربین دیگر تا لحظه‌ی تشخیص است. به این معنی که فرد مجاز به تغییر لباس و نحوه‌ی پوشش خود در محدوده‌ی ورود و خروج محیط نمی‌باشد. پس از این محدوده، فرد به شرطی که سایه‌ی<sup>۱</sup> تشخیص داده شده توسط سیستم تغییر ننماید، می‌تواند نحوه‌ی پوشش خود را تغییر دهد. محدودیتی از لحاظ جهت حرکت افراد وجود ندارد و افراد می‌توانند در جهات مختلف حرکت نمایند. افراد می‌توانند از مسیرهای مختلف وارد سیستم شوند به این شرط که بدن فرد در ناحیه‌ی ورود به صورت کامل در دید دوربین قرار دارد. در مورد زاویه‌ی دوربین‌ها فرض خاصی در نظر گرفته نشده است. اما در صورتی که زاویه‌ی دید دوربین در خروج فرد با ورود فرد تفاوت زیادی داشته باشد، پوشش فرد از روی رو و از پشت سر باید یکنواخت باشد. محدودیت خاصی از لحاظ فاصله‌ی فرد از دوربین در نظر گرفته نشده است. با این وجود اندازه‌ی فرد در صحنه باید از یک مقدار آستانه بزرگتر باشد. در نهایت ذکر این نکته لازم است که هرچند وضوح بالای تصویر باعث بهبود کیفیت ردیابی می‌گردد اما این سیستم با ویدئوهایی با ابعاد کوچک (۳۲۰ \* ۲۴۰) نیز به خوبی کار می‌نماید.

### ۱-۳- کاربردها

ردیابی افراد کاربردهای متفاوتی در حوزه‌های مختلف دارد. تمرکز این پایان‌نامه بر روی کاربرد-های ردیابی افراد در سیستم‌های نظارتی و محیط‌های هوشمند می‌باشد. در این بخش برخی از مهمترین کاربردهای ردیابی افراد در حوزه‌های مختلف مورد بررسی قرار گرفته است.

- کنترل بر روی مکان‌های امنیتی

Silhouette<sup>۱</sup>

شاید بتوان ادعا نمود که بیشترین حجم تحقیقات انجام پذیرفته در زمینه‌ی ردیابی، کاربرد مراقبتی و امنیتی دارند. تشخیص رفتار های مشکوک با استفاده از زیر نظر گرفتن حرکات فرد، دنبال کردن افراد در محیط و اعلام خطر هنگام ورود افراد به مناطق پر خطر و زیر نظر گرفتن مجرمین نمونه هایی از کاربرد های نظارتی سیستم های ردیابی می‌باشند.

- خانه های هوشمند

توانایی تصمیم گیری هوشمند بر اساس رفتار انسان در محیط منزل، یکی از کاربردهای خانه های هوشمند می باشد. ردیابی افراد یکی از اجزاء اصلی این سیستم ها می باشد.

- هوش تجاری ویدئویی<sup>۱</sup>

در سالهای اخیر استفاده از سیستم های ویدئویی برای استخراج اطلاعات مفید برای بالا بردن میزان فروش و کسب رضایت مشتریان، توجه بسیاری از محققان و مدیران را به خود جلب نموده است. به عنوان مثال در یک فروشگاه می‌توان اطلاعاتی از قبیل تعداد افراد در زمان‌های مختلف در بخش‌های فروشگاه، میزان زمان صرف شده توسط هر مشتری در هر قسمت، الگوی حرکتی افراد در انتخاب و بازدید از قسمت های مختلف را جمع آوری نموده و با تجربه و تحلیل آنها اقدامات لازم را در راستای افزایش فروش انجام دهد.

- مراقبت از افراد مسن و ناتوان

موسسات حمایت از افراد دارای ناتوانی های جسمی، تلاش گسترده‌ای را در زمینه‌ی استفاده از تکنولوژی برای فراهم نمودن زندگی بهتری برای این قشر از جامعه شروع کرده‌اند. یکی از این تکنولوژی ها استفاده از بینایی ماشین برای مراقبت از این افراد و اتخاذ تصمیمات لازم در موقع لزوم می باشد.

---

<sup>1</sup> Video Business intelligence

## ۴-۱- ساختار پایان نامه

ادامه‌ی این پایان نامه در پنج فصل گردآوری شده است. در فصل دوم، تکنیک‌های استفاده شده برای آشکار سازی افراد از پس زمینه مطرح شده و نتایج مربوط به پیاده سازی تکنیک‌های مناسب برای پایان نامه نمایش داده شده است. فصل سوم، پس از معرفی روش‌های موجود برای ردیابی افراد در یک دوربین به بررسی نتایج ردیابی افراد در مجموعه داده‌های تهیه شده می‌پردازد. سپس در فصل چهارم، روش‌های ارتباط اطلاعات به دست آمده از تک تک دوربین‌ها توضیح داده شده است. این فصل شامل معرفی ویژگی‌های قابل استفاده در ارتباط اطلاعات و معایب و مزایای آنها می‌باشد. فصل پنجم نتایج حاصل از سیستم ردیابی ارائه شده را مورد بررسی قرار می‌دهد. در نهایت در فصل ششم، نتایج حاصل از پایان نامه بررسی شده و پیشنهاداتی برای ادامه‌ی کار ارائه خواهد شد. به دلیل اینکه پایان نامه در سه فصل مجزا مولفه‌های سیستم ردیابی افراد را مورد بررسی قرار داده است، معرفی کارهایی که قبل از توجه محققین در مورد هر مولفه انجام پذیرفته، در فصل‌های مربوطه آورده شده است.

این پایان نامه منجر به مقالات زیر شده است:

1. R.Yousefzadeh, H.Hassanpour., A Generic Model for Smart Surveillance System,. In *The 7th International Workshop on Systems, Signal Processing and their Applications* (Submitted)
2. R.Yousefzadeh, H.Hassanpour., Tracking People through Multiple Cameras with disjoint views, In *3rd International Conference on Machine Learning and Computing* (Accepted)
3. R.Yousefzadeh, H.Hassanpour., Object matching in disjoint cameras using Color Co-Occurrence Matrix, .In *Machine Vision and Applications* (To be submitted)

## فصل ۲: آشکارسازی افراد

یک سیستم ردیابی کارامد، در مرحله‌ی اول نیاز به مکانیزمی برای تشخیص حرکت و آشکارسازی دقیق افراد دارد. در این فصل ابتدا روش‌های موجود در آشکارسازی اهداف بررسی خواهد شد. در بخش دوم مدل ترکیبی گاوی برای تخمین زمینه و آشکارسازی اشیا که در این پایان نامه پیاده سازی شده، توضیح داده خواهد شد. در نهایت نکاتی در مورد حذف سایه و نویز از تصاویر استخراج شده مورد بررسی قرار خواهد گرفت.

## ۱-۲- مقدمه

آشکارسازی هدف<sup>۱</sup> از مراحل پایه و اساسی در سیستم های ردهیابی می باشد. آشکارسازی هدف در واقع ناحیه مربوط به هدف مورد نظر را در تصویر قطعه بندی<sup>۲</sup> می کند. کارایی مراحل بعدی یک سیستم ردهیابی به آشکارسازی هدف بستگی دارد. قطعه بندی تصویر یکی از مسائل پیچیده در پردازش تصویر و ویدئو می باشد. شرایط دینامیکی محیط مانند تغییرات روشنایی، سایه ها و حرکات متناوب اجسام در اثر وزش باد مانند برگ درخت ها آشکارسازی هدف را با مشکل روبرو می کند. در این بخش برخی از روش های مطرح در این زمینه معرفی خواهند شد.

یکی از روش ها برای آشکارسازی اشیا، استفاده از اطلاعات یک فریم می باشد. در این روش با استفاده از دانش اولیه در مورد خصوصیات اشیاء، پیکسل های مرتبط با اشیاء از پیکسل های زمینه تمییز داده می شوند. در مقابل، روش های دیگر از اطلاعات زمانی یا به عبارت دیگر از اطلاعات دنباله ای از تصاویر برای تشخیص حرکت و آشکارسازی اشیاء از زمینه استفاده می نمایند. تحقیقات مربوط به سیستم های نظارتی، فرض می کنند که افراد موجود در محیط، متحرک هستند. اغلب روش هایی که برای آشکارسازی هدف از اطلاعات حرکتی استفاده می نمایند، در یکی از سه دسته هی زیر تقسیم بندی می شوند [۳]:

- شار نوری<sup>۳</sup>
- تفاضل زمینه
- تفاضل فریم های متوالی<sup>۴</sup>

<sup>۱</sup> Object Detection

<sup>۲</sup> Segmentation

<sup>۳</sup> Optical Flow

Temporal differencing<sup>۴</sup>

الگوریتم‌های موجود برای جداسازی افراد از پس زمینه معمولاً دارای خطای می‌باشند؛ بنابراین نیاز به استفاده از پردازش‌هایی برای حذف نویز و اطلاعات ناخواسته مانند سایه می‌باشد. برخی از این روش‌ها در دو بخش پایانی این فصل توضیح داده شده است.

## ۲-۲- شار نوری

شار نوری به معنی توزیع سرعت جابجایی روشنایی الگوها بین چند تصویر می‌باشد که در آن اجسام متحرک به صورت مجموعه‌ای از بردارهای سرعت نشان داده می‌شوند. در این روش، از بردارهای حرکتی<sup>۱</sup> تغییرات، برای آشکارسازی اهداف استفاده می‌شود. بردارهایی مانند بردار جابجایی می‌توانند به عنوان پایه‌ی الگوریتم‌های ردیابی بر مبنای محیط شیء مورد استفاده قرار بگیرند<sup>[۳]</sup>. در تصاویر متوالی با ردیابی و جستجوی نقاط متناظر از تصویر اصلی می‌توان جابجایی نقاط متحرک را تحلیل کرد. برای محاسبه‌ی شار نوری نیاز به استفاده از حداقل دو تصویر است. شار نوری یک نقطه از تصویر، بردار جابجایی مکان و سرعت آن نقطه را نتیجه می‌دهد. سپس می‌توان با نگاشت نقطه‌ی مذبور به محیط واقعی، حرکت نقطه‌ی متناظر در محیطی را آنالیز نمود.

شار نوری تخمین نسبتاً دقیقی از افراد متحرک به دست می‌آورد. همچنین از این روش می‌توان برای سیستم‌های با دوربین متحرک نیز استفاده نمود. تخمین بردارهای تصویر بر مبنای شار نوری به شدت نسبت به نویز حساس بوده و دارای محاسبات پیچیده‌ای می‌باشند. در [۴] مفاهیم تئوری شار نوری و روش‌های محاسبه‌ی آن به خوبی مطرح شده است.

## ۳-۲- تفاصل فریم‌های متوالی

---

<sup>۱</sup> Flow Vector

این روش از تفاضل دو یا چند فریم متوالی برای آشکار سازی افراد استفاده می‌نماید [۵]. این روش ساده بوده و بار محاسباتی پایینی نسبت به سایر روش‌ها دارد. همچنین در شرایط محیطی پویا به خوبی عمل می‌نماید. با این حال این روش با مشکل روزنه‌های شی<sup>۱</sup> مواجه است که پیکسل‌های میانی شی پس از چند فریم به اشتباه به عنوان پیکسل های زمینه شناخته می‌شوند [۶]. همچنین تغییرات متوالی پیکسل‌های زمینه مانند حرکت برگ درختان، در این روش به اشتباه تشخیص داده می‌شوند. این روش برای صحنه‌هایی با زمینه‌ی پیچیده مناسب نمی‌باشد.

## ۴-۲- تفاضل زمینه

در این روش هدف مورد نظر از تفاضل پیکسل‌های تصویر جاری و پیکسل‌های مدل زمینه تعیین می‌شود. این روش کارائی بالایی داشته و برای کاربردهای بی‌درنگ مناسب می‌باشد. در مقابل نسبت به تغییرات پیکسل‌های زمینه حساس می‌باشد. تصویر زمینه ممکن است بنا به دلایلی از جمله تغییر تدریجی روشنایی محیط، تغییر سایه‌ی اشیاء به دلیل تغییر زاویه‌ی خورشید، تغییرات ناگهانی در آب و هوا مانند عبور ابر از مقابل خورشید، و تغییرات غیر طبیعی مانند روشن و یا خاموش شدن چراغ‌ها تغییر نماید. یکی دیگر از معایب این روش حساسیت زیاد نسبت به مقدار آستانه می‌باشد. در سال‌های اخیر روش‌های بسیاری، برای بهبود و رفع معایب این روش مطرح شده‌اند. در این روش‌ها سعی می‌شود تخمین مناسبی از زمینه در هر فریم بدست آورده شود. روش‌هایی از جمله میانگین گاوی مداوم<sup>۲</sup>، فیلتر زمانی میانه<sup>۳</sup>، مقادیر ویژه‌ی زمینه<sup>۴</sup> [۸] برای حل مشکلات روش تفاضل زمینه ارائه شدند. در این میان روش ترکیبی گاوی دارای دقت و کارائی بالایی در مدل‌سازی زمینه دارد. به همین دلیل در این پایان نامه از این روش استفاده شده است. این روش می‌تواند بر مشکلاتی از قبیل

<sup>۱</sup> Foreground aperture

<sup>۲</sup> Running Gaussian Average

<sup>۳</sup> Temporal Medium Filter

<sup>۴</sup> Eigen Background

تغییرات متناوب نور که توسط لامپ‌های فلورسنت و حرکات کوچک متناوب مانند حرکت برگ درختان، غلبه نماید. همچنین این روش می‌تواند اشیائی را که برای مدت طولانی در محیط باقی می‌مانند، مدیریت نماید. در این روش مقدار هر پیکسل، با مجموعه‌ای از چند توزیع گاوی مدل می‌گردد[۹]. این توزیع‌ها در هر فریم بروز رسانی می‌شوند. در ادامه‌ی فصل، این روش به تفصیل توضیح داده شده است.

روش‌های دیگری نیز وجود دارند که از چندین سطح یا چندین پارامتر برای آشکار سازی تغییرات استفاده می‌نمایند. به عنوان مثال الگوریتم Walflower در سه سطح تغییرات زمینه را مدیریت می‌نماید. این سه سطح عبارتند از تغییرات در سطح پیکسل‌ها، تغییرات ناحیه‌ای و تغییرات در کل تصویر. سیستم W4، با استفاده از سه پارامتر حداقل شدت، حداکثر شدت و حداکثر شدت تغییرات بین فریم‌های متوالی، زمینه را به صورت آماری مدل سازی می‌نماید[۱۰]. این سیستم برای تشخیص و ردیابی افراد در محیط‌های بیرون که تغییرات کمی در شرایط نوری و زمینه وجود دارد، طراحی شده است.

در این بخش توضیح مختصری راجع به متداولترین روش‌های مدل سازی زمینه ارائه شد. روش‌های دیگری نیز وجود دارند که با توجه به شرایط محیط و کاربردهای متفاوتی طراحی شده‌اند. در [۱۱] و [۱۲] برخی از روش‌های موجود مقایسه شده‌اند.

## ۵-۲- تخمین پس زمینه به کمک مدل ترکیبی گاوی<sup>۱</sup>

مدل ترکیبی گاوی یک روش کارامد برای مدل کردن سیگنال و تصویر است که اولین بار توسط Grimson و Stauffer برای مدل‌سازی زمینه مورد استفاده قرار گرفته است[۹]. این مدل مانند یک مدل مخفی مارکف (HMM) یک حالته است که تابع چگالی احتمال آن دارای چند توزیع نرمال می-

<sup>۱</sup> Mixture of Gaussian

باشد. احتمال تعلق بردار  $X$  به یک مدل ترکیبی گاوی دارای  $M$  توزیع نرمال به شکل زیر بیان می‌شود:

$$P(X | GMM) = \sum_{i=1}^M c_i \cdot N(\mu_i, \Sigma_i) \quad (1-2)$$

که در آن  $c_i$  وزن مدل گاوی  $i$  و  $\Sigma_i$  به ترتیب بردار میانگین و ماتریس کواریانس توزیع نرمال هستند. کواریانس مدل ترکیبی گاوی معمولاً به صورت قطری در نظر گرفته می‌شود. گرچه امکان استفاده از ماتریس کامل نیز وجود دارد. رابطه  $(1-2)$  را می‌توان با استفاده از تابع چگالی احتمال نرمال به صورت زیر بیان نمود:

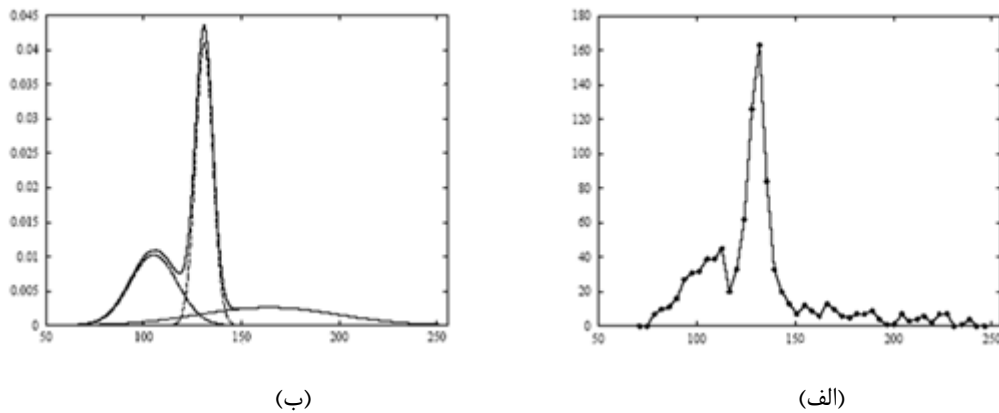
$$P(X | GMM) = \sum_{i=1}^M c_i \cdot \frac{1}{(2\pi)^{\frac{d}{2}} |\Sigma_i|^{\frac{1}{2}}} \exp\left(-\frac{1}{2}(x_i - \mu_i)^T \Sigma_i^{-1} (x_i - \mu_i)\right) \quad (2-2)$$

که در آن  $d$ ، بعد فضای ورودی است. برای به دست آوردن پارامترهای مدل ترکیبی گاوی شامل وزن مدل گاوی و میانگین و کواریانس توزیع ها از الگوریتم ماکریم نمودن امید ریاضی<sup>۱</sup> (EM) استفاده شده است.

شکل ۱-۲ (الف) چگالی مربوط به یک پیکسل در دویست و پنجاه فریم متوالی را به تصویر کشیده است. شکل ۱-۲ (ب) مدل گاوی تخمین زده برای مقادیر نشان داده شده در شکل الف را نشان می‌دهد. این تخمین شامل سه توزیع گاوی است. توزیع گاوی که بزرگترین میانگین را دارد رنگی را مشخص می‌کند که در فریم های متوالی بیشتر از همه تکرار شده است و مربوط به پس زمینه است. به همین ترتیب توزیع گاوی بعدی می‌تواند مربوط به سایه و یا مقدار تولید شده از جابجایی قسمت های متحرک (مانند برگها) باشد.

---

<sup>۱</sup> Expectation Maximization



شکل ۱-۲ (الف) چگالی مربوط به یک پیکسل در دویست و پنجاه فریم متوالی (ب) توزیع های گاووسی تشخیص داده شده برای مقادیر موجود [۹]

### ۱-۵-۲ - تئوری مدل گاووسی<sup>۱</sup>

اگر دنباله‌ی شدت رنگ یک پیکسل در طول زمان،  $x_1, x_2, \dots, x_n$  باشد، تابع چگالی احتمال برای  $x_t$  در زمان  $t$ ، با استفاده از تابع تخمین  $K$  به صورت زیر محاسبه می شود:

$$p(x_t) = \frac{1}{n} \sum_{i=1}^n k(x_t - x_i) \quad (3-2)$$

احتمال این که پیکسلی شدت رنگ  $x_t$  در زمان  $t$  داشته باشد، با توزیع گاووسی به صورت زیر تعریف می شود:

$$p(x_t) = \sum_{i=1}^k (w_{i,t} * f(x_t) \mu_{i,t}, \sum_{i,t}) \quad (4-2)$$

که در آن  $K$  تعداد توزیع،  $w_{i,t}$  وزن تخمین زده برای آامین توزیع،  $\mu_{i,t}$  میانگین آامین توزیع در زمان  $t$  و  $f$  تابع توزیع گاووسی به صورت زیر می باشد:

<sup>۱</sup> Mixture of Gaussian model

$$f(x_t | \mu_k, \sum_k) = \frac{1}{(2\pi)^{\frac{n}{2}} \left| \sum_k \right|^{\frac{1}{2}}} e^{-\frac{1}{2}(x_t - \mu_k)^T \sum_k^{-1} (x_t - \mu_k)} \quad (5-2)$$

که  $n$  برابر بعد بردار  $x$  می باشد. برای کم شدن بار محاسباتی موجود در این روش فرض می شود  
اجزاء بردار  $x$  (نمونه های پیکسل) که همان رنگ های، قرمز و سیز و آبی هستند دارای کواریانس  
یکسان و مستقل از هم هستند. بنابراین ماتریس کواریانس  $(\sum_{i,t})$  به صورت زیر تعریف می شود:

$$\sum_k = \delta_k I \rightarrow \sum_k = \begin{pmatrix} \sigma_r^2 & 0 & 0 \\ 0 & \sigma_g^2 & 0 \\ 0 & 0 & \sigma_b^2 \end{pmatrix} \quad (6-2)$$

مزیت این روش این است که برای نگهداری چگالی شدت رنگ یک پیکسل نیاز به نگهداری تمام  
پیکسل ها نبوده و با متغیرهای میانه و میانگین می توانتابع چگالی آن را تشکیل داد.

### ۶-۵-۲- به روزرسانی مدل ترکیبی گاوی<sup>۱</sup>

پارامتر های  $\delta_i, \mu_i, W_i$  امین تابع گاوی می باشند که در هر مرحله باید بروزرسانی شوند. در  
صورتی که مقدار پیکسل  $X_t$  با  $k$  توزیع مربوط به آن مقایسه و مقدار پیکسل در معادله  $(7.2)$   
صدق کرد، پارامترهای ذکر شده باید بروزرسانی گردند.

$$\frac{X_t - \mu_t}{\delta_t} \rangle 2.5 \quad (7-2)$$

مقدار  $2/5$  یک حد آستانه‌ی تجربی است که توسط نویسندها مقاله پیشنهاد شده است. در این  
هرگاه مقدار جدیدی مانند نویز در پس زمینه ظاهر شود، باعث خرابی و از بین رفتن زمینه نمی شود.

---

<sup>۱</sup> Mixture model updating

اگر هیچ یک از  $K$  توزیع با مقدار پیکسل جدید ( $X_t$ ) تطبیق نداشته باشند، مقدار جدید جایگزین کوچکترین احتمال توزیع می‌گردد.

در هر مرحله هر یک از وزن‌ها از وزن قبلی تأثیر می‌پذیرند. همچنین توزیعی که با مقدار پیکسل جدید تطبیق داده شده است به اندازه  $\alpha$  برابر بیشتر از وزن‌های دیگر تحت تأثیر قرار می‌گیرد.

$$W_{k,t} = (1 - \alpha)W_{k,t-1} + \alpha m(w_k)x_t \quad (8-2)$$

در رابطه  $(8.2)$   $\alpha$  نرخ یادگیری و  $m$  در صورت تطبیق مقدار پیکسل با انحراف معیار، مقدار  $1$  و در غیر این صورت مقدار صفر بر می‌گرداند:

$$m(w_k|x_t) = \begin{cases} 1 & \text{if } X_t \text{ matches distribution } k \\ 0 & \text{otherwise} \end{cases} \quad (9-2)$$

مقادیر میانگین و انحراف معیار نیز طبق فرمول‌های زیر بروز رسانی می‌شوند:

$$\mu_{k,t} = (1 - f_k)\mu_{k,t-1} + f_k x_t \quad (10-2)$$

$$\delta_{k,t}^2 = (1 - f_k)\delta_{k,t-1}^2 + \eta_k(x_t - \mu_{k,t})^2 \quad (11-2)$$

### ۳-۵-۲- آشکار سازی پیش زمینه<sup>۱</sup>

برای آشکارسازی افراد، پس از مرتب سازی  $k$  توزیع به صورت  $\frac{w_i}{\delta_i^2}$ .  $b$  توزیع اول به عنوان مدل

زمینه مورد استفاده قرار می‌گیرد:

$$B = \arg \min \left( \sum_{k=1}^b w_k \right) T \quad (12-2)$$

---

<sup>۱</sup> Foreground Segmentation

$T$  در رابطه‌ی (۱۲.۲) حد آستانه می باشد. به این معنی که مقادیر وزن  $k$  توزیع را تا جایی به هم اضافه می نماییم که به مقدار آستانه برسیم. توزیع  $B$  برای تمامی پیکسل‌ها محاسبه می شود. هر پیکسلی که مقدار آن با مقدار  $B$  منطبق بود، به عنوان زمینه در نظر گرفته می شود. در شکل ۴-۲ نمونه‌ای از آشکارسازی شیء از زمینه آورده شده است. برای محاسبه‌ی تفاضل، توزیع‌های تولید شده از دنباله‌ی فریم‌ها با شروع از شکل ۳-۲ به عنوان زمینه و شکل ۲-۲ به عنوان فریم فعلی در نظر گرفته شده است.



شکل ۳-۲ تصویر زمینه، مدل زمینه با این تصویر برابر نبوده و مجموعه‌ای از مدل‌های گاووسی برای هر پیکسل می باشد



شکل ۲-۲ فریم فعلی



شکل ۴-۲ نتیجه‌ی تفاضل فریم فعلی و مدل زمینه

## ۶-۲- حذف نویز

به دلیلی وجود فاکتورهای مختلف در مدل سازی زمینه، همواره مقداری نویز در نتایج وجود دارد. متداول ترین روشی که سیستم های ردیابی برای حذف نویز از آن بهره می‌گیرند، فیلتر های ریخت شناسی<sup>۱</sup> فرسایش<sup>۲</sup> و گسترش<sup>۳</sup> و یا ترکیبی از این دو است. این دو فیلتر بر روی تصویر به دست آمده از مراحل قبل که یک تصویر دودویی شامل پس زمینه و اشیا می باشد، اعمال می شوند. این فیلتر ها بر روی مرز های اشیا تغییراتی را اعمال می نمایند. فیلتر فرسایش برای از بین بردن نویز های ضربه ای کاربرد دارد. فیلتر گسترش نیز می تواند اجزاء متعلق به یک شی را که به دلیل اشتباه در قطعه بندی، به دو قسمت مجزا ی نزدیک به هم تقسیم شده اند، به هم متصل نماید.

## ۷-۲- حذف سایه

در اغلب موارد، سایه ی فرد نیز به عنوان قسمتی از فرد شناخته می شود؛ در حالی که سایه قسمتی از زمینه‌ی تصویر می باشد. بنابراین حذف سایه تاثیر بسزایی در افزایش کارایی سیستم ردیابی خواهد داشت. الگوریتم های متنوعی برای حذف سایه وجود دارد. به عنوان مثال در [۱۳] فرض شده است هنگامی که سایه ای بر روی یک شی می افتد، شدت سطح خاکستری آن شی تغییر می نماید، در حالی که مقدار رنگ نرمال شده تغییر قابل توجهی نمی کند. به عبارت دیگر اگر  $I(x,y)$  مقدار شدت سطح خاکستری را در نقطه  $(x,y)$  نشان دهد، خواهیم داشت :

$$\frac{R_s}{R_s + G_s + B_s} \cong \frac{R}{R + G + B}, \frac{G_s}{R_s + G_s + B_s} \cong \frac{G}{R + G + B}, \frac{B_s}{R_s + G_s + B_s} \cong \frac{B}{R + G + B} \quad (13-2)$$

---

<sup>۱</sup> morphologic  
<sup>۲</sup> Erosion  
<sup>۳</sup> Dilatation

$$I_s(x, y) = \alpha I(x, y) \quad (14-2)$$

در روش دیگری که در مقاله‌ی [۱۴] معرفی شده است، میزان درخشندگی هر پیکسل به عنوان معیاری برای تشخیص سایه استفاده شده است. هنگام افتادن سایه بر روی یک سطح، مولفه‌ی درخشندگی بیشتر از مولفه‌هایی رنگی نور تحت تاثیر قرار می‌گیرند. اگر تصویر را به فضای رنگ HSV نگاشت نماییم، با استفاده از رابطه زیر می‌توان سایه را از تصویر جدا کرد.

$$\text{shadow}_{x,y}^k = \begin{cases} 1 & \text{if } D_H < \tau_h, |I_{x,y_s}^k - B_{x,y_s}^k| < \tau_s, v_a \leq \frac{I_{x,y_v}^k}{B_{x,y_v}^k} \leq v_b \\ 0 & \text{otherwise} \end{cases} \quad (15-2)$$

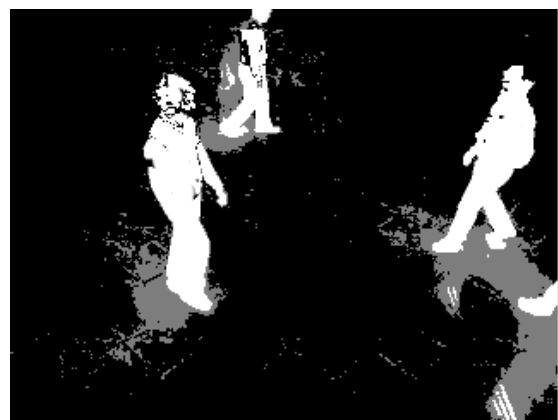
$$D_H = \min \left\{ |I_{x,y-h}^k - B_{x,y-h}^k|, 360 - |I_{x,y-h}^k - B_{x,y-h}^k| \right\} \quad (16-2)$$

در عبارات فوق  $I_{x,y}^k$  پیکسل واقع در موقعیت  $(x, y)$  فریم  $k$  ام و  $B_{x,y}^k$  پیکسل واقع در موقعیت  $(x, y)$  فریم  $k$  ام نشان می‌دهد. مقادیر  $\tau_h, \tau_s, v_a, v_b$  اعدادی در بازه‌ی صفر و یک پس زمینه را در فریم  $k$  ام نشان می‌دهد. مقادیر را در رابطه (۱۵.۲) کنترل کرد. می‌باشد که با استفاده از آن می‌توان کران مقادیر را در رابطه (۱۶.۲) کنترل کرد.

شکل ۵-۲ نتیجه‌ی حاصل از تشخیص سایه توسط الگوریتم اول را نشان می‌دهد. در این تصاویر قسمت خاکستری ناحیه‌ای از خروجی مرحله‌ی تشخیص اشیا است که به عنوان سایه شناخته شده است. همانگونه که مشاهده می‌نمایید حجم عمدی از پیکسل‌ها، به عنوان سایه تشخیص داده شده‌اند.



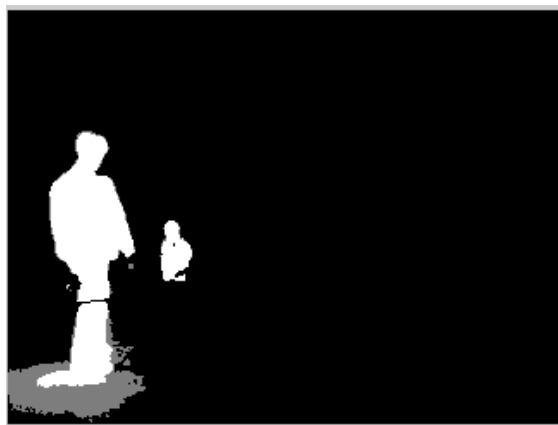
(الف)



(ب)



(پ)

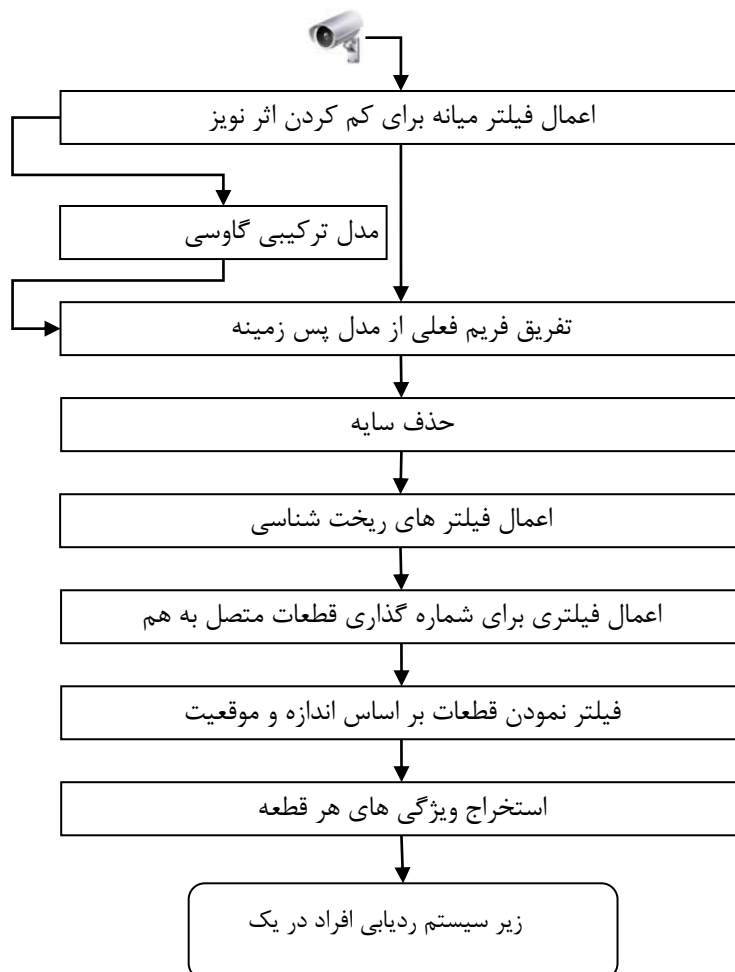


(ت)

شکل ۵-۲ دو فریم و سایه‌ی تشخیص داده شده، قسمت‌های خاکستری نشان دهنده‌ی سایه‌ی می باشند. بخش الف و پ تصاویر اصلی و بخش ب و ت سایه‌های تشخیص داده شده هستند.

## ۸-۲- شکل زیر شمای کلی زیر سیستم آشکار سازی افراد

شکل زیر شمای کلی زیر سیستم آشکار سازی افراد را که در این پژوهه پیاده سازی شده است، نمایش می دهد. پس از آشکار سازی افراد در محیط به وسیله ای تفاضل فریم فعلی از مدل زمینه که با استفاده از مدل ترکیبی گاووسی، پردازش هایی برای حذف نویز و سایه انجام می پذیرد. در مرحله ای بعد، ابتدا مولفه های متصل شماره گذاری شده و سپس بر اساس اندازه فیلتر می شوند. اگراندازه ای آنها از حد آستانه بزرگتر بودند، ویژگی های آنها استخراج شده و به زیر سیستم ردیابی در یک دوربین ارسال می گردند.



شکل ۶-۲: زیر سیستم آشکار سازی اهداف

## ۹-۲- نتیجه گیری

در این فصل، زیر سیستم آشکار سازی افراد که اولین مرحله از یک سیستم ردیابی است مورد بررسی قرار گرفت. ابتدا برخی از روش های معمول از جمله شار نوری و تفاضل فریم ها برای آشکار سازی افراد توضیح داده شده و مزایا و معایب هر یک ذکر گردید. سپس مدل ترکیبی گاوی به عنوان یکی از روش های موفق برای مدل سازی زمینه مورد بررسی قرار گرفته و نحوه آشکار سازی اهداف با آن توضیح داده شد. جهت بالا بردن کارایی، پردازش هایی برای حذف نویز و سایه معرفی شده و در نهایت روال کلی زیر سیستم توضیح داده شد. استفاده از روش ترکیب گاوی به همراه پردازش های معرفی شده می تواند علاوه بر نیاز های یک محیط بسته، اشیا را در محیط های باز نیز آشکار نماید.

## فصل ۳: ردیابی افراد در یک دوربین

ردیابی افراد به معنی استخراج ویژگی های یک شی در یک فریم و تعقیب شی در فریم های بعدی بر اساس ویژگی های استخراج شده می باشد. در این فصل مبانی ردیابی اهداف در یک دوربین مورد بررسی قرار خواهند گرفت. در این فصل پس از مروری بر روش های موجود برای ردیابی اهداف و بررسی مزایا و معایب هر روش، فیلتر کالمن به عنوان راهکاری برای ردیابی افراد در حضور نویز و عوامل مخربی چون هم پوشانی افراد مورد بحث قرار خواهد گرفت. در انتهای فصل نیز راهکارهایی برای ردیابی اهداف چند گانه مطرح شده است

**۱-۳- مقدمه**

پس از اينکه افراد از زمينه‌ی تصوير جدا شدند، می‌توان آنها را در محیط تعقیب نموده و خط سير آنها را به دست آورد. روش‌های بسيار زيادي برای رديابي اهداف در کاربردهای مختلف ارائه شده‌اند. تمرکز اين فصل بر روی رديابي افراد از طريق ارتباط احتمالي داده‌ها<sup>۱</sup> و فيلتر كالمن می‌باشد. روش‌های رديابي افراد را می‌توان به دو دسته‌ی روش‌های قطعی و روش‌های احتمالي تقسيم نمود. در روش‌های قطعی از برخی روابط برای برقراری ارتباط بين اشيا در دو فرييم متواли استفاده می‌نمایند. اما داده‌های دريافت شده از سنسورها، کاملاً دقيق نبوده و داراي نويز می‌باشند که سيسitem رديابي را دستخوش تغييرات ناخواسته می‌نمایند. روش‌های آماري، علاوه بر داده‌های اندازه‌گيري شده، عدم قطعیت را نيز در روال تشخيص و پيش‌بینی اشيا مشابه در فرييم‌های متواли مد نظر قرار می‌دهند. در اين روش‌ها عموماً از يك فضای حالت برای مدل کردن ويژگی‌های شی مانند مكان، سرعت و شتاب استفاده می‌نمایند. حالات اشيا در تصوير مانند ظاهر، موقعیت، سرعت و يا سایر مشخصات بر اساس حالات تشخيص شده قبلی و معادلات تغيير حالات تخمين زده می‌شود. تخمين به دست آمده با حالت اشيا يافته‌شده در تصوير واقعی، مقايسه شده و فضای حالت بروز رسانی می‌گردد. در اين فصل، پس از مرور مختصری بر روش‌های موجود، در مورد نحوه‌ی استفاده از مدل‌های آماري برای پيش‌بینی ويژگی‌های مربوط به يك شی بحث خواهد شد.

**۲-۳- مروری بر کارهای گذشته**

مشکلات عمده‌ی رديابي افراد را می‌توان در شش دسته‌ی زير طبقه بندی نمود<sup>[۳]</sup>:

۱. تعداد افراد تشخيص داده شده
۲. جدا سازی و رديابي افرادي که به صورت گروهی حرکت می‌نمایند.

---

Probabilistic data association<sup>۱</sup>

۳. هم پوشانی جزئی افراد، يعني يك فرد يا قسمتی از صحنه، بخشی از سایه‌ی فرد را بپوشاند.
۴. هم پوشانی کلی افراد، هنگامی که فرد کاملاً توسط يك شی دیگر پوشانده شود.
۵. دقت پایین روش قطعه‌بندی افراد که منجر به تشخیص‌های ناقص و مخدوش از افراد می‌گردد. دلایل متعددی از جمله کنتراست پایین بین ظاهر فرد و صحنه، نویز و سایه می‌توانند موجب این مشکل گردد.
۶. شباهت متقابل بین افراد موجود در سیستم که می‌تواند باعث ارتباط داده‌ی اشتباه گردد.

مقالات و کارهای انجام شده در زمینه‌ی ریدیابی افراد در یک دوربین را می‌توان از دو جهت مورد بررسی قرار داد: نحوه‌ی انتخاب معیار ریدیابی و نحوه‌ی تطابق مشاهدات. در ادامه به بررسی هر مورد پرداخته خواهد شد.

### ۱-۲-۳- نحوه‌ی انتخاب معیار ریدیابی

از دید نحوه‌ی انتخاب معیار ریدیابی، روش‌های ریدیابی را می‌توان به دو دسته‌ی ریدیابی بر اساس ظاهر و ریدیابی بر اساس مدل تقسیم بندی نمود.

#### الف) ریدیابی بر اساس ظاهر

در این روش‌ها ابتدا ویژگی‌های ظاهری هدف در یک فریم استخراج شده و از آن برای تطابق بین مشاهدات در فریم‌های بعدی استفاده می‌شود<sup>[۳]</sup>. در این روش مسائلی از قبیل انتخاب ویژگی، چگونگی تطابق بین ویژگی‌ها و نحوه‌ی بروز رسانی ویژگی‌ها مطرح می‌باشد. این روش را می‌توان بر اساس انتخاب ویژگی‌ها به سه گروه زیر طبقه بندی کرد<sup>[۳]</sup>:

- ریدیابی بر مبنای ویژگی‌های کلی<sup>۱</sup> :

<sup>۱</sup> Global Feature-Based Algorithm

در اين روش ويژگيهای مانند، مرکز هدف [۱۵]، پيرامون، مساحت و رنگ [۱۶]، [۱۷]، [۱۸]، مورد استفاده قرار می‌گيرد. در مقاله‌ی [۱۵] هر فرد توسط يك مستطيل<sup>۱</sup> احاطه شده و مرکز آن به عنوان ويژگي برای رديابي استفاده می‌شود. هنگامی که برخوردي بین دو فرد رخ می‌دهد با توجه به سرعت، نقطه مرکزی هر فرد تشخيص داده می‌شود و رديابي به درستی انجام می‌شود.

- رديابي بر مبنای ويژگيهای محلی<sup>۲</sup> که ازویژگيهای مانند نقاط، خطوط و گوشها مورد استفاده قرار می‌گيرند.

- رديابي بر مبنای وابستگي گراف<sup>۳</sup> که شامل مجموعه‌ای از فاصله بوده و بر روی ارتباط ژئومتریک ويژگيهای تمرکز دارد

برای بهبود کارايی می‌توان اين سه روش را ترکيب نمود. همچنين مدل مخفی مارکف<sup>۴</sup>، شبکه‌های عصبي مصنوعی<sup>۵</sup>(ANN)، پارتيکل فیلتر، فیلتر کالمون و الگوريتم جابجایی ميانگين<sup>۶</sup> الگوريتم های هستند که برای رديابي ويژگيهای استفاده می‌شوند. روش‌های مبتنی بر ويژگي به دليل تکيه بر ظاهر افراد، در صورت وجود همپوشاني جزئی می‌توانند افراد را به درستی تشخيص دهند.

در برخی از روش‌های ارائه شده، دوربین می‌تواند متحرک باشد. در اين روش‌ها باید ويژگيهای انتخاب شوند که بتوان بدون استفاده از تفاضل فريم آنها را استخراج نمود. به عنوان مثال در [۱۹] روشی ارائه شده است که دوربین می‌تواند نسبت به هدف آزادانه حرکت نماید. در [۲۰] از مدل مخفی مارکف برای مدل کردن مرازهای شکل استفاده شده و الگوريتم رديابي JPDAF پaramترهای خود را از اين مدل می‌گيرد.

<sup>۱</sup> Rectangular Box

<sup>۲</sup> Local Feature-Based Algorithm

<sup>۳</sup> Dependence-Graph-Based Algorithm

<sup>۴</sup> Hidden Markov model

Artificial Neural Network <sup>۵</sup>

<sup>۶</sup> Mean Shift

به عنوان مثالی از ردیابی به وسیله‌ی گراف وابستگی می‌توان به مقاله‌ی [۲۱] اشاره نمود. در این مقاله مسئله‌ی ردیابی، بصورت یک مسئله برچسب دهی گراف‌ها بر روی یک گراف نواحی مجاور<sup>۱</sup> (RAG)، تولید شده بر مبنای اطلاعات حرکت مدل شده است.

در [۲۲] یک سری از ویژگی‌ها مانند شکل، رنگ و ویژگی‌های لبه برای هدف در نظر گرفته شده و فیلتر کالمون برای ردیابی اشیاء استفاده نموده‌اند. آشکارسازی و ردیابی با استفاده از رنگ یکی از روش‌های مهم در کاربردهای ردیابی به صورت بلاذرنگ می‌باشد. ردیابی با استفاده از رنگ دارای مزایای بسیاری نظیر بار محاسباتی کم و استقلال نسبت به چرخش و تغییر شکل شیء متحرک است. با این وجود تحت شرایط محیطی متغیر، ردیابی با این روش مشکل می‌باشد. برای غلبه بر این مشکل روش‌های مختلفی پیشنهاد شده است که همه از ترکیب ایده‌های گوناگون با روش مبتنی بر رنگ ایجاد می‌شوند [۱۸].

موجک<sup>۲</sup> نیز یکی دیگر از ویژگی‌هایی است که از آن به عنوان یک ویژگی با ثبات نسبتاً بالا در کاربردهای ردیابی افراد از آن استفاده شده است. نمونه‌هایی از این ویژگی در مقالات [۲۳] و [۲۴] مورد بررسی قرار گرفته‌اند.

گروهی از روش‌ها ناحیه‌ی هدف تصویر را با استفاده از اطلاعاتی از جمله مدل حرکت، رنگ و بافت، تحت ردیابی قرار می‌گیرد. معمولاً هدف مورد نظر از طریق تفریق دو تصویر آشکارسازی می‌شود. نواحی تصویر را می‌توان به شکل‌های مختلفی در نظر گرفت. Wren، از حباب‌های کوچک برای ردیابی یک فرد در تصویر استفاده کرده است [۲۵]. در این مقاله بدن انسان با حباب‌های کوچکی که هر یک معرف قسمتی از بدن انسان است نمایش داده شده است. بنابراین با ردیابی هر یک از حباب‌ها در واقع هدف مورد نظر ردیابی می‌شود. مقدار هر پیکسل توسط یک تابع گاووسی

---

Region Adjacent Graph<sup>۱</sup>  
Wavelet<sup>۲</sup>

مدل شده است. در اين مقاله هيج راهكاری برای غلبه بر هم پوشانی بين افراد در نظر گرفته نشده است. بنابراین افراد باید بدون تماس با يكديگر در حال حرکت باشند.

در مقاله‌ی [۲۶] حرکت هر شيء دو بعدی در فضا را با يك تغيير شكل دو بعدی، انتقال و چرخش دو بعدی مدل شده و از فاصله هاسدورف<sup>۱</sup> برای تطبیق ناحیه استفاده کردند. الگوریتم فاصله هاسدورف يك الگوریتم برای تطابق اشکال است که سعی می کند از بين همه راه های ممکن انتقال و چرخش، کوتاهترین راهی که يك مجموعه از نقاط به مجموعه نقاط دیگری تصویر می کند را بیابد. اين روش در مقابل تغيير شكل و چرخش مقاوم بوده و در مقابل بار محاسباتی بالايی دارد.

در روشی ديگر از اطلاعات رنگ و گراديان برای آشکارسازی استفاده شده و رديابي در سه سطح ناحیه، مردم و گروه انجام شده است [۲۷]. يك فرد با چند ناحیه که توسط يك مستطيل محاط<sup>۲</sup> مشخص شده اند، به هم پيوسته می شود. رديابي در اين روش بر مبنای رنگ هر ناحیه می باشد.

پيرامون اشيا<sup>۳</sup> نيز يكى از ويزگى هايى است که مورد توجه بسياري از محققين قرار گرفته است. در اين گروه رديابي هدف به وسیله استخراج پيرامون هدف و بروز رسانى ديناميکى آن در فريم هاي بعدی می باشد. در اين روش جداسازی اشيايی که به طور جزئي همپوشاني دارند با مشكل روبرو خواهد شد اما اگر در هنگام همپوشاني بتوان برای هر شيء يك کانتور جديد ايجاد نمود می توان اشيا را رديابي نمود.

پس از استخراج پيرامون شى می توان از ترکيب روش هاي ديگر برای رديابي افراد استفاده نمود. به عنوان مثال در [۲۸] از فیلتر کالمون برای رديابي هدف هاي غير صلب<sup>۴</sup> مثل انسان استفاده شده است. به عنوان مثالی ديگر مقاله‌ی [۲۹]، يك چهارچوب رديابي برای اشیاء صلب و غير صلب در

<sup>۱</sup> Hausdorff Distance Algorithm

<sup>۲</sup> Bounding Box

<sup>۳</sup> Contour

<sup>۴</sup> Non Rigid

حضور هم پوشانی، ارائه داده است که کانتور شیء به زیر کانتورهایی تقسیم می شود و با ترکیب مدل کانتور فعال و وزن دهنده به خصیصه های سطح پایین رنگ و حرکت، اشیا را در محیط تعقیب می نماید.

### ب) رديابي مبتنی بر مدل

در روش های مبتنی بر مدل، يك مدل دو بعدی يا سه بعدی از شیء رديابي می گردد. مدل شیء معمولاً<sup>۱</sup> طی يك فرایند تکراری با تصویر تطبیق داده شده و بهترین محل تطابق آن به عنوان محل مشاهده شیء در نظر گرفته می شود. اين دسته از روش ها بیشتر برای رديابي وسائل نقلیه و اعضای بدن انسان [۱۰] به کار رفته اند. سیستم های رديابي که از مدل استفاده نمی نمایند، براساس روش های تشخیص حرکت نواحی متحرک را از تصویر جدا نموده و بر اساس ویژگی های استخراج شده از ناحیه- ی مربوط به هر شیء، عمل رديابي انجام می پذیرد. اين سیستم ها به سطح فهم تصویر نمی رسند و تنها گروهی از پیکسل ها را رديابی می نمایند. در مقابل سیستم های مبتنی بر مدل به سطحی از فهم تصویر دست می یابند. مدل اهداف معمولاً از طریق اندازه گیری های دستی<sup>۲</sup>، نرم افزار های CAD<sup>۳</sup> و یا تکنیک های بینایی ماشین<sup>۴</sup> ایجاد می شود.

اگر مدل مناسبی بر اساس مشاهدات و دانش اولیه برای هدف ایجاد شود، رديابي دقیق انجام خواهد شد. همچنین استفاده از مدل، امکان تشخیص و رفع هم پوشانی افراد را نیز فراهم می- نماید. در این روش اطلاعات مربوط به ساختار بدن انسان، محدودیت های حرکتی و اطلاعات اولیه می تواند با هم ترکیب شده و الگوریتم رديابي را تقویت نمایند. در مقابل ایجاد يك مدل برای هدف و جستجوی آن در تصویر نیازمند حجم محاسباتی بالايی می باشد.

<sup>۱</sup> Manual measure ment

<sup>۲</sup> Computer Aided Design Tools

<sup>۳</sup> Computer vision techniques

رديابي مبتنی بر مدل برای اهداف صلب و غيرصلب تفاوت هایی دارد. رديابي مبتنی بر مدل اهداف غير صلب مانند بدن انسان<sup>۱</sup> مبتنی بر مدل آنالیز به وسیله‌ی پیوند<sup>۲</sup> می باشد که برای رديابي از شیوه-ی تخمين- تطبیق- بروزرسانی<sup>۳</sup> استفاده می کند. ابتدا موقعیت مدل در فریم فعلی توسط دانش اولیه از هدف تخمين زده می شود. با استفاده از روش‌های جستجو<sup>۴</sup>، مدل تخمين زده شده در تصویر جستجو می شود تا تطبیقی بین مدل و قسمتی از تصویر مشاهده شود. این امر با يك تابع شباخت<sup>۵</sup> برای تعیین میزان شباخت مدل با تصویر تخمين زده شده انجام می پذیرد. سپس، مدل موجود با استفاده از داده‌های موجود بروز رسانی می شود.

به طور کلی رديابي بر مبنای مدل از سه مرحله‌ی اصلی ساخت مدل<sup>۶</sup>، مطالعه‌ی نحوه‌ی تغییر اجزاء مدل و محدودیت‌های آنها<sup>۷</sup>، و تکنیک‌های تخمين و روش‌های جستجو<sup>۸</sup> تشکیل شده است

### ۲-۲-۳- نحوه‌ی تطابق مشاهدات

از دید نحوه‌ی برقراری ارتباط بین اشیا در فریم‌های متوالی، روش‌های رديابی را می‌توان به دو دسته‌ی روش‌های قطعی و روش‌های آماری تقسیم نمود.

#### الف) روش‌های قطعی

رووش‌های قطعی برای به دست آوردن همبستگی بین نقطه‌های موجود در فریم N و N+1 از يك تابع هزینه که با استفاده از محدودیت‌های حرکت به دست می آيد، استفاده می‌نمایند. هدف روش-

<sup>۱</sup> Model-based Human Body Tracking

<sup>۲</sup> Analysis-by-Synthesis

<sup>۳</sup> Predict-Match-Update

<sup>۴</sup> Search Strategies

<sup>۵</sup> Similarity Function

<sup>۶</sup> Construction of object model

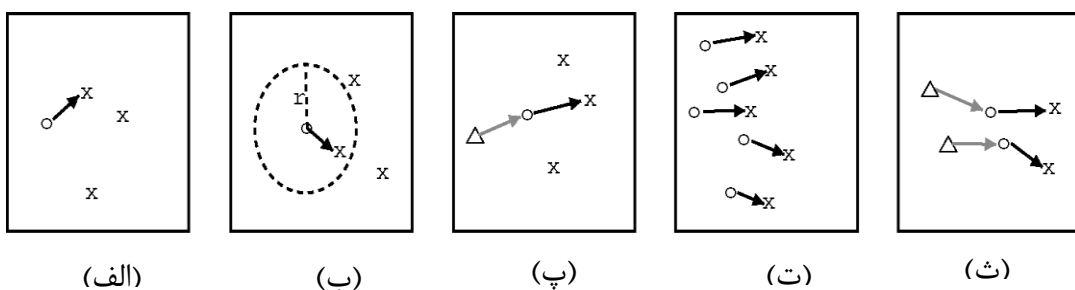
<sup>۷</sup> Representation of Prior Knowledge of Motion Models

<sup>۸</sup> Prediction and Search Strategies

های قطعی به حداقل رساندن تابع هزینه و مدل نمودن ردیابی به صورت یک مساله‌ی بهینه‌سازی می‌باشد.

هزینه‌ی تشابه عموماً توسط ترکیبی از محدودیت‌های زیر به دست می‌آید:

- مجاورت: فرض می‌نماید که مکان یک شی در دو فریم متوالی نمی‌تواند به طور قابل ملاحظه ای تغییر یابد. (شکل ۱-۳ الف)
- حداکثر سرعت: این محدودیت یک حد بالا برای سرعت شی در نظر گرفته و شباهت‌های موجود را به یک همسایگی دایره شکل محدود می‌نماید. (شکل ۱-۳ ب)
- تغییرات جزئی سرعت: این محدودیت فرض می‌نماید که سرعت و جهت یک شی نمی‌تواند به طور قابل ملاحظه ای تغییر یابد. (شکل ۱-۳ پ)
- حرکات مشترک: این شرط بر مبنای این اصل پایه گذاری شده است که تغییرات سرعت در یک همسایگی تا حد زیادی مشترک می‌باشد. این شرط برای تشخیص وابستگی بین اشیایی که با استفاده از چندین نقطه نمایش داده می‌شوند مورد استفاده قرار می‌گیرد. (شکل ۱-۳ ت)
- ثبات شکل<sup>۱</sup> (انعطاف ناپذیری): این اصل اشیا را در یک فضای سه بعدی در نظر می‌گیرد، در نتیجه فاصله‌ی بین هر دو نقطه که مربوط به یک شکل باشند، باید ثابت بماند. این روش در ردیابی اهداف صلب کاربرد دارد. (شکل ۱-۳ ث)



شکل ۱-۳ عوامل محدودکننده در ردیابی قطعی افراد (الف) مجاورت (ب) حداکثر سرعت (پ) تغییرات جزئی سرعت (ت) حرکات مشترک (ث) ثبات شکل

<sup>۱</sup> Rigidity

## ب) روش‌های آماری

وجود نويز، مشاهدات ناقص و مشاهدات زايد موجب بروز عدم قطعیت در تشخیص و رديابي افراد می‌گردد. به همین دليل می‌توان رديابي افراد را به صورت عبارات احتمالي مدل نمود. هدف از مدل احتمالي، مشخص کردن توزيع احتمال پسین مكان يك فرد يا حرکت وي بر اساس اندازه گيري‌هاي به دست آمده از تصویر می باشد.

اگر  $x_t$  نشان دهنده‌ی وضعیت<sup>۱</sup> يك فرد در زمان  $t$  (پارامتر نامعلوم در زمان فعلی) بوده و مشاهدات به دست آمده از دوربین در زمان  $t$  با  $z_t$  نشان داده شود، عمل رديابي به صورت مساله‌ی محاسبه‌ی توزيع احتمال در دنباله‌ی  $x_t$  مشروط به دریافت دنباله‌ی مشاهدات  $z_{1:t} = (x_1, \dots, x_t)$  يعني  $p(x_{1:t}|z_{1:t})$  تعريف می‌گردد. بنابر قانون بيز خواهیم داشت :

$$p(x_{1:t}|z_{1:t}) = \frac{p(z_{1:t}|x_{1:t}) p(x_{1:t})}{p(z_{1:t})} \quad (1-3)$$

در رابطه‌ی بالا  $p(z_{1:t}|x_{1:t})$  شباهت<sup>۲</sup> نامیده می‌شود

### ۳-۳- فیلترینگ تصادفي<sup>۳</sup>

فیلترینگ فرایند استخراج اطلاعات در مورد کميتي مورد نظر در لحظه‌ی  $t$  با در دست داشن اطلاعات اندازه گيري<sup>۴</sup> تا لحظه‌ی  $t$  و همچنین شامل لحظه‌ی  $t$  می‌باشد.

پيش‌بياني<sup>۵</sup> شكل پيش‌بيين<sup>۱</sup> فرایند تخمين است که هدف از آن پيش‌بياني توزيع کمييت مورد نظر در زمان  $t + \tau$  و  $(t - \tau)$  توسط اطلاعات اندازه گيري تا لحظه‌ی  $t$  می‌باشد. پيش‌بياني، يك ناحيه‌ی جديد

<sup>۱</sup> State

<sup>۲</sup> likelihood

<sup>۳</sup> Stochastic Filtering Problem

<sup>۴</sup> Measured Data

<sup>۵</sup> Prediction

را در فضای تصویر یا فضای حالت ایجاد می کند و نیاز به جستجو کردن و پردازش در کل تصویر را حذف می کند. تخمین هر یک از پارامترهای مدل حالت، براساس مدل تغییرات این پارامترها در زمان است که می تواند سرعت، شتاب، ابعاد و یا سایر پارامترهای فرد باشد.

بروز رسانی<sup>۲</sup> شکل پسین<sup>۳</sup> برای فرایند تخمین است و هدف از آن بروز رسانی تخمین به دست آمده از مرحله پیش بینی است. بروز رسانی با در دست داشتن اطلاعات اندازه‌گیری در لحظه  $t$  انجام می شود.

مسئله‌ی فیلترینگ تصادفی در فضای حالت دینامیکی به شکل زیر در نظر گرفته می شود:

$$x(t) = f(t, x_t, v_t) \quad (2-3)$$

$$\bar{z}(t) = h(t, x_t, n_t) \quad (3-3)$$

معادلات (۲-۳) و (۳-۳) به ترتیب معادله‌ی سیستم و معادله‌ی اندازه‌گیری نام دارند.  $x_t$  معرف بردار حالت و  $\bar{z}$  معرف اندازه‌گیری و توابع  $f$  و  $h$  به صورت  $f = r^{nx} \rightarrow r^{nz}$  و  $h = r^{nx}$  تعریف می‌شوند که در حالت کلی دارای خاصیت تغییرپذیری با زمان هستند.  $n_t, v_t$  به ترتیب نویز پردازشی<sup>۴</sup> و نویز اندازه‌گیری<sup>۵</sup> می باشند.

به دلیل اینکه فیلتر کردن برای ریدیابی افراد در حوزه‌ی زمان گسسته انجام می‌گیرد. معادلات (۲-۳) و (۳-۳) را می توان به شکل زیر بازنویسی نمود:

$$x_k = f_k(x_{k-1}, v_{k-1}) \quad (4-3)$$

<sup>۱</sup> a prior

<sup>۲</sup> Updating

<sup>۳</sup> A posterior

<sup>۴</sup> Process Noise

<sup>۵</sup> Measurement Noise

$$z_k = h_x(x_k, n_k) \quad (5-3)$$

$v_{k-1}$  و  $n_k$  نويز سفيد با پارامترهای معلوم در حوزه‌ی زمان می‌باشند. معادله سیستم در (۴-۳)، معرف تابع توزيع احتمال گذر حالت<sup>۱</sup> به صورت  $p(x_k|x_{k-1})$  و معادله اندازه‌گيري (۵-۵) معرف تابع شباخت به صورت  $p(z_k|x_k)$  می‌باشد. هدف از فیلتر کردن، تخمین بهينه‌ی متغير حالت در زمان با در دست داشتن اطلاعات اندازه‌گيري تا لحظه  $t$ ، شامل تابع توزيع اوليه  $p(x_0)$ ، تابع توزيع احتمال گذر حالت  $p(x_k|x_{k-1})$  و تابع شباخت  $p(z_k|x_k)$  می‌باشد. مقدار تخمین‌زده شده به صورت  $p(x_{0:k}|z_{0:k})$  یا  $p(x_{0,k}|z_{0,k})$  خواهد بود که  $x_{0,k}$  بردار حالت هدف از ابتدا تا لحظه‌ی جاري است.

### ۳-۳-۱- فیلترینگ بازگشتی بیزین غير خطی<sup>۲</sup>

قاعده بیز<sup>۳</sup> یک ابزار رياضي برای استنتاج علت‌ها از یک سري مشاهدات می‌باشد. در رديابي افراد موقعیت و يا سرعت هدف را می‌توان به صورت يك علت در نظر گرفته و با استفاده از پارامترهای مدل بيان نمود. سپس با دریافت مشاهدات مربوطه از سیستم می‌توان این علل را استنتاج نمود.

از دیدگاه بیزین عمل فیلترینگ تخمین بازگشتی متغير حالت  $x_k$  در زمان  $k$  با در دست داشتن اطلاعات اندازه‌گيري تا زمان  $k$  یعنی  $z_{1:k}$  می‌باشد. به عبارت ديگر كافی است در لحظه‌ی  $t$  توزيع  $p(x_0, z_0) = p(x_0)$  را به دست آورد. در تئوري بیزین فرض بر این است که توزيع اوليه  $p(x_0|z_{1:k})$  در دست است. تابع توزيع  $p(x_k|z_{0:k})$  به طور بازگشتی طی دو مرحله‌ی پيش‌بياني<sup>۴</sup> و بروز رسانی<sup>۵</sup> قابل محاسبه است. جهت به دست آوردن فرمول‌های بازگشتی فرض می‌شود تابع توزيع احتمال مطلوب در زمان قبل یعنی در زمان  $k-1$  به صورت  $p(x_{k-1}|z_{1:k-1})$  محاسبه شده است. در اين صورت

<sup>۱</sup> State Transition Probability Density Function

<sup>۲</sup> Recursive Nonlinear Bayesian Filtering

Bayes Rule -<sup>۳</sup>

<sup>۴</sup> Prediction

<sup>۵</sup> Update

مرحله‌ی پيش‌بيين شامل استفاده از مدل سيسنتم (۵-۳) ( $z_n$ ) جهت به دست آوردن تابع توزيع

پيشين<sup>۱</sup> حالت در لحظه‌ی  $k$  با استفاده از معادله‌ی chapman-komogorov می‌باشد:

$$p(x_k | z_{1:k-1}) = \int p(x_k | x_{k-1}) \cdot p(x_{k-1} | z_{1:k-1}) dx_{k-1} \quad (6-3)$$

در بدست آوردن رابطه‌ی (۶-۳) فرض شده است  $p(x_k | x_{k-1}, z_{1:k-1}) = p(x_k | x_{k-1})$  می‌باشد که

بيانگر داشتن خاصيت مارکف مرتبه اول برای توزيع گذر است. مدل احتمالي برای توزيع گذر حالت  $x_k$  از معادله‌ی سيسنتم (۴-۳) و با در دست داشتن پارامترهای معلوم برای توزيع  $v_{k-1}$  قابل محاسبه است. بنابر تئوري بيزين خواهيم داشت:

$$p(x_k | z_{1:k}) = \frac{p(z_k | x_k) p(x_k | z_{1:k-1})}{p(z_k | z_{1:k-1})} \quad (7-3)$$

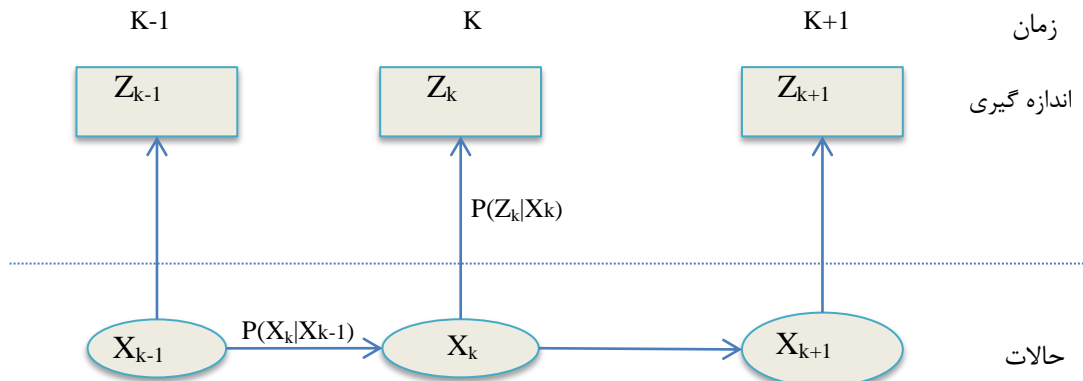
كه:

$$p(z_k | z_{1:k-1}) = \int p(z_k | x_k) p(x_k | z_{1:k-1}) dx_k \quad (8-3)$$

عبارة (۸-۳) وابسته به توزيع به دست آمده از مرحله‌ی پيش‌بيين و همچنین تابع شباخت است که توسط مدل اندازه‌گيري (۵-۵) و با در دست داشتن پارامترهای توزيع  $n_k$  قابل محاسبه است. مراحل پيش‌بيين و بروز رسانی در شكل (۱-۳) نشان داده شده است.

معادلات بازگشتی (۶-۶) و (۷-۳) پايه‌ی روش حل بهينه‌ی بيزين را تشکيل مي‌دهند. در اغلب موارد بدست آوردن راه حل تحليلي برای انتشار بازگشتی توزيع مطلوب امكان پذير نisist. راه حل‌های تقربي مختلفي جهت پياده‌سازی فيلترینگ بيزين ارائه شده‌اند که بسته به ويژگي توزيع حالت هدف و نوع كاربرد مورد نظر قابل استفاده‌اند.

<sup>۱</sup> Aposteriori Estimate



شکل ۲-۳ مراحل پيش بينی و بروز رسانی در تئوری بیزین

برای یک شی متحرک در دنباله‌ای از تصاویر، بردار مکان شی را می‌توان به صورت بردار حالت نشان داد که در هر لحظه به یک مختصات  $(x, y)$  اشاره می‌کند. تغییرات این بردار در زمان با استفاده از رابطه زیر قابل محاسبه می‌باشد:

$$X_t = f^t(X_{t-1}) + W_t \quad (9-3)$$

که  $W_t$  نویز سفید می‌باشد. ارتباط بین مقدار اندازه‌گیری شده و بردار حالت توسط رابطه زیر محاسبه می‌گردد:

$$Z_t = h^t(X_t, N_t) \quad (3-10)$$

که  $N_t$  نیز نویز سفید جداگانه‌ای است.

برای تخمین بردار حالت  $X_t$  توسط تخمین تابع چگالی احتمال<sup>۱</sup> (PDF)، می‌توان طبق رابطه زیر عمل نمود:

$$p(X_t | Z_{1,\dots,t}) \quad (11-3)$$

معادله‌ی (۱۱-۳) را می‌توان به صورت بازگشتی با استفاده از فیلتر بیزین در دو مرحله‌ی تخمین<sup>۱</sup> و تصحیح<sup>۲</sup> حل نمود. در مرحله تخمین، فیلتر مقدار پیشین تابع PDF را با استفاده از بردار حالت جاری را طبق رابطه زیر به دست می‌آورد:

$$p(X_t | Z_{1,\dots,t-1}) \quad (12-3)$$

سپس در مرحله تصحیح، تابع شباهت<sup>۳</sup> ( $Z_t | X_t$ )  $P$  به کار برده می‌شود تا مقدار پسین<sup>۴</sup> برای

PDF طبق رابطه زیر به دست آید:

$$p(X_t | Z_{1,\dots,t}) \quad (13-3)$$

#### ۴-۳- فیلتر کالمن

فیلتر کالمن یک ابزار ریاضی قدرتمند برای تخمین داده‌ها و ردیابی اشیا می‌باشد [۳۰]. این فیلتر حالت یک سیستم پویا را با استفاده از دنباله‌ی مشاهدات که می‌توانند ناقص باشند، تخمین می‌زند. فیلتر کالمن دارای این مزیت است که در آن بهره<sup>۵</sup>ی فیلتر کالمن بسته به میزان نویز اندازه‌گیری و مدل حرکتی جسم ثابت نبوده و در بازه‌های زمانی مختلف به صورت بهینه محاسبه می‌شود. بنابراین این فیلتر از دقت بالایی برخوردار می‌باشد. تحقیقات بسیاری برای توسعه و بهبود فیلتر کالمن ارائه شده است.

برای تعیین موقعیت یک شیء، نیاز به اندازه‌گیری متغیرهای حالت آن مانند فاصله، سرعت و شتاب می‌باشد. در بیشتر مواقع امکان اندازه‌گیری برخی از این مقادیر ممکن نمی‌باشد. فیلتر کالمن قادر

Prediction - ۱

Correction - ۲

Like Hood - ۳

Posterior - ۴

<sup>۵</sup> Gain

است تنها با دریافت برخی از این مقادیر، سایر مقادیر را تخمین بزنند. می‌توان گفت در ردیابی افراد مهمترین کاربرد فیلتر کالمن، تخمین موقعیت شیء، هنگام خروج شیء از دید دوربین می‌باشد. در این موارد فیلتر کالمن بر اساس مشاهدات دریافت شده در زمان‌های قبل، قادر به تخمین مکان تقریبی شیء می‌باشد. فیلتر کالمن در موقعی که سیستم خطی بوده و نویز از نوع اضافه شونده گاووسی باشد بهینه است. در مقابل این فیلتر تنها حالاتی را در بر می‌گیرد که توزیع احتمال پارامترهای حالت تک قله‌ای<sup>۱</sup> باشد. فیلتر کالمن توانایی پیش‌بینی در مواردی از قبیل وجود همپوشانی بین اشیا و دینامیک پیچیده و غیر خطی اشیا (توزیع احتمال پارامترهای حالت، چند قله ای می‌باشد)، را ندارد. همچنین مسائلی که دارای ماهیت خطی و گاووسی نبوده و یا نویز آنها از نوع گاووسی اضافه شونده نباشد، با فیلتر کالمن نتایج مطلوبی را نخواهند داشت.

#### • تعریف ریاضی فیلتر کالمن

در فیلتر کالمن فرض می‌گردد که تابع توزیع پسین برای متغیر حالت در هر لحظه به شکل یک توزیع گاووسی بوده و توسط دو پارامتر میانگین و واریانس قابل توصیف می‌باشد. اگر توزیع  $p(x_k | z_{1:k})$  به صورت گاووسی باشد توزیع  $p(x_k | z_{1:k-1})$  نیز گاووسی خواهد بود به شرطی که :

- $v_{k-1}$  و  $n_k$  از توزیع گاووسی با پارامترهای معلوم استخراج شده باشند.
- تابع  $f(x_{k-1}, v_{k-1})$  و  $h_k(x_k, n_k)$  معلوم بوده و تابعی خطی از متغیرهایش باشند.

بنابراین معادلات (۳-۳) و (۴-۳) را می‌توان به صورت ماتریس زیر نوشت:

$$x_k = f_k x_{k-1} + v_{k-1} \quad (14-3)$$

$$z_k = h_k x_k + n_k \quad (15-3)$$

ماترييس معلوم و توابع خطى هستند. ماترييس کوواريانس بردارهای  $n_k, v_{k-1}$  ماترييس های  $h_k, f_k$  می باشند. اگر  $n_k, v_{k-1}$  دارای ميانگين صفر بوده و مستقل از هم باشند، می توان روابط بازگشتی را در الگوريتم فیلتر کالمون با استفاده از معادلات (۳-۵) و (۳-۶) به دست آورد.

برای تخمین حالت بازگشتی<sup>۱</sup> فیلتر کالمون یک سیستم اتفاقی<sup>۲</sup> را به صورت زیر در نظر گرفته می

شود:

$$X_{k+1} = F(X_k, u_k, V_k) \quad (16-3)$$

که  $u_k$  ورودی سیستم و  $V_k$  نویز اضافه شده به محیط می باشد. هدف فیلتر کالمون تخمین حالت بردار  $X$  می باشد.

اگرچه  $X$  فقط از طریق مقدار اندازه گیری سنسور قابل دسترسی است اما این مقدار با نویز سنسور مخلوط شده است و مقدار واقعی  $X$  نمی باشد. این مقدار با رابطه زیر مشخص می شود:

$$Z_k = H(X_k, W_k) \quad (17-3)$$

به ترتیب نویز سیستم و نویز سنسور می باشند که:

$$E[V_k] = 0, \quad E[V_k V_k^T] = Q_k, \quad \text{and} \quad E[V_i V_j^T] = 0, \quad \forall i \neq j \quad (18-3)$$

$$E[W_k] = 0, \quad E[W_k W_k^T] = R_k, \quad \text{and} \quad E[W_i W_j^T] = 0, \quad \forall i \neq j \quad (19-3)$$

تخمین حالت بازگشتی فرایندی تکرار پذیر<sup>۳</sup> است که طی آن بردار حالت  $x$  توسط اطلاعات موجود باز سازی می شود. این اطلاعات شامل مدل اندازه گیری و داده های دریافت شده می باشد.

<sup>۱</sup> Recursive State Estimation

<sup>۲</sup> stochastic

<sup>۳</sup> Iterative

$i \geq j$  و  $(X_i|j)$ , را تخمین حالت  $X_i$  می ناميم. با داشتن تخمین حالت  $(X_k|k)$  و ورودی سیستم

را با استفاده از فرمول زیر تخمین زد:

$$X_{k+1|k} = E\left[f(X_k, u_k, V_k) | Z^k\right] \quad (20-3)$$

اگر برای رابطه (17-3) از نتایج روابط بالا استفاده شود، تخمین توزیع پیشین از مقدار اندازه گیری سیستم با رابطه (21-3) برابر خواهد شد.

$$Z_{k+1|k} = h(X_{k+1|k}, 0) \quad (21-3)$$

با مقایسه مقدار واقعی بردار  $Z_{k+1}$  و مقدار تخمین زده ی  $(Z_{k+1|k})$  می توان به مقدار خطای اندازه گیری دست یافت. با اضافه کردن این خطای به مقدار تخمین حالت پیشین، می توان تخمین بهتری از مقدار واقعی داشت که به آن تخمین حالت پسین<sup>۱</sup> دست یافت:

$$X_{k+1|k+1} = X_{k+1|k} + K_{k+1}(Z_{k+1} - Z_{k+1|k}) \quad (22-3)$$

$k_{k+1}$  بهره‌ی کالمن می باشد که برای مینیمم کردن کواریانس خطای حالت پسین استفاده می شود. برای بدست آوردن مقدار  $k$  از  $(P_{k+1|k+1})$  نسبت به  $k$  مشتق گرفته و برابر صفر قرار می دهند (برای مینیمم کردن کواریانس). مقداری که برای  $k$  بدست می آید مقدار بهینه ای برای رابطه (22-3) خواهد بود.

خطای تخمین حالت پیشین و پسین به صورت زیر محاسبه می شوند:

$$e_{k+1|k} = X_{k+1} - X_{k+1|k} \quad (23-3)$$

$$e_{k+1|k+1} = X_{k+1} - X_{k+1|k+1} \quad (24-3)$$

---

A posteriori<sup>۱</sup>  
Gain

با توجه به مدل خطى در رابطه ۱۷-۳) تخمين حالت پيشين بدون نويز از رابطه زير محاسبه می شود

$$X_{k+1|k} = F_k X_{k|k} + u_k \quad (25-3)$$

خطاي تخمين حالت پيشين، نيز از رابطه زير محاسبه می شود:

$$e_{k+1|k} = F_k e_{k|k} + V_k \quad (26-3)$$

مقادير  $z$ ، نيز از روابط زير بدست می آيد:

$$Z_{k+1|k} = H_{k+1} X_{k+1|k} \quad (27-3)$$

$$Z_{k+1} = H_{k+1} X_{k+1} + W_{k+1} \quad (28-3)$$

با استفاده از رابطه ۲۴-۳) می توان يك رابطه بازگشتی برای به دست آوردن خطاي تخمين

حالت پسین بدست آورده:

$$e_{k+1|k+1} = e_{k+1|k} - k_{k+1} (H_{k+1} e_{k+1|k} + W_{k+1}) \quad (29-3)$$

مقدار کوواريانس خطا با توان دوم خطا بدست می آيد:

$$P_{k+1|k} = E[e_{k+1|k} e_{k+1|k}^T] \quad (30-3)$$

$$P_{k+1|k+1} = E[e_{k+1|k+1} e_{k+1|k+1}^T] \quad (31-3)$$

با استفاده از روابط (26-3) و (28-3) می توان به رابطه ساده تری برای  $(P_{k+1|k})$  دست یافت:

$$P_{k+1|k} = F_k P_{k|k} F_k^T + Q_k \quad (32-3)$$

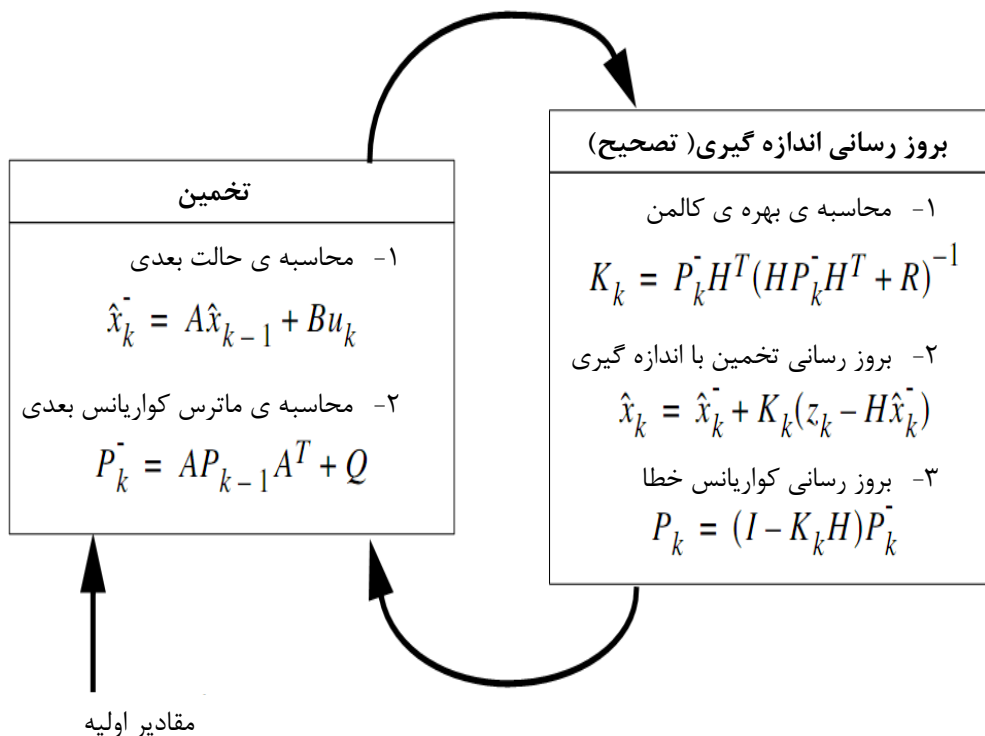
با جايگذاري رابطه (۲۶-۳) در رابطه (۲۹-۳) رابطه کوواريانس خطاي پسيين بهصورت زير خواهد

بود:

$$P_{k+1|k+1} = P_{k+1|k} - P_{k+1|k} H^T K^T - K H P_{k+1|k} + K (H P_{k+1|k} H^T + R) K^T \quad (33-3)$$

براي بدستآوردن مقدار  $k$  از  $(P_{k+1|k+1})$  نسبت به  $k$  مشتق گرفته و برابر صفر قرار می دهند.(براي مينيمم کردن مقدار کوواريانس).

$$K = P_{k+1|k} H^T (H P_{k+1|k} H^T + R)^{-1} \quad (34-3)$$



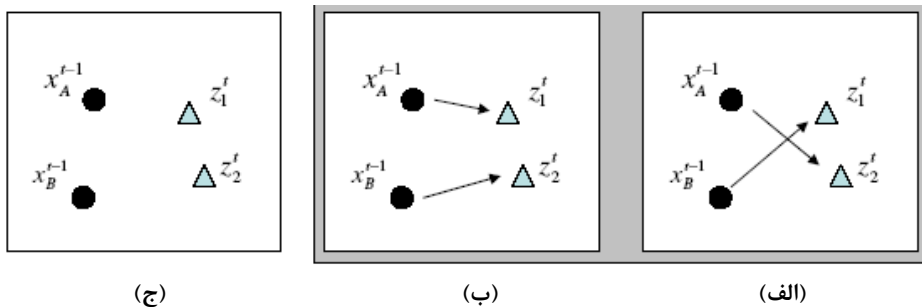
شكل ۴-۴ مراحل فیلتر کالمن

روش ارائه شده برای فیلتر کالمن در صورت صادق بودن تمامی فرضیات در نظر گرفته شده، بهینه ترین حالت برای مسئله‌ی تخمین حالت می باشد. به این معنی که در صورت خطی و گاوی بودن توزیع حالت هیچ الگوریتمی منجر به جواب بهتر نخواهد داد. در برخی از کاربردهای عملی نمی توان

تمام فرض های لازم برای فیلتر کالمن را فراهم نمود. در اين گونه موقع می توان از الگوريتم های زير اپتيمم<sup>۱</sup> استفاده نمود. يکی از اين الگوريتم ها الگوريتم کالمن توسعه<sup>۲</sup> [۳۱] است.

### ۳-۵- رديابي اهداف چندگانه

مسئله رديابي اهداف چندگانه<sup>۳</sup> (MTT) را علیرغم شباهت زياد آن به رديابي اهداف تکی، نمي- توان به عنوان تعديمي ساده از مسئله رديابي اهداف تکی به حساب آورد. دليل اين امر وجود مسئله موسوم به ارتباط اطلاعات است. برای وضوح بيشتر مسئله رديابي دو هدف را در نظر بگيريد (شکل ۳-۳ الف) فرض کنيد در لحظه  $t-1$ ، هدف A در مکان  $x_A^{t-1}$  آشكار سازی شده و به طور مشابه به وجود هدف B نيز در مکان  $x_B^{t-1}$  تثبيت شده است.



شکل ۳-۳ مثال ارتباط اطلاعات. الف) دو هدف (دایره ها) به همراه دو داده مشاهده شده(مثلث ها)، جهت ايجاد ارتباط.  
ب) حالت ممکن اول در مسئله ارتباط اطلاعات. ج) حالت ممکن دوم برای مسئله ارتباط اطلاعات.

در شکل ۲-۳ الف) اطلاعات  $Z_1^t$  و  $Z_2^t$  در زمان  $t$  توسط سیستم مشاهده می شوند. ابهام موجود در مسئله رديابي اهداف چندگانه پاسخ به اين سوال است که کدامیک از اطلاعات مشاهده شده توسط هدف A و کدامیک از اطلاعات توسط هدف B تولید شده است. با فرض اين که هر کدام از اهداف فقط يك داده اى اندازه گيري تولید كرده و هیچ آشكار سازی نادرست<sup>۴</sup> در سیستم صورت نگرفته

Sub optimal Algorithm<sup>۱</sup>

Extended Kalman Filter<sup>۲</sup>

<sup>۳</sup> Multiple-Target Tracking

<sup>۴</sup> False Alarm

است) عدم وجود پارازيت<sup>۱</sup> در محیط) دو حالت برای ارتباط اطلاعات مشاهده و مسیر حرکت<sup>۲</sup> می توان در نظر گرفت:

$Z_1^t$  متناظر با A و  $Z_2^t$  متناظر با B است (شکل ۴-۳ ب)) -

$Z_1^t$  متناظر با A و  $Z_2^t$  متناظر با B است. (شکل ۴-۳ ج) -

اگر مسئله فوق را به حالت کلی N هدف با دقیقاً N داده‌ی مشاهده شده در هر لحظه و عدم وجود آشکارسازی نادرست تعیین دهیم، تعداد حالت‌های ممکن برای تمام ارتباطات ممکن، برابر  $N!$  خواهد بود که برای مقادیر بزرگ N، تعداد حالات برای کاربردهای عملی بسیار زیاد خواهد شد. به علاوه اگر تعداد حالت‌های ممکن را در طول پنجره‌ای به طول T در نظر بگیریم به عدد نمایی  $(N!)^T$  دست خواهیم یافت. اگر فرضیات مربوط به تولید تنها یک داده‌ی اندازه گیری توسط هر هدف در هر واحد زمانی و همچنین عدم وجود آشکارسازی نادرست توسط سنسور در نظر نگیریم، در این صورت حجم محاسباتی بسیار بیشتر خواهد شد.

### ۳-۵-۱- فرمول بندی بیزین عمومی برای رديابي اهداف چندگانه

رديابي اهداف چندگانه با در نظر گرفتن مشکل ارتباط اطلاعات، حالت بعدی هر يك از اهداف را تخمین می‌زند. اين مساله را می توان به صورت مسئله فیلترینگ بیزین متوالی<sup>۳</sup> با مشاهدات نویز آلود در نظر گرفت. با اين تفاوت که در اين حالت، با فضای حالت و فضای اطلاعات مشاهده‌ی پیچیده تری مواجه هستیم. در MTT متناظر با فضای حالت موجود در مسئله رديابي اهداف تکی یعنی  $X \in Z$  با فضای حالت متشکل از N هدف مواجه هستیم که قابل نمایش توسط مجموعه  $N$  تایی  $(x_1, \dots, x_N) \in Z^N$  هستند. با توجه به اينکه عموماً تعداد اهداف برای سیستم نامعلوم است. فضای

حالت توأم توسط رابطه زير داده خواهد شد:

<sup>۱</sup> Clutter

<sup>۲</sup> Track

<sup>۳</sup> Sequential Bayesian Filtering Problem

$$S = Q \cup x \cup x^2 \cup x^3 \cup \dots \quad (35-3)$$

با توجه به رابطه فوق، فضای حالت کلی برابر اجتماع حالاتی است که هدفی موجود نباشد ( $\phi$ ) یک هدف داشته باشيم ( $x$ ) و يا حالت های متشکل از تعداد محدودی هدف ( $x^N$ ) باشد. مدل گذر از حالت چند هدفه  $s^{t-1}$  در لحظه  $t-1$  به حالت  $s^t$  در لحظه  $t$  را می توان توسط احتمال گذر  $p(s^t | s^{t-1})$  بيان کرد که مشابه معادله  $\text{سيستم}(dynamik\ head)$  در رديابي تک هدفه است؛ با اين تفاوت که لازم است چگونگی ورود و خروج اهداف نيز مدل شوند. در رديابي اهداف چند گانه اطلاعات اندازه گيري مجموعه‌اي از مشاهدات توليد شده توسط اهداف، و مشاهدات نادرست حاصل از وجود خطأ در سنسورها می باشد. بنابراین اگر  $Z$  فضای اندازه گيري<sup>۱</sup> مربوط به يك هدف باشد فضای کلی اندازه گيري در حالت چند هدفه اجتماع تمام مجموعه های  $Z$  خواهد بود که آنرا با  $M$  نشان می دهیم. در اینصورت مدل اندازه گيري توسط يك تابع شباخت به صورت  $P(m'|Z')$  ارائه خواهد شد که در آن  $m'$  مجموعه مشاهدات می باشد که مقادير خود را از  $M$  خواهد گرفت. در مثال دو هدفه  $i$  نشان داده شده در شکل (۴-۳) مجموعه مشاهدات به صورت  $\{Z'_1, Z'_2\} \in m'$  می باشد. مسئله ارتباط اطلاعات به دليل معلوم نبودن ترتيب اطلاعات موجود در مجموعه مشاهدات حاصل می شود.

از لحاظ تئوري می توان با اعمال مستقيم روش فیلترینگ بیزین بازگشتی استاندارد به مسئله عمومی رديابي اهداف چندگانه مطرح شده در بخش قبلی، به توزيع فیلتر شده مطلوب  $p(s | m^0, \dots, m')$  دست یافت. با اين حال محاسبه توزيع فیلتر شده مطلوب در فضای حالت اهداف چندگانه  $s$  و درنظر گرفتن تعداد بسیار زیاد ترکیبات حاصل از فضاهای محتمل به واسطه مسئله ارتباط اطلاعات در عمل کاري بسیار مشکل و از لحاظ محاسباتی پیچیده است. بنابراین چالش اساسی موجود در تحقق سیستم های رديابي اهداف چندگانه مدیریت پیچیدگی و حجم محاسباتی در سیستم با در نظر داشتن عملکرد مناسب برای عمل رديابي است.

---

<sup>1</sup> Measurement Space

روش های زيادي برای حل مشکل ارتباط اطلاعات در رديابي اهداف چندگانه وجود دارد. يكى از اين روش ها *MHT* می باشد که تمام حالات موجود برای مسیر موجود بین مشاهدات و اهداف را در نظر می گيرد. اين باعث می شود که تعداد حالات ممکن با افزایش تعداد اهداف و تعداد مشاهدات به طور نمایي افزایش يابد. بنابراین اين روش نياز اساسی در کم کردن حجم اطلاعات دارد. از روش های دیگر حل اين مشکل فیلتر استاندارد نزدیکترين همسایگی<sup>۱</sup> می باشد که هر کدام از اهداف را به نزدیکترين مشاهده در فضای هدف ارتباط می دهد. اما اين روش باعث از بين رفتن يك سري از فرضيات امكان پذير و شدنی می شود. فیلتر *JPDAF* يكى از روش های مناسبی است که برای حل مسئله اى ارتباط اطلاعات استفاده می شود.

### ۳-۵-۲- رديابي فرضيات چندگانه<sup>۲</sup> (*MHT*)

اين روش تمام ارتباطات<sup>۳</sup> (موسوم به فرضيات) ممکن بین مشاهدات شامل مسیرهای موجود، مسیرهای جدید و مشاهدات نادرست را با در نظرداشتن محدودیت های ارتباطی به واسطه ناسازگاری های متقابل در نظر می گيرد. اين روش نيازی به داشتن اطلاع از تعداد اهداف ندارد. در اين روش مرحله اتخاذ تصميم برای نحوه ارتباط اطلاعات به طور بهينه به منظور رسيدن اطلاعات مشاهده شده ي هر چه بيشتر تأخير داده می شود. بنابراین لازم است فرضيات چندگانه ذخیره سازي شوند. الگوريتم *MHT* عليرغم داشتن توانايی بالا جهت رديابي اهداف چندگانه با تعداد نامعلوم و مقاوم بودن در شرایط موجود مشاهدات نادرست با نرخ بالا داراي معايبی نيز هست. نياز به حافظه بزرگ و افزایش نمائی بار حجم محاسباتی با افزایش تعداد اهداف از اين جمله اند.

<sup>۱</sup> Nearest Neighbour Standard Filter

<sup>۲</sup> Muldiple Hypothesis Tracking

<sup>۳</sup> Hypothesis

### <sup>۱</sup> JPDAF - ۳-۵-۳ - الگوريتم

اين روش شامل بروز رسانی هر يك از حالات مسیر توسط تركيبات وزن دار تمامی مشاهدات می باشد که توسط فرتمن، شالم و شف<sup>۲</sup> مطرح شد. با توجه به اينکه بخش کليدي در اين روش محاسبه ی احتمال مرتبط بودن مشاهدات با مسیر هاست، اين عمل با در نظر داشتن محدوديت های ارتباطی به واسطه ی ناسازگاری های متقابل در فرضيات صورت می پذيرد. از معایب اين روش نياز به معلوم بودن تعداد اهداف می باشد.

هر دو روش فوق تخمين هاي از توزيع فيلتر شده ی واقعی ( $p(s|m^0, \dots, m')$  می باشند. روش MHT محاسبات بيشرى داشته و منجر به تخمين دقيق تری از توزيع می گردد. در مقابل JPDAF با به کارگيري اثر وزن دهی تمام مشاهدات، تصميم گيري نرم تری برای ارتباط اطلاعات<sup>۳</sup> با هر مسیر داشته و همچنين محاسباتی کمتری نسبت به الگوريتم MHT نياز دارد. در واقع الگوريتم JPDAF حالت خاصی از الگوريتم کلی تر MHT می باشد که روش خاصی جهت ترکيب فرضيات ايجاد شده توسط الگوريتم MHT و توليد يك فرضيه در هر زمان ارائه می نماید. در حالت کلی می توان گفت تمام روش های ارائه شده برای مسئله ی ارتباط اطلاعات، حالت خاصی از MHT هستند.

## • ارتباط MHT و JPDAF

مثال رديابي دو هدفه ی قبل را در نظر بگيريد. که در آن مسیر های A, B به طور مستقل و به ترتيب مطابق ( $P_B^{t-1}(X)$ ,  $p_A^{t-1}(x)$ ) توزيع شده اند. داده های مشاهده در زمان  $t$   $z_1^t$  و  $z_2^t$  می باشند. برای سادگی فرض می شود مشاهدات نادرست در سیستم وجود ندارد. در اين صورت براساس فرضيات الگوريتم MHT خواهیم داشت:

<sup>۱</sup> Joint Probability Data Association Filter

<sup>۲</sup> Fortman , Shalom , Scheffe

<sup>۳</sup> Soft Data Association

$H_0$  : مسیر A با داده  $Z_1^t$  و مسیر B با داده  $Z_2^t$  مرتبط است.

$H_1$  : مسیر A با داده  $Z_2^t$  و مسیر B با داده  $Z_1^t$  مرتبط است.

برای محاسبه احتمال ارتباط ها باید قبل از زمان t توزیع احتمال هر یک از مسیرها با توجه به

توزیع دینامیک اهداف بررسی گردد:

$$\hat{p}_j^{(t)} = \int_x p(x^t | x^{t-1}) p_j^{t-1}(x^{t-1}) dx^{t-1} \quad g \in \{A, B\} \quad (36-3)$$

می توان احتمال تولید مشاهدات  $z_1^t, z_2^t$  توسط مسیر های A,B را با استفاده از فرمول های زیر

محاسبه نمود:

$$\begin{aligned} \gamma_0 &= p(A \text{ generates } z_1^t \text{ and } B \text{ generates } z_2^t) \\ &= \int x^2 p(z_1^t | x_A) p(z_2^t | x_B) \hat{p}_A^t(x_A) \hat{p}_B^t(x_B) dx_A dx_B \end{aligned} \quad (37-3)$$

$$\begin{aligned} \gamma_1 &= P((A \text{ generates } z_2^t \text{ and } B \text{ Generates } z_1^t)) \\ &= \int x^2 p(z_2^t | x_A) p(z_1^t | x_B) \hat{p}_A^t(x_A) \hat{p}_B^t(x_B) dx_A dx_B \end{aligned} \quad (38-3)$$

با توجه به اینکه اطلاعات مشاهده ای مجموعه  $\{Z_1^t, Z_2^t\}$  است. احتمال ارتباط ها به صورت زیر

محاسبه خواهد شد:

$$P(H_0) = \frac{\gamma_0}{\gamma_0 + \gamma_1} \quad , \quad P(H_1) = \frac{\gamma_1}{\gamma_0 + \gamma_1} \quad (39-3)$$

احتمال ارتباطات تنها با استفاده از مدل اندازه گیری  $P(Z | X)$  و توزیع های پیش بینی شده می

مسیرها در رابطه (36-3) محاسبه شده است. در نتیجه دینامیک هدف، نقش تعیین کننده ای در

محاسبه ای احتمال ارتباطات خواهد داشت. با در نظر گرفتن هر یک از فرضیه ها حالت مسیرهای

بر پایه قانون بیزین و با استفاده از مشاهده مربوط شده با آن به روز خواهد شد. در نتیجه، توزیع  $A, B$

مسیر A تحت فرضیه های  $H_0, H_1$  به صورت زیر محاسبه خواهد شد:

$$P_A^t(X | H_0) = \alpha_0 \cdot P(Z_1^t | X) \cdot \hat{P}_A^t(X) \quad (40-3)$$

$$P_A^t(X | H_1) = \alpha_1 \cdot P(Z_2^t | X) \cdot \hat{P}_A^t(X) \quad (41-3)$$

در روابط فوق  $\alpha_0, \alpha_1$  ثابت های نرمالیزسازی می باشند. حالت مسیر با مشاهدات مختلف تحت فرضیه های متفاوت به روز می شود؛ بنابراین الگوریتم *MHT* براساس هر یک از فرضیه ها حالت مسیر جدگانه ای را حفظ خواهد کرد. در صورتی که الگوریتم *JPDAF* فرضیه های چندگانه را با مخلوط کردن توزیع احتمال مسیرهای یکسان براساس تمام فرضیه ها ترکیب کرده و به فرضیه  $i$  واحدی دست خواهد یافت که مفهوم تصمیم گیری نرم برای محاسبه ارتباط اطلاعات در هر مسیر می باشد.

$$P_{jpda, j}^t = P_j^t(x | H_0) \cdot P(H_0) + P_j^t(x | H_1) \cdot P(H_1) \quad , \quad j \in \{A, B\} \quad (42-3)$$

#### ۴-۵-۳- سایر روش های ردیابی

علاوه بر فیلتر کالمن و مشتقات آن، روشهای دیگری نیز برای ردیابی اهداف ارائه شده اند. یکی از مشهورترین این روش ها فیلتر پارتیکل می باشد. ایده‌ی اصلی فیلتر پارتیکل اعمال بازگشتی فیلتر بیزی بر روی مجموعه‌ی نمونه هاست [۳۲]. این فیلتر به سیستم های خطی محدود نبوده و لزومی به محدود کردن نویز به نوع گاووسی اضافه شونده نیز وجود ندارد. روش فیلتر پارتیکل اخیراً در محیط های غیر گاووسی برتری هایی نسبت به روش فیلتر کالمن نشان داده است. اما پیچیدگی های محاسباتی بالای روش های مبتنی بر فیلتر پارتیکل مانع از کاربرد آنها در مسائل بزرگ نظری ردیابی تعداد زیاد اشیاء متحرک می شود. به عنوان مثالی دیگر می توان به الگوریتم Condensation اشاره نمود [۳۳]. این الگوریتم توسعه‌ای از فیلتر پارتیکل می باشد که قادر به ردیابی توزیع های چند قله ای

نيز می باشد و با عناوينی نظير فيلتر بوت استرپ بيزي<sup>۱</sup> و فيلتر مونت كارلو<sup>۲</sup> نيز شناخته می شود. اين الگوريتم بر اساس نمونه برداری از تابع توزيع احتمال پسین تخمین زده شده در تصوير قبلی و پخش کردن اين نمونه ها به منظور تشکيل تابع توزيع احتمال پسین برای تصوير فعلی عمل می کند. با اين وجود از آنجائيكه اين الگوريتم يك روش غير پarametrik است به تعداد نسبتاً زيادي نمونه جهت تضمين يك تخمین بيشترین احتمال<sup>۳</sup> صحيح از حالت فعلی نياز دارد. الگوريتم ديگري در اين زمينه با نام الگوريتم انتقال متوسط<sup>۴</sup> ارائه شده است[۳۴]. اين الگوريتم خصوصاً در حضور شلوعی و بهم ريختگی زمينه داراي مزايايی نسبت به فيلتر كالمن می باشند.

---

<sup>۱</sup> Bayesian Bootstrap Filter

<sup>۲</sup> Monte Carlo Filter

<sup>۳</sup> Maximum Likelihood Estimation(MLE)

<sup>۴</sup> Mean Shift

### ۶-۳- سیستم پیاده سازی شده

در این پایان نامه از فیلتر کالمن و ردیابی فرضیات چندگانه برای ردیابی افراد در تک تک دوربین -ها استفاده شده است. تنها اطلاعات لازم برای فیلتر کالمن در روش پیاده سازی شده، از اطلاعات زمانی و مکانی می باشند. موقعیت جسم، سرعت در راستای افقی و عمودی و اندازه‌ی شیء ویژگی -های هستند که می‌توانند در ماتریس حالت شی تاثیر بگذارند. برای برقراری ارتباط بین فرضیات موجود با مشاهدات دریافت شده از یک تابع هزینه به همراه الگوریتم<sup>۱</sup> SMM استفاده شده است. در صورتی که یک شیء جدید با یکی از فرضیات موجود تطبیق داده شد، مشخصات آن فرضیه (ماتریس حالت و پارامترهای فیلتر کالمن) بروزرسانی می‌گردد. در صورتی که یک شیء با فرضیات موجود منطبق نشود حالات متفاوتی قابل بررسی است. اولین حالت این است که واقعاً یک شیء جدید وارد سیستم شده است. دومین حالت می‌تواند ناشی از چند تکه شدن تصویر یک فرد به دلیل خطا در قطعه‌بندی تصویر باشد و در سومین حالت ممکن است یک شیء که قبلاً با شیء دیگری هم پوشانی داشته دوباره ظاهر شده باشد. برای تشخیص حالت درست از یک تابع وزن‌دهی استفاده می‌شود که با استفاده از داده‌های موجود در پایگاه داده و دانش اولیه، به هر یک از حالات وزنی را اختصاص می‌دهد. به عنوان مثال هر چه شی در مجاورت مرزهای تصویر باشد، احتمال جدید بودن شیء بیشتر می‌باشد.

در هر واحد زمانی، تمام اتفاقات رخ داده در قالب ساختمن داده‌ی استاندارد در پایگاه داده ذخیره می‌گردند. ذخیره‌ی رویدادها در پایگاه داده موجب کاهش پردازش‌های لازم برای تجزیه و تحلیل های بعدی و همچنین کاهش حجم داده‌ی ذخیره شده می‌گردد.

---

<sup>1</sup> Stable Marriage Matching

هنگامی که فرد از نواحی خروجی سیستم عبور می‌نماید، سیستم ویژگی‌های مربوط به شی را استخراج نموده و در قالب رویداد خروج در پایگاه داده ذخیره می‌نماید. این اطلاعات در مرحله‌ی برقراری ارتباط بین مشاهدات در شبکه‌ی دوربین‌ها مورد استفاده قرار خواهد گرفت.

### نتیجه گیری

در این بخش ابتدا تعریفی از ردیابی افراد در یک دوربین ارائه شده و چالش‌های آن مورد بررسی قرار گرفت. سپس برخی از روش‌های کلی برای ردیابی افراد معرفی شده و فیلتر کالمن به عنوان روش پیاده‌سازی شده در این پایان نامه به تفصیل شرح داده شد. همچنین الگوریتم MHT برای ردیابی اهداف چندگانه مورد بررسی قرار گرفته و در نهایت روش کلی پیاده‌سازی شده در این پایان نامه شرح داده شد.

الگوریتم ارائه شده در این پایان‌نامه تنها بر اساس اطلاعات حرکتی، افراد را ردیابی می‌نماید. همچنین به دلیل استفاده از فیلتر کالمن، امکان تشخیص همپوشانی‌های معمول نیز فراهم آورده شده است. همچنین به دلیل عدم استفاده از ویژگی‌های ظاهری، افراد می‌توانند پوشش خود را تا حد قابل قبولی تغییر دهند.

## فصل ۴: ردیابی اهداف در چند دوربین

اغلب سیستم های ردیابی برای پوشش نواحی نظارتی ، نیاز به شبکه ای از دوربین ها دارند. عمل ردیابی در شبکه ای از دوربین ها را می توان به صورت مساله‌ی برقراری ارتباط بین مشاهدات دریافت شده مربوط به یک فرد، در تک تک دوربین ها بیان نمود. در این فصل ردیابی افراد در چند دوربین مورد بررسی قرار خواهد گرفت. ابتدا روش های موجود برای ردیابی اهداف و مزايا و معایب هر یک مورد بررسی قرار خواهد گرفت. در ادامه راجع به ویژگی های قابل استفاده برای برقراری ارتباط بین مشاهدات توضیح داده خواهد شد. سپس یک ویژگی جدید بر مبنای ماتریس هم‌جواری در فضای رنگی YCbCr برای برقراری ارتباط بین مشاهدات ارائه خواهد شد. این ویژگی علاوه بر استفاده از اطلاعات رنگی از اطلاعات بافتی ظاهر افراد نیز بهره برده و دارای ثبات و دقت بیشتری می باشد.

## ۱-۴- مقدمه

در اغلب موارد سیستم‌های ریدیابی، برای نظارت بر محیط‌های بزرگ مانند فرودگاه‌ها، مراکز خرید و محیط‌های هوشمند نیاز است. در این سناریوها نمی‌توان با استفاده از یک دوربین تمام ناحیه‌ی نظارت را تحت پوشش قرار داد. این محدودیت می‌تواند ناشی از محدودیت‌های وضوح حسگر دریافت کننده‌ی تصاویر (دوربین) و یا موانع موجود در محیط باشد. بنابراین سیستم نظارتی یک ناحیه‌ی بزرگ، باید افراد را در شبکه‌ای از دوربین‌ها ریدیابی نماید<sup>[۲]</sup>. همچنین هنگام استفاده از چند دوربین ممکن است پوشش دادن تمام محدودیت مورد نظر با استفاده از دوربین‌ها میسر نباشد. حتی در صورتی که بتوان تمام محیط را با استفاده از چندین دوربین با فضای دید مشترک تحت پوشش قرار داد، مشکلاتی نظیر کالیبره<sup>۱</sup> شدن دوربین‌ها با هم به وجود می‌آید و تغییر در فضای دید یک دوربین موجب تغییر در بقیه‌ی دوربین‌ها می‌گردد. بنابر این در سناریوهای نظارتی<sup>۲</sup> تعریف شده در محیط‌های واقعی نیاز به سیستم‌هایی است که بتوانند افراد را از طریق چندین دوربین با فضای دید غیر مشترک ریدیابی نماید.

علاوه بر مسائلی که در ریدیابی افراد در یک دوربین مطرح است، ریدیابی با استفاده از چندین دوربین از جهات دیگر نیز چالش‌برانگیز است. مشاهدات دریافت شده از یک شی به صورت گستردگی در زمان و مکان قابل توزیع می‌باشند و حضور افراد در زمان و مکان‌های مختلف در ناحیه‌ی دید دوربین‌ها تابع قانون خاصی نمی‌باشد. بنابر این نمی‌توان از ویژگی‌های زمان و مکان برای بررسی شباهت‌ها و مطابقت‌ها استفاده نمود. مشکل دیگر تغییرات به وجود آمده در ظاهر یک شی در محیط‌های متفاوت است. ظاهر دریافت شده از یک شی، تابعی از نور محیط، ویژگی‌های هندسی<sup>۳</sup>، نوع

---

<sup>۱</sup>Calibrate  
<sup>۲</sup>Surveillance  
<sup>۳</sup>Geometry properties

سطح<sup>۱</sup> شئ و مشخصات دوربین می‌باشد. بنابراین ظاهر یک شی در یک دوربین به دلیل عواملی از قبیل شرایط نوری محیط، موقعیت افراد، زاویه‌ی دید و سایر پارامترهای دوربین، می‌تواند با ظاهر همان شی در دوربین دیگر متفاوت باشد.

رديابي افراد در دو مرحله انجام می‌پذيرد. ابتدا افراد در تک تک دوربین‌ها رديابي می‌شوند. پس از رديابي افراد در هر یک از دوربین‌ها، برای رديابي افراد در مجموعه اى از دوربین‌ها که هيچ فضای دید مشترکی با هم ندارند، نياز به برقراری ارتباط بين مشاهدات مربوط به يك فرد می‌باشد. روش‌های متعدد انجام شده در اين زمينه را می‌توان به سه گروه اصلی تقسيم بندی نمود.

اولين گروه که حجم عمدات از تحقیقات را به خود اختصاص داده است، ویژگی‌های ظاهری را مبنای شناسایی افراد در دوربین‌های مختلف قرار می‌دهد. رنگ بارزترین ویژگی ظاهری هر فرد در سیستم‌های رديابي افراد می‌باشد که معمولاً به صورت هیستوگرام رنگ مورد استفاده قرار می‌گيرد. با اين وجود، استفاده از رنگ و مشتقات آن به دلیل حساسیت به شرایط نوری و پارامترهای دوربین باعث ایجاد محدودیت‌هایی در تشخیص و ارتباط صحیح بين مشاهدات می‌گردد[۳۵]. يکی از راه حل‌های ارائه شده برای حل اين مساله، استفاده از تابع انتقال رنگ<sup>۲</sup> یا تابع انتقال روشنایی<sup>۳</sup> قبل از محاسبه‌ی میزان شباهت می‌باشد. به عنوان مثال [۳۶] از تابع انتقال روشنایی برای تبدیل روشنایی تصویر فرد در يك تصویر با تصویر دیگر استفاده نموده است. در [۳۷] به جای استفاده از هیستوگرام رنگ، رنگ‌های غالب تصویر مربوط به هر فرد استخراج شده و به عنوان معیاري برای برقراری ارتباط بين مشاهدات استفاده شده است. در [۳۸] توزيع رنگ به صورت تعدادی مدل گاوسي برای تعیین میزان شباهت استفاده شده و علاوه بر آن از يك تابع انتقال رنگ بر اساس نگاشت مدل‌های گاوسي برای بهبود کاريي بهره گرفته شده است. مقاله‌ی [۳۹] نيز ظاهر افراد را با استفاده از تعدادی توزيع

---

<sup>۱</sup> Object Surface  
<sup>۲</sup> Color Transfer Function  
<sup>۳</sup> Brightness Transfer Function

گاوسي مدل نموده است. در اين مقاله تعداد توزيع هاي گاوسي با استفاده از الگوريتم EM<sup>۱</sup> بهينه شده و برای کاهش اثر تغييرات نور، مقداری نويز به مدل رنگ مورد نظر اضافه شده است. مقاله‌ی [۴۰] يك تابع نگاشت تجمعی بر مبنای ميانگين مقادير رنگی ارائه داده و عنوان نموده است که توزيع تجمعی از نظر دقت نسبت به تابع توزيع استاندارد ارجحیت دارد.

دسته‌ی دوم شامل تحقیقاتی می‌گردد که از اطلاعات بیومتریک افراد مانند چهره، به عنوان معیاری برای تشخیص مشاهدات مربوط به يك فرد استفاده می نمایند. به عنوان مثال در [۴۱] از يك سیستم استریو برای استخراج عمق اشیا استفاده شده و در کنار آن از رنگ و چهره‌ی افراد برای برقراری ارتباط بین مشاهدات مربوط به يك فرد بهره گرفته شده است. ویژگی‌های رنگی يك فرد در اين کار به سه قسمت تقسیم شده است. رنگ صورت افراد که برای تشخیص چهره استفاده می شود، رنگ موی افراد و رنگ سایر قسمت‌های تشخیص داده شده برای يك فرد توسط سیستم استریو. اگرچه نتایج ذکر شده توسط مولفین اميدوار کننده می باشند اما اين سیستم از دو نظر قابل تامل می باشد. اول اينکه استفاده از ویژگی چهره، افراد را ملزم به حرکت در فاصله‌ی کمی از دوربین‌ها می نماید و دوم اينکه برای تشخیص صحیح چهره نیاز به تصاویری با کیفیت تقریبا بالا می باشد. در [۴۲] نیز ویژگی چهره به همراه رنگ و بافت لباس‌های افراد مورد بررسی قرار گرفته است. این سیستم بر روی يك پایگاه داده با ۱۱ فرد آزمایش شده است. نتایج اين مقاله نشان می دهد ویژگی چهره با ۵۶٪ کمترین میزان دقت در بين سه ویژگی را دارد.

مقاله‌ی [۴۳] نحوه‌ی راه رفتن<sup>۲</sup> افراد را در هر يك از دوربین‌ها آنالیز نموده و به عنوان معیاری برای برقراری ارتباط بین مشاهدات مربوط به يك فرد در نظر می‌گيرد. اين الگوريتم نیاز به پردازش‌های سنگین‌تری نسبت به سایر روش‌های ذكر شده دارد. همچنین نمونه‌های ویدئویی در شرایط کاملا کنترل شده، در يك محیط و توسط يك دوربین تهیه شده اند.

Expectation Maximization<sup>۱</sup>  
Gait<sup>۲</sup>

در نهايـت الگوريـتمـهـاـي دـستـهـى سـومـ، اـز اـطـلاـعـات زـمانـيـ و مـكـانـيـ استـفـادـهـ نـمـودـهـ و مـكـانـ وـرـودـ اـفـرادـ در دورـبـينـ بـعـدـ رـاـ بـرـ اـسـاسـ معـادـلـاتـ اـحـتمـالـيـ و حـالـاتـ بـهـ دـسـتـ آـمـدـهـ در دورـبـينـ فـلـىـ تـخـمـيـنـ مـىـ زـنـنـدـ. در مـقـالـهـى [44] مـسـالـهـى باـزـسـازـىـ مـسـيرـ اـفـرادـ در چـنـدـ دورـبـينـ، بـهـ صـورـتـ يـكـ مـسـالـهـى بـيـزـينـ تعـرـيفـ شـدـهـ اـسـتـ. سـيـسـتـمـ پـيـادـهـسـازـىـ شـدـهـ در اـيـنـ مـقـالـهـ نـيـازـ بـهـ مشـخـصـ نـمـودـنـ دـسـتـيـ توـپـولـوـژـىـ دورـبـينـهاـ، مـسـيرـهـاـيـ مـمـكـنـ و اـحـتمـالـ اـنـتـقـالـاتـ بـيـنـ دورـبـينـهاـ مـىـ باـشـدـ. در [45] نـيـزـ رـاهـكـارـىـ بـرـايـ تـولـيدـ مـسـيرـ حـرـكـتـ اـفـرادـ در مـجـمـوعـهـىـ دورـبـينـهاـ بـاـ دـيـدـهـاـيـ مـخـتـلـفـ اـرـائـهـ شـدـهـ اـسـتـ كـهـ بـرـايـ مـدلـ کـرـدنـ دـيـنـامـيـكـ اـفـرادـ اـزـ يـكـ مـدلـ مـارـكـفـ اـسـتـفـادـهـ مـىـ نـمـاـيـدـ. يـكـىـ اـزـ کـارـهـاـيـ مـوـفـقـ در اـيـنـ زـمـينـهـ در [46] مـعـرـفـىـ شـدـهـ اـسـتـ. در اـيـنـ مـقـالـهـ اـزـ تـرـكـيبـ اـطـلاـعـاتـ زـمانـيـ و مـكـانـيـ بـهـ هـمـراـهـ وـيـزـگـىـ رـنـگـ وـ تـابـعـ اـنـتـقـالـ روـشـنـايـيـ بـرـايـ بـرـقـارـايـ اـرـتـبـاطـ بـيـنـ اـفـرادـ اـسـتـفـادـهـ شـدـهـ اـسـتـ. اـيـنـ دـسـتـهـ اـزـ تـحـقـيقـاتـ بـرـايـ موـاقـعـىـ منـاسـبـ مـىـ باـشـنـدـ كـهـ فـاـصـلـهـىـ بـيـنـ دورـبـينـهاـ كـمـ بـوـدـهـ وـ اـفـرادـ مـلـزـمـ بـهـ حـفـظـ وـضـعـيـتـ حـرـكـتـىـ خـودـ اـزـ جـمـلـهـ سـرـعـتـ وـ جـهـتـ حـرـكـتـ باـشـنـدـ. در صـورـتـىـ كـهـ اـفـرادـ بـيـنـ دـوـ دورـبـينـ مـكـثـ نـمـودـهـ وـ يـاـ حـرـكـتـ آـزادـانـهـىـ دـيـگـرـىـ اـنـجـامـ دـهـنـدـ سـيـسـتـمـ دـچـارـ اـخـتـلـالـ در تـشـخـيـصـ مـىـ گـرـددـ.

## ۴-۲- تـعـرـيفـ مـسـالـهـ

سيـسـتـمـيـ باـ rـ دورـبـينـ دـارـيمـ  $C_r, C_2, C_3, \dots, C_1$ ـ كـهـ فـضـاـيـ دـيـدـ آـنـهاـ باـ هـمـ هـمـپـوشـانـىـ نـدارـدـ. هـمـچـنـينـ فـرـضـ مـىـ نـمـاـيـمـ nـ شـىـ در مـحـيـطـ رـفـتـ وـ آـمـدـ مـىـ نـمـاـيـنـdـ  $P_1, P_2, P_3, \dots, P_n$ ـ (pـ تـعـدـادـ مـحـدـودـ اـماـ نـاـمـشـخـصـىـ مـىـ باـشـدـ). هـرـ يـكـ اـزـ اـيـنـ اـشـيـاـ در زـمانـهـاـيـ مـخـتـلـفـ توـسـطـ دورـبـينـهـاـيـ مـتـفـاوـتـىـ مشـاهـدهـ مـىـ گـرـدـنـدـ. اـگـرـ مـسـالـهـىـ رـدـيـابـيـ اـفـرادـ باـ اـسـتـفـادـهـ اـزـ يـكـ دورـبـينـ حلـ شـدـهـ باـشـدـ وـ نـتـيـجـهـىـ آـنـ مـىـ گـرـدـنـدـ. اـگـرـ مـسـالـهـىـ رـدـيـابـيـ اـفـرادـ باـ اـسـتـفـادـهـ اـزـ يـكـ دورـبـينـ حلـ شـدـهـ باـشـدـ وـ نـتـيـجـهـىـ آـنـ مـىـ گـرـدـنـدـ. مـجـمـوعـهـىـ  $m_j$ ـ مشـاهـدهـهـىـ درـيـافتـ شـدـهـ توـسـطـ دورـبـينـ  $J$ ـ باـشـدـ، مـىـ  $O_J = \{O_{J,1}, O_{J,2}, O_{J,3}, \dots, O_{J,m_j}\}$ ـ توـانـ مـجـمـوعـهـىـ  $O$ ـ رـاـ بـهـ عنـوانـ مـجـمـوعـهـىـ تمامـ مشـاهـدـاتـ درـيـافتـ شـدـهـ توـسـطـ دورـبـينـهـاـيـ مـخـتـلـفـ درـ نـظـرـ گـرـفتـ. هـرـ مشـاهـدـهـىـ  $O_{J,a}$ ـ توـسـطـ يـكـ شـىـ درـ زـمانـ خـاصـ وـ توـسـطـ يـكـ دورـبـينـ درـيـافتـ شـدـهـ اـسـتـ. هـرـ مشـاهـدـهـ شـامـلـ چـنـدـيـنـ وـيـزـگـىـ اـزـ جـمـلـهـ وـيـزـگـىـ ظـاهـرـىـ شـىـ ( $APP$  وـ  $ST$  وـ  $O_{J,a}$ )ـ

زمانی- مکانی ( شامل مکان ، سرعت حرکت ، زمان و ...) می باشد به گونه ای که ویژگی های موجود در هر مشاهده مستقل از هم در نظر گرفته می شوند. مساله‌ی رديابي با استفاده از چندين دوربین به دست آوردن مجموعه‌ای از مشاهدات می باشد به گونه‌ای که اين مشاهدات مربوط به يك فرد باشند [۲]. مساله‌ی گروه‌بندی مشاهدات را می‌توان به صورت مساله‌ی به دست آوردن زنجيره‌ی مشاهدات متوالی در نظر گرفت به گونه‌ای که مشاهده‌ی انجام پذيرفته توسط دوربین قبلی به مشاهده‌ی انجام پذيرفته توسط دوربین بعدی متصل گردد . خروجی سیستم، مسیر تردد هر يك از افراد در محیط می‌باشد. در اين پروژه سه شرط محدود کننده‌ی اساسی، شامل فاصله‌ی ناچیز بین دوربین‌ها، وجود توالی بین دوربین‌ها و التزام افراد به حفظ شرایط حرکتی در نظر گرفته نشده است. به اين معنی که فاصله‌ی بین دوربین‌ها می‌تواند قابل ملاحظه باشد. همچنین به دليل عدم وجود توالی بین دوربین‌ها، ناحیه‌ی ورود بعدی نيز مشخص نمی‌باشد. همچنین فرد می‌تواند به صورت آزادانه و بدون در نظر گرفتن اطلاعات حرکتی در محیط حرکت نموده، یا حتی مکث نماید. به دليل در نظر نگرفتن شرایط محدود کننده، عملاً پيش بینی زمان و مكان ورود فرد غیرممکن می‌باشد. بنابراین از  $(ST)_{J,a}$  که نشان دهنده‌ی ویژگی زمانی- مکانی شی (مکان ، سرعت حرکت ، زمان و ... ) می‌باشند، صرف‌نظر می‌نماییم.

### ۳-۴- ویژگی های قابل استفاده برای برقراری ارتباط بین مشاهدات

همانگونه که در بخش نخست این فصل اشاره شد، ظاهر افراد به عنوان بارزترین ویژگی برای تشخیص افراد و برقراری ارتباط بین مشاهدات مربوط به یک فرد مورد استفاده قرار می‌گیرد. در این بخش برخی از ویژگی‌های قابل استخراج از ظاهر افراد مورد بررسی قرار خواهد گرفت.

#### ۱-۳-۴- رنگ

رنگ، به عنوان یک ویژگی مهم در بینایی ماشین مطرح است که نمایش‌ها و تبدیلات فراوانی برای انجام کارهای متفاوت با آن ارائه شده است. این بخش نگاه اجمالی بر رنگ و فضاهای رنگی، به عنوان یک ویژگی برای برقراری ارتباط بین مشاهدات مختلف مربوط به افراد خواهد داشت. هدف از این بخش ارائه‌ی تمام فضاهای رنگی نبوده و تنها به معرفی فضاهای رنگی پرکاربرد در ریدیابی افراد و همچنین فضای رنگ استفاده شده در این پایان نامه پرداخته شده است.

در صورت انتخاب رنگ برای توصیف ظاهر افراد، معمولاً از هیستوگرام رنگ و یا ترکیبی از توزیع رنگ‌های غالب استفاده می‌شود. هیستوگرام فقط به توصیف توزیع کلی رنگ شئ می‌پردازد و از جزئیات مکانی و چیدمان رنگ‌ها صرف نظر می‌کند.

#### ۱) فضای رنگ RGB

RGB معمول‌ترین فضای رنگ برای استفاده در مانیتور و ذخیره‌سازی تصاویر است که قادر به نمایش ۱۶ میلیون رنگ می‌باشد. در این فضا، هر رنگ از ترکیب مقادیر سه رنگ اصلی قرمز، سبز و آبی به وجود می‌آیند. اگرچه فضای رنگ RGB برای نمایش تصاویر مناسب می‌باشد، اما از نظر مفهومی یکنواخت نمی‌باشد. به این معنی که تفاضل اقلیدسی در این فضای رنگ، با سیستم تفاوت رنگ‌ها در سیستم مفهومی انسان مرتبط نمی‌باشد. همچنین همبستگی زیادی بین ابعاد یک رنگ در فضای RGB وجود دارد. برخی محققان سعی نموده‌اند تا حد ممکن با استفاده از تبدیلاتی مشکلات

ذکر شده را رفع نمایند. يکی از ساده ترین اين تبدیلات، تبدیل رنگ نرمال RGB میباشد که از فرمول زير قابل محاسبه است.

$$r = \frac{R}{R+G+B}, g = \frac{G}{R+G+B}, b = \frac{B}{R+G+B} \quad (1-4)$$

### ب) فضای رنگ HSV

فضای رنگ HSV یک بازنمایی از نقاط در فضای RGB است که سعی می نماید در ضمن پایین نگه داشتن پیچیدگی محاسبات، ارتباط مفهومی رنگها را به صورت دقیقتری مدل نماید. این مدل تا حد زیادی شبیه به سیستم درک رنگ توسط انسانها می باشد. هر رنگ در این فضا توسط سه مولفه‌ی  $H^1$ ,  $S^1$ ,  $V^3$  نمایش داده می شود. H توصیف کننده‌ی رنگدانه یا رنگ خالص بوده (مانند زرد خالص یا قرمز خالص) و نوع رنگ را بر حسب درجه بیان می کند. S میزان اشباع رنگ است و نشان می دهد که یک رنگ خالص تا چه حد توسط نور یا رنگ سفید رقيق شده است. V نیز نشان دهنده‌ی مقدار یا میزان روشنایی رنگ می باشد. برای تبدیل مقدار یک رنگ از فضای RGB به فضای HSV از

فرمول های زير استفاده می شود:

$$Max = \max(R, G, B) \quad (2-4)$$

$$Min = \min(R, G, B)$$

$$C = (max - min)$$

$$V = Max \quad (3-4)$$

$$S = \frac{C}{M}$$

---

Hue <sup>۱</sup>  
Saturation <sup>۲</sup>  
Value <sup>۳</sup>

$$H' = \begin{cases} ((G - B) / C) \bmod 6 & , R = \max \\ 2.0 + (B - R) / C & , G = \max \\ 4.0 + (R - G) / C & , B = \max \end{cases} \quad (4-4)$$

$H = H' * 60$

### ت(فضای رنگ YCbCr

این فضای رنگی برای نمایش تصاویر ویدیویی دیجیتال و همچنین کاربردهایی مانند فشردهسازی مورد استفاده قرار می‌گیرد. در این فضای رنگی Y معرف روشنایی پیکسل بوده و Cr و Cb به ترتیب نشان دهنده تفاضل رنگ قرمز و آبی از رنگ مرجع می‌باشند. برای تبدیل مقدار یک رنگ از فضای RGB به فضای YCbCr از فرمول زیر استفاده می‌نماییم

$$\begin{bmatrix} Y \\ Cr \\ Cb \end{bmatrix} = \begin{bmatrix} 0.257 & 0.504 & 0.098 \\ 0.439 & -0.386 & 0.071 \\ -0.148 & -0.291 & 0.439 \end{bmatrix} \begin{bmatrix} R \\ G \\ B \end{bmatrix} \quad (5-4)$$

این فضای رنگی از چند جهت حائز اهمیت می‌باشد. اولاً در این فضا میزان روشنایی به صورت کامل از سایر مولفه‌ها جدا شده است. در حقیقت y شامل فرکانس‌های لازم برای یک نمایشگر سیاه و سفید را فراهم می‌نماید. از طرفی چون مقدار روشنایی از مقادیر Cr و Cb کم شده است، این دو مولفه تا حد زیادی نسبت به تغییرات روشنایی پایدار هستند.

### ۱-۳-۲- ویژگی‌های مستقل از تغییر مقیاس<sup>۱</sup>

ویژگی مستقل از تغییر مقیاس SIFT یکی از ویژگی‌های بسیار موفق در زمینه‌ی تشخیص اشیا می‌باشد که نسبت به تغییر مقیاس، انتقال، چرخش تصویر و تا حدودی نیز نسبت به تغییرات نور و تغییرات سه بعدی هندسی ثابت می‌باشند[۴۷]. در این روش ویژگی‌ها به صورت نقاط کلیدی تصویر مشخص می‌گردند. مزیت اصلی این روش نسبت به روش‌های ذکر شده پیشین در این است که

---

<sup>۱</sup> Scale Invariant Feature transform

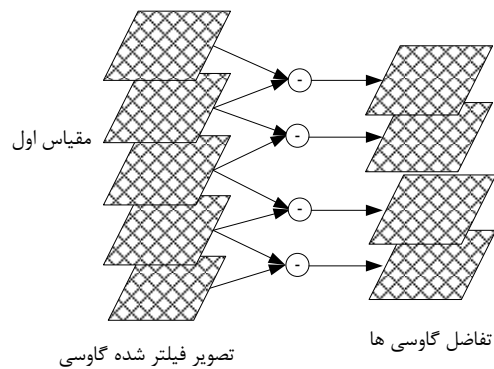
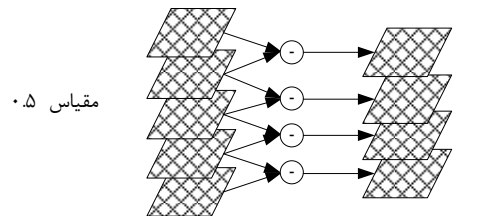
ویژگی‌های محلی تصویر در برابر تغییرات مقیاس مقاوم بوده و حساسیت کمتری نسبت به نور و تغییرات هندسی سه بعدی دارند.

فرايند محاسبه‌ی ویژگی‌های پايدار با استفاده از تابع  $\text{DOG}^1$  و هرم لابلائسین انجام می‌پذيرد. هر سطح هرم از تفاضل نمونه مات شده<sup>۲</sup> از نمونه اصلی تصویر(DOG) حاصل می‌گردد. سطوح بعدی هرم نيز به روش بالا ولی از تصاویر کوچک شده ايجاد می‌شود. اين فرايند در شكل ۱-۴ به نمايش درآمده است.

$$D(x, y, \delta) = (G(x, y, k\delta) - G(x, y, \delta)) I(x, y) \quad (6-4)$$

$$= L(x, y, k\delta) - L(x, y, \delta)$$

$$L(x, y, \delta) = \frac{1}{2\pi\delta^2} \text{Exp}\left(-\frac{x^2 + y^2}{2\delta^2}\right) * I(x, y) \quad (7-4)$$



شكل ۱-۴ : نحوه‌ی ايجاد هرم تفاضل گاوسی ها [۴۷]

<sup>۱</sup> Difference Of Gaussian

<sup>۲</sup> Blurred

با مقایسه هر نقطه‌ی نمونه در مقیاس فعلی با تمام همسایگی‌هایش در همان مقیاس (۸ همسایه سطح I، ۹ همسایه‌ی سطح i-1 و ۹ همسایه‌ی سطح i+1)، اکسترمم‌ها در هرم DOG آشکار می‌گردند.

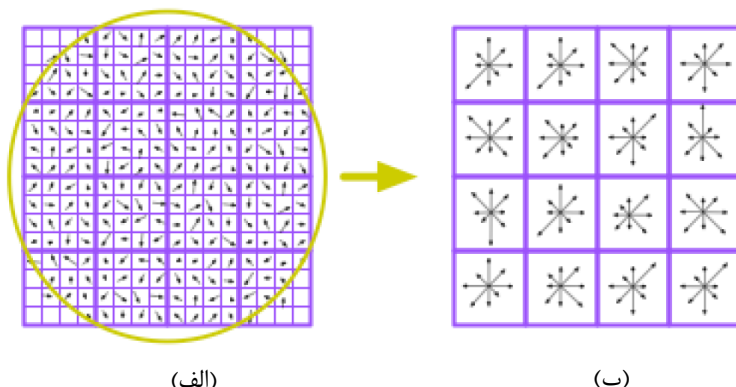
بعد از محاسبه‌ی نقاط کاندیدا، نقاطی که کنتراست پایینی داشته و نیز اکسترمم‌های واقع بر روی لبه‌ها حذف می‌گردد. این نقاط موجب ناپایداری کلیدهای تصویری می‌گردد. در مرحله‌ی بعد با استفاده از فرمول زیر برای هر یک از کلیدهای به دست آمده زاویه‌ی خاصی اختصاص داده می‌شود.

$$f_x(x,y) = L(x+1,y) - L(x-1,y), f_y(x,y) = L(x,y+1) - L(x,y-1) \quad (8-4)$$

$$m = \sqrt{f_x(x,y)^2 + f_y(x,y)^2} \quad (9-4)$$

$$\theta = \tan^{-1} \left( \frac{f_y(x,y)}{f_x(x,y)} \right) \quad (10-4)$$

در پایان برای هر نقطه‌ی کلیدی، توصیف‌کننده‌هایی محاسبه می‌گردد. این توصیف‌کننده یک آرایه‌ی ۱۲۸ تایی از شدت گرادیان نقاط پیرامون کلید می‌باشد. شکل ۲-۴ نحوه‌ی ایجاد توصیف‌کننده را نمایش می‌دهد.



شکل ۲-۴ نحوه‌ی تولید توصیف‌کننده برای نقاط کلیدی در ویژگی مستقل از مقیاس  
(الف) گرادیان در همسایگی نقطه‌ی کلیدی (ب) توصیف‌کننده

هر ويژگي SIFT بيانگر برداری از اندازه‌گيري‌های محلی تصویر می‌باشد به طوری که نسبت به انتقال تغيير مقیاس و چرخش ثابت بوده و در برابر تغييرات نور و تغيير شکل‌های محلی تصویر تقریباً ثابت می‌باشد. طبیعت محلی و چند مقیاسي بودن این ويژگی آن را نسبت به نویز، شلوغی و انسداد غیر حساس می‌سازد.

محققان در سالهای اخیر به دلیل ثبات این ويژگی نسبت به تغييرات روشنایی، چرخش و مقیاس اشیا، از آن در بسیاری از کاربردهای شناسائی اشیا استفاده کرده‌اند که منجر به نتایج بسیار خوبی گردیده است. به عنوان مثال کارهایی در زمینه‌ی تشخیص چهره، با استفاده از این ويژگی انجام شده است [۴۸]. برای تضمین نتیجه‌ی مناسب توسط این الگوریتم شرایطی نیز وجود دارد. اولین شرط ثابت ماندن شکل کلی نقاط متناظر در دو تصویر است، شبیه آنچه در نقاط مربوط به یک جسم صلب برقرار می‌باشد. نقاط متناظر موجود در بدن فرد بنا به ماهیت روان بودن و تغيير پذيری لباس افراد از این ويژگی برخوردار نمی‌باشد. همچنین وضوح و کیفیت تصویر دریافتی در سیستم‌های نظارتی در اغلب موارد پایین می‌باشد. استفاده از نمونه‌هایی با وضوح بالا با توجه به حجم بسیار بالای محاسبات انجام یافته در مراحل مختلف یک سیستم رديابي و ماهیت بیدرنگ و یا نزدیک به بیدرنگ سیستم‌های نظارتی عملاً غیرممکن می‌باشد. بیشتر سیستم‌های نظارتی موجود برای پیاده‌سازی الگوریتم خود از تصاویری با وضوح  $480*640$  و یا حداکثر  $320*240$  استفاده می‌نمایند. در نتایج حاصل از نمونه‌های استفاده شده در این پایان‌نامه، متوسط ابعاد یک فرد در نمونه‌ای که افراد نزدیک به دوربین حرکت می‌نمایند، از  $180*75$  تجاوز نمی‌نماید. حال آنکه برای تشکیل هرم تغييرات گاوسي به منظور تشخيص نقاط کلیدی، این الگوریتم تصاویر را تا سه مرتبه (در الگوریتم پیشنهاد شده در الگوریتم اصلی) تغيير سایز داده و کوچک‌تر می‌نماید. این عمل باعث از دست رفتن اغلب اطلاعات مفید و کم شدن تعداد نقاط کلیدی می‌گردد. در پیاده‌سازی‌هایی انجام پذيرفته در این پروژه، متوسط تعداد نقاط کلیدی برای هر فرد حدود ۷ نقطه‌ی کلیدی در تصویر مربوط به هر فرد به دست آمد. نسبت نقاط

کلیدی مربوط به یک فرد، که امکان انطباق داشتند، حتی در یک دوربین، بسیار کم و نزدیک به دو نقطه‌ی کلیدی بود. بنا به دلایل ذکر شده، استفاده از این ویژگی برای برقراری تناظر بین مشاهدات مروط به یک فرد مناسب نمی باشد. نتایج به دست آمده از آزمایشات نیز این امر را تایید می نمایند.

#### ۴-۴-۴- معیار های اندازه گیری شباهت

پس از استخراج ویژگی از مشاهدات به دست آمده از تصاویر، نیاز به معیاری برای مقایسه‌ی ویژگی‌های به دست آمده می باشد. معیار شباهت نقش بسزایی در کارائی سیستم دارد و بسته به نوع داده‌ها باید از معیار شباهت مناسب استفاده کرد. ساده‌ترین معیار فاصله، فاصله‌ی اقلیدسی می باشد. برای دو بردار  $p$  و  $q$  که از  $k$  جزء تشکیل شده است از رابطه‌ی زیر استفاده می شود.

$$e(Q, P) = \sum_{i=1}^k \sqrt{(q_i - p_i)^2} \quad (11-4)$$

معیار محاسبه‌ی دیگر ضریب واگرایی Kullback–Leibler می باشد. مقدار شباهت دو بردار از طریق رابطه‌ی زیر محاسبه می گردد.  $P$  عموماً نشان دهنده‌ی بردار ویژگی برای مقدار اصلی و  $Q$  نشان دهنده‌ی مقدار تخمین زده شده و یا تشخیص داده شده می باشد. یکی از معایب این روش غیر متقارن بودن آن می باشد.

$$k(Q, P) = \sum_{i=1}^k p_i \log \frac{p_i}{q_i} \quad (12-4)$$

تابع Jensen معیار مناسب دیگری است که می توان برای مقایسه‌ی دو بردار استفاده نمود. مقدار این تابع بین صفر و یک می باشد. برای دو بردار کاملاً یکسان، خروجی این تابع برابر با صفر و برای دو بردار کاملاً متفاوت عدد یک می باشد. این تابع از طریق روابط زیر به دست می آید.

$$j(p, q) = \frac{1}{2} \sum_{i=1}^k \{ P_i \log_2 P_i + Q_i \log_2 Q_i - (P_i + Q_i) \log_2 (P_i + Q_i) \} \quad (13-4)$$

$$P' = \sqrt{\sum_{i=1}^k p_i}, Q' = \sqrt{\sum_{i=1}^k q_i} \quad (14-4)$$

ضریب Bhattacharyya معیار دیگری است که برای مقایسه ی دو بردار نرمال(ماکزیمم مقدار یک) می توان از آن استفاده نمود. در حقیقت این ضریب مشخص کننده ی میزان همپوشانی دو نمونه ی آماری می باشد. اگر هیچ اشتراکی بین دو بردار نباشد، مقدار این ضریب صفر می گردد. این ضریب با استفاده از رابطه ی زیر به دست می آید.

$$BC(P, Q) = \sum_{i=1}^n \sqrt{\left( \sum p_i \cdot \sum q_i \right)} \quad (15-4)$$

معیار دیگر که با ضریب Bhattacharyya در ارتباط است، فاصله‌ی Hellinger که به صورت عکس ضریب Bhattacharyya در نظر گرفته می شود.

$$H(P, Q) = \sqrt{1 - BC(P, Q)} \quad (16-4)$$

## ۴-۵- ويزگي معرفی شده در پایان نامه

در بیشتر تحقیقات انجام پذیرفته، ویژگی‌های استخراج شده از ظاهر افراد برای تمیز بین اشیاء موجود در یک سیستم نظارتی استفاده شده است. رنگ و بافت دو ویژگی سطح پایین هستند که عموماً برای طبقه‌بندی اشیا مورد استفاده قرار می‌گیرند. همانگونه که در قسمت‌های قبل ذکر شد، رنگ، یک ویژگی بارز در توصیف ظاهر افراد می‌باشد. روش معمول برای مقایسه افراد با استفاده از رنگ، استخراج هیستوگرام رنگ و تطبیق آن در مشاهدات مختلف می‌باشد. هیستوگرام رنگ، تنها توزیع فراوانی مقدار رنگ را اندازه‌گیری نموده و از اطلاعات مکانی مقادیر رنگ صرفنظر می‌نماید. همچنین به دلیل حساسیت رنگ نسبت به نور سیستم ریدیابی با استفاده از هیستوگرام رنگ، کارائی پایینی خواهد داشت. در مقابل بافت تصویر یک شیء با صرفنظر کردن از اطلاعات رنگی، سعی در توصیف ویژگی‌های مکانی شیء می‌نماید. ماتریس هم جواری سطح خاکستری<sup>۱</sup> یک روش شناخته شده برای استخراج بافت شکل می‌باشد.<sup>[۴۹]</sup>

در این پایان نامه، یک ویژگی جدید برای برقراری ارتباط بین مشاهدات مربوط به افراد پیشنهاد شده است. اساس کار الگوریتم پیشنهادی، استخراج بردار ویژگی از ماتریس همرخداد<sup>۲</sup> رنگ در فضای YCbCr می‌باشد. بردار ویژگی معرفی شده علاوه بر استفاده از اطلاعات رنگ، تا حدی از اطلاعات بافت تصویر نیز بهره می‌گیرد. این ویژگی به چند دلیل نسبت به هیستوگرام رنگ دارای ثبات بیشتری می‌باشد. اولاً استفاده از ماتریس هم رخداد با شمارش مقادیر رنگ پیکسل‌های هم‌جوار، علاوه بر فراوانی مقادیر رنگ، تا حدی اطلاعات مکانی آنها را نیز در نظر می‌گیرد. برای غلبه بر مشکل حساسیت رنگ به نور ابتدا تصویر از فضای رنگ RGB به فضای رنگ YCbCr تبدیل شده است. همانگونه که در بخش فضاهای رنگی اشاره شد، فضای رنگی YCbCr به دلیل جداسازی مولفه-

Gray Level Co-Occurrence Matrix<sup>۱</sup>  
Co-occurrence Matrix<sup>۲</sup>

ى روشنایی، نسبت به تغییرات نور، دارای ثبات بیشتری از توصیف زنگی RGB می باشد. در ادامه ی این فصل ابتدا ماتریس هم‌جواری معرفی شده و سپس نحوه استخراج بردار ویژگی توضیح داده می شود.

#### ۱-۵-۴- ماتریس هم‌رخداد

ماتریس هم رخداد، مشخص کنندهٔ فراوانی رخداد مقادیر خاکستری دو پیکسل وابسته از تصویر است که در فاصله و جهت بخصوصی از یکدیگر قرار گرفته‌اند. ماتریس هم‌رخداد  $G_{ij}$  ماتریس مربعی است که مقدار عنصر  $I_j, I_i$  آن، نشان‌دهندهٔ فرکانس نسبی رخداد دو پیکسل در فاصله و زاویهٔ خاص، یکی با شدت خاکستری  $i$  و دیگری با شدت خاکستری  $j$  می‌باشند<sup>[۵۰]</sup>. زاویه‌های ممکن بین دو پیکسل  $0^\circ, 45^\circ, 90^\circ$  و  $135^\circ$  درجه می‌باشد. تعداد سطوح شدت ممکن در تصویر، مشخص کنندهٔ ابعاد ماتریس G می‌باشد. برای تصویر ۸ بیتی، اندازه G برابر  $256 \times 256$  خواهد بود. به‌منظور کاهش بار محاسباتی و همچنین تا حدی از بین اثر نور، از کمی کردن شدت<sup>۱</sup> رنگ استفاده می‌شود. از ماتریس هم رخداد عموماً برای مشخص نمودن اطلاعات بافتی استفاده می‌شود. در [۵۱، ۱۴] ویژگی از جمله همبستگی، کنتراست، یکنواختی و آنتروپی، بر اساس مقادیر این ماتریس تعریف شده است. مزیت استفاده از ماتریس هم‌رخداد برای نمایش بافت تصویر، این است که تا اندازه‌ای موقعیت مکانی پیکسل‌ها نیز در نظر گرفته می‌شود.

#### ۴-۶- استخراج ویژگی

ماتریس هم‌رخداد سطح خاکستری، اطلاعات رنگی شی را نادیده می‌گیرد. ویژگی تعریف شده در این پایان نامه یک ماتریس هم‌رخداد به صورت جداگانه برای هر یک مولفه‌های رنگی Y, Cb, Cr محاسبه می‌گردد. همانگونه که در شکل ۳-۴ نشان داده شده است، ماتریس هم رخداد یک ماتریس

<sup>۱</sup> Quantization

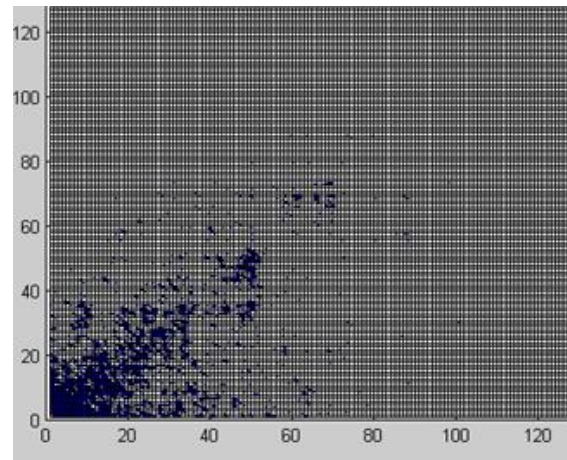
مربعی است که برای افراد بیشتر مقادیر آن صفر و یا بسیار کوچک هستند. با توجه در اشکال می‌توان دریافت که مقادیر این ماتریس با دور شدن از قطر اصلی به صفر میل می‌نماید. هر چه تصویر دارای تعداد رنگهای بیشتری باشد که به صورت تصادفی توزیع شده باشند، احتمال یکنواخت بودن ماتریس هم‌جواری بیشتر خواهد بود. در مقابل هرچه تعداد رنگ‌های یک تصویر کمتر بوده و پیکسل‌های یکرنگ در یک ناحیه باشند، مقادیر ماتریس هم‌جواری متنمايل به قطر اصلی خواهد بود.

از آنجایی که پوشش افراد معمولاً از تعداد محدودی رنگ تشکیل شده است که به صورت یکنواخت پراکنده شده است، بنابراین مقادیر غیر صفر ماتریس هم‌رخداد، برای تصاویر استخراج شده از افراد حول قطر اصلی پراکنده شده‌اند. می‌توان از سایر مقادیر ماتریس صرف‌نظر نموده و عناصر روی قطر اصلی را به عنوان ویژگی مناسب برای مقایسهٔ مشاهدات در نظر گرفت.

پس از محاسبهٔ بردار مربوط به مقادیر قطر اصلی ماتریس هم‌جواری، برای از بین بردن تاثیرات اندازه‌ی تصویر، آن را به وسیله‌ی تقسیم مقادیر آن بر مقدار بیشینه‌ی بردار، نرمال می‌نماییم. نتیجه برداری است که همواره مقدار ماکزیمم آن یک است. پس از نرمال‌سازی برای بهبود کارائی، توزیع به دست آمده را تبدیل به توزیع تجمعی می‌نماییم. شکل ۴-۴ نشان دهندهٔ بردارهای به دست آمده برای نمونه‌های موجود می‌باشد.



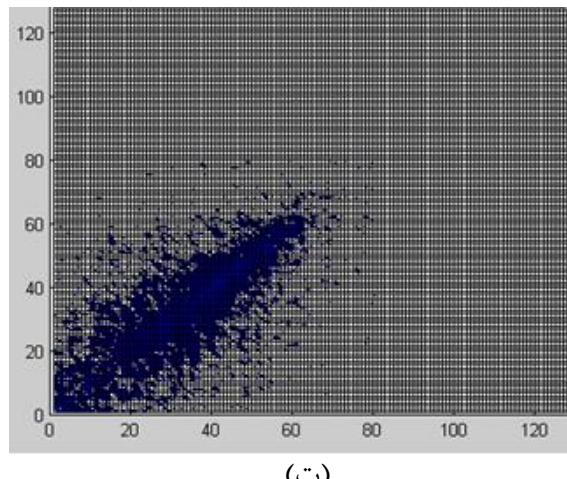
(الف)



(ب)



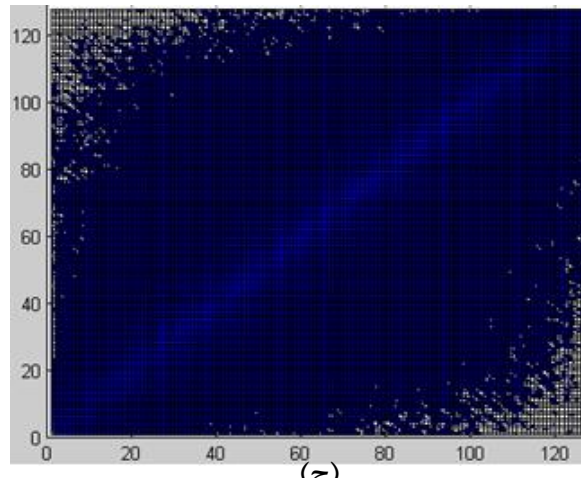
(پ)



(ت)



(ث)

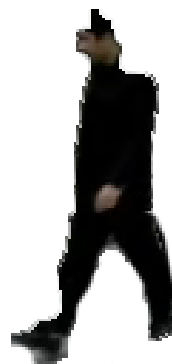


(ج)

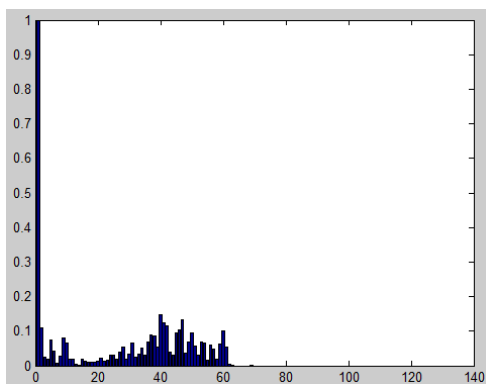
شکل ۴-۴ تصاویری با بافت های مختلف و ماتریس هم رخداد متناظر آنها



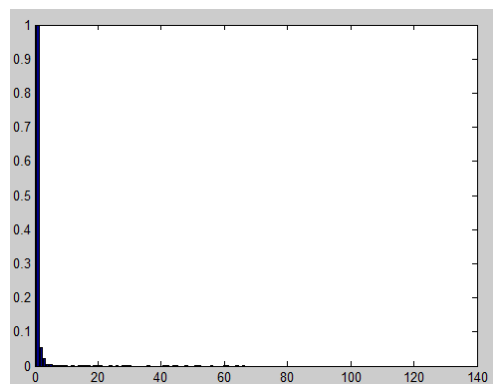
(الف)



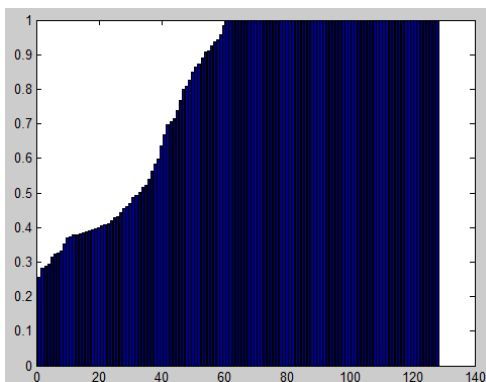
(ب)



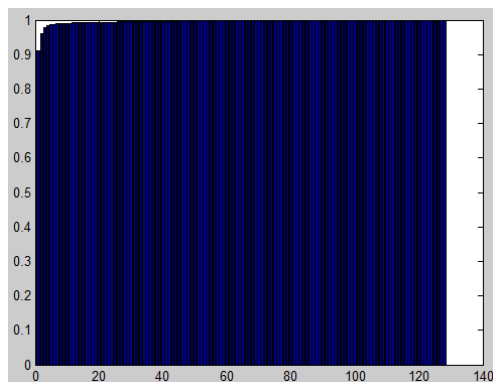
(پ)



(ت)



(ث)

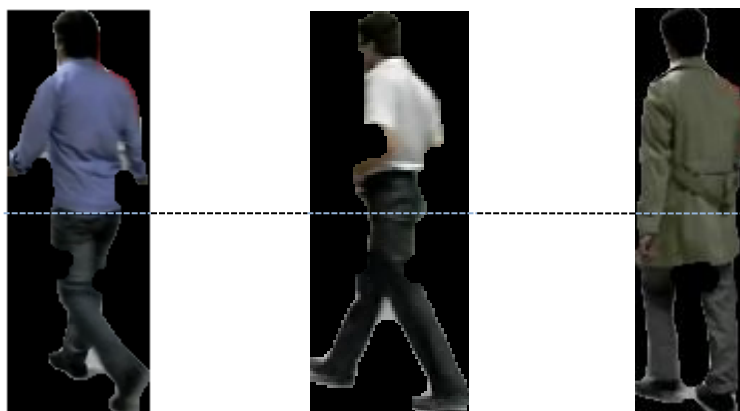


(ج)

شکل ۴-۴ تصویر دو فرد و بردار های به دست آمده با استفاده از روش پیشنهادی

## ۷-۴- بهبود کارایی با تقسیم ظاهر افراد به چند قسمت

پوشش افراد را می‌توان به قسمت‌های سر، بالا تنہ و پایین تنہ تقسیم نمود. افراد می‌توانند برای هر یک از این قسمت‌ها از پوشش‌های متنوعی استفاده نمایند. در برخی از موارد ترکیب‌های مختلف می‌توانند منجر به تولید هیستوگرام یکسانی گردند. به عنوان مثال فردی با پیراهن سفید و شلوار مشکی، تقریباً دارای هیستوگرامی شبیه به فردی با شلوار سفید و پیراهن مشکی می‌باشد. این قضیه در مورد ویژگی معرفی شده در این پایان نامه نیز تا حد زیادی صادق می‌باشد. از این رو می‌توان کارایی سیستم را با استفاده از تقسیم ظاهر فرد به چند بخش بهبود داد. در سیستم ریدیابی پیشنهاد شده ظاهر افراد به دو قسمت بالاتنہ و پایین تنہ تقسیم شده و ویژگی‌های به دست آمده به طور محلی با هم مقایسه شده و نتیجه از ترکیب نتایج محلی به دست می‌آید. نیمه‌ی بالای شکل به عنوان بالاتنہ و نیمه‌ی پایین به عنوان پایین تنہ در نظر گرفته شده است. به دلیل اندازه‌ی کوچک تصویر مربوط به هر فرد و همچنین وضوح پایین دوربین‌ها از تقسیم قسمت سر صرفنظر شده و این بخش به عنوان قسمتی از بخش بالاتنہ در نظر گرفته شده است. شکل ۵-۴ محدوده‌ی هر قسمت را نمایش می‌دهد.



شکل ۵-۴ محدوده‌ی تقسیم ظاهر افراد

## ۸-۴- تطبيق ویژگی ها

ویژگی های تعریف شده در منطقه‌ی ورود و خروج محاسبه شده و در پایگاه داده ذخیره می‌شوند.

هنگامی که فردی در ناحیه‌ی ورود یک دوربین قرار می‌گیرد، ویژگی های آن استخراج شده و با ویژگی های موجود در پایگاه داده مقایسه می‌گردد. در صورتی که سیستم بتواند ویژگی جدید را با یکی از مقادیر موجود تطبیق دهد، اطلاعات فرد مربوطه شامل برچسب و شماره‌ی دوربین قبلی در پایگاه داده بروز رسانی می‌گردد. معیار های ویژگی متنوعی وجود دارند که برخی از آنها در بخش ۴-۴ معرفی شده‌اند. نتایج نشان می‌دهد فاصله‌ی جنسن کارامد ترین معیار برای ویژگی معرفی شده در این پایان نامه می‌باشد.

## ۹-۴- نتیجه گیری

در این بخش ابتدا تعریف کلی از مساله ارائه شده و برخی از راه حل های موجود برای حل مساله‌ی رديابي افراد در شبکه‌ای از دوربین ها با دیدهای مجزا مطرح گردید. سپس رنگ به عنوان یکی از مهمترین ویژگی های موجود برای رديابي افراد مطرح شده و برخی از فضاهای رنگی مورد بررسی قرار گرفت. به منظور تعیین معیاری برای مشابهت دو ویژگی، برخی از روش های موجود مطرح شد.

سپس، ویژگی جدیدی معرفی گردید که دارای ثبات بیشتری نسبت به ویژگی های استخراج شده از هیستوگرام رنگ دارد. این ویژگی عناصر قطره‌ای اصلی ماتریس هم جواری را استخراج نموده و پس از نرمال سازی به یک توزیع تجمعی تبدیل می‌نماید. در نهایت به منظور بالا بردن کارایی، تغییرات جزئی اعمال شده در الگوریتم توضیح داده شد.

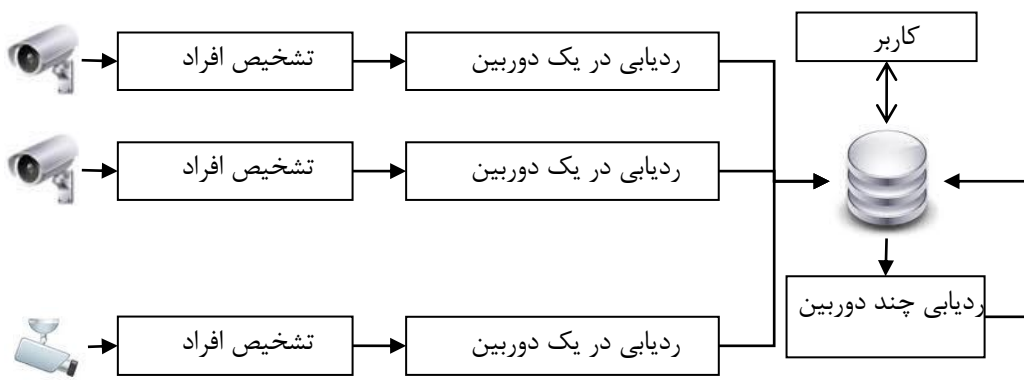
## فصل ۵: پیاده سازی سیستم و نتایج حاصله

این فصل به بررسی پیاده سازی های انجام شده از مباحث و مفاهیم ارائه شده تا کنون و نتایج حاصل از آنها خواهد پرداخت. تمرکز این فصل بیشتر بر روی ویژگی تعریف شده در این پایان نامه، نتایج حاصل از آن و نحوه‌ی تاثیرگذاری پارامتر های آن می باشد. بدین منظور پایگاه داده‌ی جمع آوری شده در این پایان نامه معرفی شده و نتایج حاصل از ارائه‌ی الگوریتم بر روی پایگاه داده تجزیه و تحلیل خواهند شد.

در این فصل به ارائه نتایج و مشاهدات حاصل از پیاده سازی مفاهیم ارائه شده در فصل های قبلی پرداخته شده است. در ابتدای فصل توصیف کلی از سیستم پیاده سازی شده ارائه شده و در ادامه پایگاه داده ویدئویی معرفی خواهد شد. در نهایت نتایج حاصل از الگوریتمها مورد بررسی قرار خواهد گرفت.

### ۱-۵- توصیف کلی سیستم پیاده سازی شده

**Error! Reference source not found.** ساختار سیستم پیشنهاد شده در نشان داده شده است. این سیستم از سه زیر سیستم مجزا تشکیل شده است. ردیابی در هر دوربین به صورت مستقل انجام شده و نتایج به دست آمده در قالب یک ساختمان داده‌ی استاندارد در پایگاه داده ذخیره می‌شوند. سپس زیر سیستم ردیابی افراد در چند دوربین با استفاده از اطلاعات موجود در پایگاه داده، ارتباط بین مشاهدات و رویدادهای اتفاق افتاده در دوربین های مختلف را برقرار می نماید.



شکل ۱-۵ ساختار سیستم ردیابی پیشنهاد شده و زیر سیستم های آن

سیستم پیشنهاد شده از یک پایگاه داده برای ذخیره رویدادها تشکیل شده است. رویدادهای سیستم را می‌توان به سه دسته‌ی ورود، خروج و تغییر مکان تقسیم‌بندی کرد. معمول‌ترین رویداد، حرکت فرد در محیط دید یک دوربین است. ردیابی افراد در هر یک از دوربین ها به صورت مستقل

انجام گرفته و حرکات افراد به همراه جزئیات آن<sup>۱</sup>، در قالب یک ساختمان داده‌ی استاندارد در پایگاه داده‌ی سیستم ذخیره می‌گردد. هنگام خروج فرد از محیط دید یک دوربین، ویژگی‌های لازم برای شناسایی در مرحله‌ی بعد شناسایی شده و ذخیره می‌گردد. با ورود یک فرد به محیط دید دوربین، سیستم، ویژگی‌های به دست آمده از فرد را با رکوردهای مربوط به خروج افراد، مقایسه نموده و در صورت تطابق، اطلاعات فرد مورد نظر در پایگاهداده را بروز رسانی می‌نماید. سیستم پیاده‌سازی شده قابلیت دریافت پرس‌وجوهای<sup>۲</sup> مختلف را داشته و خط سیر کلی افراد در مجموعه‌ی دوربین‌ها را بر اساس پارامترهای داده شده تولید می‌نماید.

#### ۱-۱-۵- زیر سیستم تشخیص و جدا سازی افراد

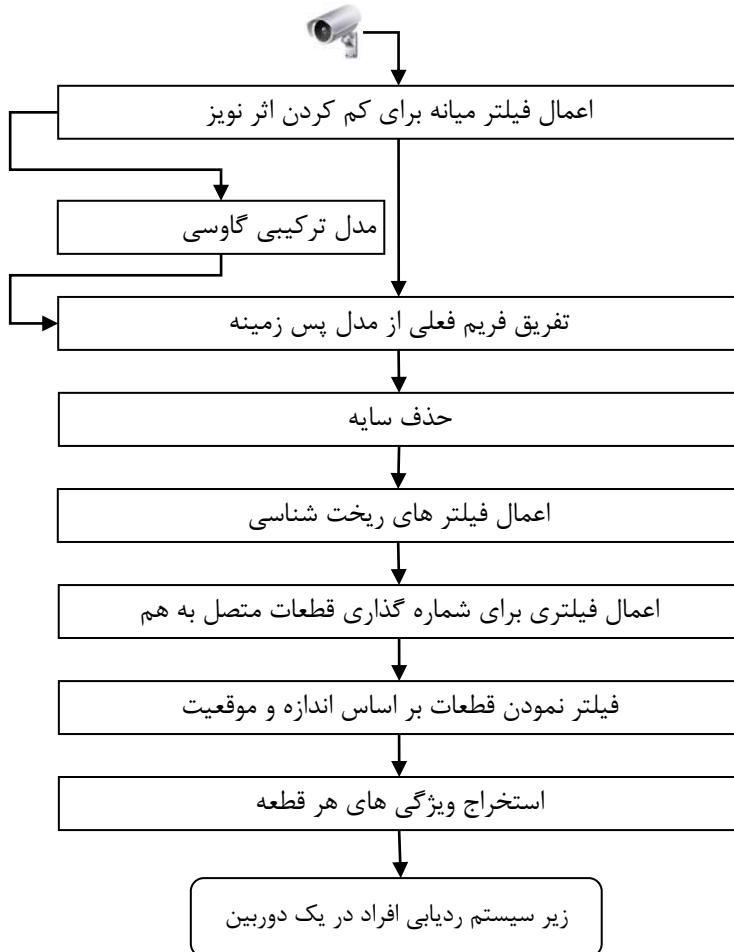
این زیر سیستم برای آشکار سازی افراد در محیط از تفاضل فریم فعلی از مدل زمینه استفاده می‌نماید. مدل زمینه با استفاده از مدل ترکیبی گاوی ایجاد و در هر مرحله بروز رسانی می‌گردد. پس از آشکار سازی اهداف، پردازش هایی برای حذف نویز و سایه انجام می‌پذیرد. در مرحله‌ی بعد، مولفه‌های متصل شماره گذاری شده و سپس بر اساس اندازه فیلتر می‌شوند. اگراندازه‌ی آنها از حد آستانه بزرگتر بودند، ویژگی‌های آنها استخراج شده و به زیر سیستم ردیابی در یک دوربین ارسال می‌گردد. شکل ۲-۵ شمای کلی این زیر سیستم را نشان می‌دهد.

#### ۲-۱-۵- زیر سیستم ردیابی افراد در یک دوربین

این زیرسیستم با دریافت اطلاعات سطح پایین از زیر سیستم آشکار سازی افراد، با استفاده از فیلتر کالمن و ردیابی فرضیات چندگانه، افراد را در تک تک دوربین‌ها ردیابی می‌نماید. تنها اطلاعات لازم برای فیلتر کالمن در روش پیاده‌سازی شده، از اطلاعات زمانی و مکانی می‌باشند. موقعیت جسم،

---

<sup>۱</sup> جزئیات فرد شامل یک شماره‌ی منحصر به فرد، اطلاعات زمانی/ مکانی و اطلاعات ظاهری فرد می‌باشد.  
<sup>۲</sup> Query



شکل ۲-۵ زیرسیستم آشکار سازی اهداف

سرعت در راستای افقی و عمودی و اندازه‌ی شی ویژگی‌هایی هستند که می‌توانند در ماتریس  
حالت شی تاثیر بگذارند. برای برقراری ارتباط بین فرضیات موجود با مشاهدات دریافت شده، از یک  
تابع هزینه به همراه الگوریتم<sup>۱</sup> SMM استفاده شده است. در صورتی که یک شی جدید با یکی از  
فرضیات موجود تطبیق داده شد، مشخصات آن فرضیه (ماتریس حالت و پارامترهای فیلتر کالمن)  
بروزرسانی می‌گردد. در صورتی که یک شی با فرضیات موجود منطبق نشود حالات متفاوتی قابل  
بررسی است. اولین حالت این است که واقعاً یک شی جدید وارد سیستم شده است. دومین حالت می‌  
تواند ناشی از چند تکه شدن تصویر یک فرد به دلیل خطأ در قطعه بندی تصویر باشد و در سومین

Stable Marriage Matching<sup>۱</sup>

حال ممکن است یک شی که قبلاً با شی دیگر همپوشانی داشته دوباره ظاهر شده باشد. برای تشخیص حالت درست از یک تابع وزن‌دهی استفاده می‌شود که با استفاده از داده‌های موجود در پایگاه داده و دانش اولیه، به هر یک از حالات وزنی را اختصاص می‌دهد. به عنوان مثال هر چه شی در مجاورت مرز های تصویر باشد، احتمال جدید بودن شی بیشتر می‌باشد.

در هر واحد زمانی، تمام اتفاقات رخ داده در قالب ساختمان داده‌ی استاندارد در پایگاه داده ذخیره می‌گردند. ذخیره‌ها در پایگاه داده موجب کاهش پردازش‌های لازم برای تجزیه و تحلیل های بعدی و همچنین کاهش حجم داده‌ی ذخیره شده می‌گردد.

هنگامی که فرد از نواحی خروجی سیستم عبور می‌نماید، سیستم ویژگی‌های مربوط به شی را استخراج نموده و در قالب رویداد خروج در پایگاه داده ذخیره می‌نماید. این اطلاعات در مرحله‌ی برقراری ارتباط بین مشاهدات در شبکه‌ی دوربین‌ها مورد استفاده قرار خواهد گرفت.

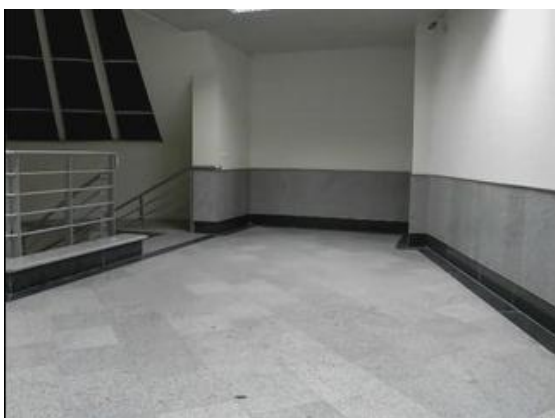
### ۳-۱-۵- زیر سیستم برقراری ارتباط بین مشاهدات و ردیابی در چند دوربین

هنگامی که فردی در ناحیه‌ی ورود یک دوربین قرار می‌گیرد، ویژگی معرفی شده در فصل چهارم برای تصویر آن استخراج شده و با ویژگی‌های موجود در پایگاه داده مقایسه می‌گردد. در صورتی که سیستم بتواند ویژگی جدید را با یکی از مقادیر موجود تطبیق دهد، اطلاعات فرد مربوطه شامل برچسب و شماره‌ی دوربین قبلی در پایگاه داده بروزرسانی می‌گردد. در غیراینصورت به عنوان یک شی جدید در سیستم با آن رفتار خواهد شد. معیار شبهایت جنسن در این زیر سیستم برای برقراری ارتباط بین مشاهدات مورد استفاده قرار می‌گیرد.

## ۲-۵- مجموعه داده

به دلیل عدم وجود پایگاه داده‌ی استاندارد<sup>۱</sup>، برای بررسی کارائی الگوریتم ارائه شده در این پایان نامه، چند مجموعه‌ی ویدئویی ضبط و گردآوری شده است. اولین مجموعه شامل پنج دوربین می‌باشد که پنج فرد در آن در حال رفت و آمد هستند. این ویدئوها از ساختمان مرکزی آزمایشگاه‌ها در دانشگاه صنعتی شاهرود جمع‌آوری شده است. این ساختمان از پنج طبقه تشکیل شده است که دوربین‌ها در سه طبقه‌ی آن واقع هستند. شکل ۳-۵ نواحی دید این دوربین‌ها را نمایش می‌دهد. در این مجموعه پیچیدگی‌های معمول برای یک سیستم نظارتی برای اماکن در نظر گرفته شده است. افراد در این مجموعه محدود به حرکت در یک مسیر خاص نبوده و می‌توانند در جهات مختلف در محیط حرکت کنند. الزامی به حفظ حالات حرکتی افراد وجود ندارد و افراد در بعضی از موارد با ترتیب‌های کاملاً متفاوت با خروج از یک دوربین، وارد دوربین بعدی می‌شوند. اندازه‌ی افراد در محدوده‌ی دید دوربین‌ها می‌تواند متغیر باشد. شرایط نوری در تمام محدوده‌ی بعضی از دوربین‌ها یکسان نیست. همچنین به خاطر جنس کف محدوده‌ی دید دوربین که از سنگ گرانیت می‌باشد، تصویر فرد تا حدی بازتاب دارد که باعث پیچیدگی در جداسازی افراد می‌گردد. سایه نیز یکی از عواملی است که بر پیچیدگی‌های صحنه می‌افزاید. در هر لحظه بیش از یک فرد در صحنه وجود دارد و در بعضی نقاط بین افراد هم پوشانی به وجود می‌آید.

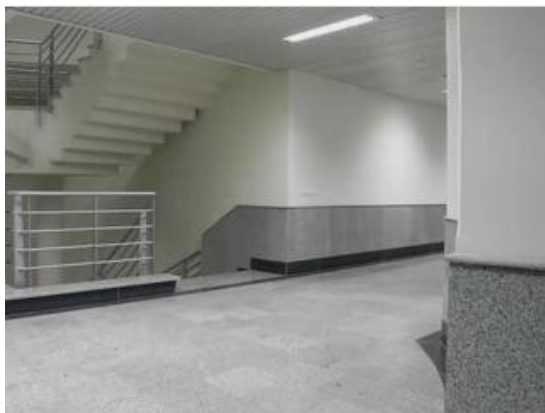
<sup>۱</sup> مجموعه داده‌های مشترکی برای ردیابی افراد در اینترنت وجود دارد که محققان برای مقایسه‌ی کارائی الگوریتم های خود می‌توانند از آنها استفاده نمایند. مجموعه تصاویر PETS و مجموعه داده‌های Etiseo از جمله‌ی مشهورترین این منابع هستند. تنها مجموعه داده موجود برای ردیابی افراد در شبکه‌ای از دوربین‌ها با دیدهای متفاوت، مجموعه TERRASCOPE [۵۲] متعلق به دانشگاه کنتاکی بود که به دلیل پایان پژوهه‌ی تعریف شده در این دانشگاه، دیگر در دسترس نمی‌باشد.



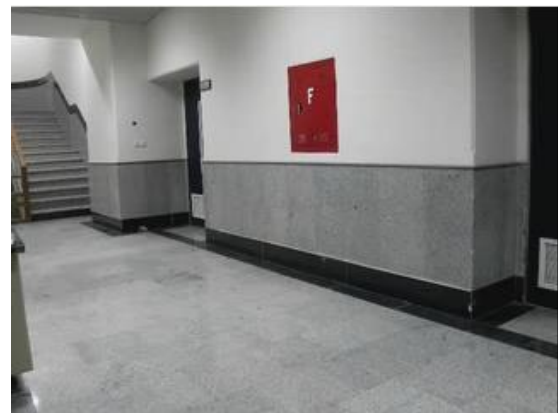
(ب)



(الف)



(ت)



(پ)



(ث)

شکل ۳-۵: نمای دوربین های نصب شده در ساختمان برای جمع آوری پایگاه داده (الف) دوربین ۱، طبقه ۴ (ب) دوربین طبقه ۴ (پ) دوربین ۳، طبقه ۳ (ت) دوربین ۴، طبقه ۳ (ث) دوربین ۵، طبقه ۲

در شکل ۶-۶ تصویر به دست آمده از پنج نفر در پنج دوربین مختلف در این مجموعه داده نمایش داده شده است. داده‌های موجود در این پایگاه داده از چند جهت دارای پیچیدگی می‌باشند. همانگونه که در تصاویر قابل مشاهده می‌باشد، تصویر مربوط به افراد دارای ابعاد متفاوتی می‌باشند. بدین معنی که برخی از آنها دور از دوربین و برخی دیگر در نزدیکی دوربین ضبط شده‌اند. تصاویر از زوایای مختلفی ضبط شده اند. برخی از تصاویر رو به دوربین و برخی دیگر پشت به دوربین می‌باشند. به این معنی که افراد می‌توانند از جهات مختلف وارد محیط دید دوربین شوند. افراد می‌توانند در برخی از دوربین‌ها حضور نداشته باشند. به عنوان مثال فرد ۵ در دوربین ۱ حاضر نشده است. پیچیدگی دیگری که در پایگاه داده وجود دارد، عوامل مخدوش کننده‌ی تصویر یک شخص می‌باشند. سایه‌ی اشخاص تا حد زیادی توسط الگوریتم ارائه شده در فصل دوم رفع شده است، با این وجود در برخی از تصاویر، سایه تا حدّی وجود دارد (تصویر فرد ۵ دوربین ۳). همچنین در برخی از تصاویر (مانند تصویر فرد ۱ در دوربین ۴)، بخش‌هایی از زمینه به عنوان تصویر فرد تشخیص داده شده است. برخی از تصاویر موجود در پایگاه داده نیز به صورت ناقص تشخیص داده شده‌اند. تشخیص نادرست افراد می‌تواند به دلیل چند تکه‌شدن تصویر فرد (تصویر فرد ۲ در دوربین ۱) و یا کنتراست پایین تصویر فرد و زمینه (تصویر فرد ۳ در دوربین ۲) باشد. همچنین همانگونه که به وضوح قابل مشاهده می‌باشد، تصاویر در شرایط نوری متفاوت جمع‌آوری شده‌اند.

مجموعه‌ی دوم شامل سه دوربین در آزمایشگاه‌های سیستم عامل و مدار الکترونیکی است که دو دوربین در آزمایشگاه سیستم عامل و یک دوربین دیگر در آزمایشگاه مدار الکترونیکی قرار دارد. این مجموعه نیز شامل پنج فرد است. این مجموعه شامل پیچیدگی‌های کمتری از لحاظ اندازه‌ی افراد می‌باشد؛ در مقابل هم پوشانی بین افراد در این مجموعه بیشتر از مجموعه‌ی اول می‌باشد.

جدول ۱-۵ تصاویر به دست آمده از افراد در هر یک از دوربین ها

دوربین ۵	دوربین ۴	دوربین ۳	دوربین ۲	دوربین ۱	
					فرد ۱
					فرد ۲
					فرد ۳
					فرد ۴
					فرد ۵

استفاده از الگوریتم معرفی شده در این پایان‌نامه منجر به ۷۹٪ تشخیص صحیح در مجموعه‌ی اول (در مقابل ۵۱٪ برای هیستوگرام رنگ) و ۹۲٪ تشخیص صحیح در مجموعه‌ی دوم (در مقابل ۶۷٪ برای هیستوگرام رنگ) گردید. برای محاسبه‌ی دقت الگوریتم، بدترین حالت ممکن در نظر گرفته شده است. به این معنی که فرض شده است تمام دوربین‌ها با هم در ارتباط بوده و افراد پس از خروج از یک دوربین می‌توانند در فضای دید هر دوربین دیگری قرار گیرند. میزان شباهت با استفاده از مقایسه‌ی تمام تصاویر موجود در پایگاه داده با تصویر فعلی محاسبه شده و در یک جدول ذخیره می‌گردد. عدد به دست آمده برای تمام نمونه تصویرهای مربوط به یک فرد، باید از عدد به دست آمده برای تصاویر مربوط به سایر افراد کوچکتر باشد. اگر تنها در یک مورد عدد به دست آمده برای نمونه‌های فرد دیگر، بیشتر از مقدار عدد به دست آمده برای نمونه‌های مربوط به فرد باشد، خطای برای آن مورد به حساب خواهد آمد. همانگونه که ذکر شد، این خطای بدترین حالت ممکن می‌باشد و در عمل بسیاری از ترکیب‌ها به دلیل توپولوژی سیستم و یا تشخیص‌های قبلی امکان‌پذیر نمی‌باشند. اما برای بررسی نتایج ممکن در شرایط سختگیرانه و بدون محدودیت، دقت الگوریتم با استفاده از روش ذکر شده محاسبه شده است. نحوه‌ی محاسبه برای یکی از آزمایشات در جداول ۱-۵ تا ۳-۵ نمایش داده شده است. در این جداول، مقادیری که با رنگ قرمز مشخص شده‌اند، نشان‌دهنده‌ی مقایسه‌ی تصاویر مربوط به یک فرد می‌باشند. مقادیر سفید، مربوط به نتیجه‌ی مقایسه‌ی تصویر یک فرد با تصاویر سایر افراد می‌باشند که به درستی تشخیص داده شده‌اند. خانه‌های زرد رنگ نشان دهنده‌ی شرایطی می‌باشند که تصویر فرد A با تصویر فرد دیگری مقایسه شده و تفاوت کمتری از حداقل تفاوت بین تصاویر مربوط به فرد A داشته و بنابراین یک تشخیص غلط می‌باشد. علامت اختصاری p نشان دهنده‌ی فرد و علامت اختصاری c نشان دهنده‌ی دوربین در جداول زیر می‌باشد.

جدول ۲-۵ مقایسه‌ی تصاویر مربوط به فرد او ۲ با تصاویر موجود در پایگاه داده و نتایج حاصله

p2-C5	p2-C4	p2-C3	p2-C2	p2-C1	p1-C5	p1-C4	p1-C3	p1-C2	p1-C1	
۰۰۵۷	۰۰۸۰	۰۰۶۲	۰۰۷۰	۰۱۱۲	۰۰۰۱	۰۰۰۲	۰۰۰۱	۰۰۰۵	۰۰۰۳	p1-C1
۰۰۴۳	۰۰۶۲	۰۰۴۸	۰۰۵۶	۰۰۹۵	۰۰۰۳	۰۰۰۳	۰۰۰۶	۰۰۰۰	۰۰۰۵	p1-C2
۰۰۵۹	۰۰۸۱	۰۰۶۳	۰۰۷۱	۰۱۱۵	۰۰۰۳	۰۰۰۱	۰۰۰۰	۰۰۰۶	۰۰۰۱	p1-C3
۰۰۵۱	۰۰۷۲	۰۰۵۵	۰۰۶۴	۰۱۰۶	۰۰۰۲	۰۰۰۰	۰۰۰۱	۰۰۰۳	۰۰۰۲	p1-C4
۰۰۵۰	۰۰۷۱	۰۰۵۶	۰۰۶۳	۰۱۰۳	۰۰۰۰	۰۰۰۲	۰۰۰۳	۰۰۰۳	۰۰۰۱	p1-C5
۰۰۱۷	۰۰۰۹	۰۰۱۷	۰۰۱۴	۰۰۰۰	۰۱۰۳	۰۱۰۶	۰۱۱۵	۰۰۹۵	۰۱۱۲	p2-C1
۰۰۰۷	۰۰۰۹	۰۰۱۰	۰۰۰۰	۰۰۱۴	۰۰۶۳	۰۰۶۴	۰۰۷۱	۰۰۵۶	۰۰۷۰	p2-C2
۰۰۰۶	۰۰۰۴	۰۰۰۰	۰۰۱۰	۰۰۱۷	۰۰۵۶	۰۰۵۵	۰۰۶۳	۰۰۴۸	۰۰۶۲	p2-C3
۰۰۰۸	۰۰۰۰	۰۰۰۴	۰۰۰۹	۰۰۰۹	۰۰۷۱	۰۰۷۲	۰۰۸۱	۰۰۶۲	۰۰۸۰	p2-C4
۰۰۰۰	۰۰۰۸	۰۰۰۶	۰۰۰۷	۰۰۱۷	۰۰۵۰	۰۰۵۱	۰۰۵۹	۰۰۴۳	۰۰۵۷	p2-C5
۰۰۰۵	۰۰۳۷	۰۰۴۵	۰۰۴۴	۰۰۵۱	۰۰۷۰	۰۰۷۹	۰۰۸۴	۰۰۷۰	۰۰۷۷	p3-C1
۰۰۳۹	۰۰۳۷	۰۰۳۵	۰۰۳۹	۰۰۵۵	۰۰۴۰	۰۰۴۷	۰۰۵۰	۰۰۴۲	۰۰۴۵	p3-C2
۰۰۴۵	۰۰۳۸	۰۰۳۹	۰۰۴۳	۰۰۵۵	۰۰۵۶	۰۰۶۴	۰۰۶۷	۰۰۵۸	۰۰۶۲	p3-C3
۰۰۵۲	۰۰۴۰	۰۰۵۰	۰۰۴۵	۰۰۴۷	۰۰۸۳	۰۰۹۲	۰۰۹۷	۰۰۸۴	۰۰۹۱	p3-C4
۰۰۶۵	۰۰۴۶	۰۰۵۸	۰۰۵۶	۰۰۵۲	۰۱۰۰	۰۱۱۰	۰۱۱۵	۰۱۰۱	۰۱۰۸	p3-C5
۰۰۲۹	۰۰۳۶	۰۰۳۵	۰۰۳۳	۰۰۵۷	۰۰۲۴	۰۰۲۹	۰۰۳۳	۰۰۲۲	۰۰۳۰	p4-C1
۰۰۳۲	۰۰۴۲	۰۰۳۶	۰۰۳۷	۰۰۶۹	۰۰۱۳	۰۰۱۶	۰۰۲۱	۰۰۰۹	۰۰۱۹	p4-C2
۰۰۳۳	۰۰۴۵	۰۰۳۵	۰۰۴۲	۰۰۷۱	۰۰۰۸	۰۰۱۱	۰۰۱۳	۰۰۰۹	۰۰۱۱	p4-C3
۰۰۳۱	۰۰۳۷	۰۰۳۳	۰۰۳۵	۰۰۶۴	۰۰۱۶	۰۰۱۹	۰۰۲۴	۰۰۱۳	۰۰۲۲	p4-C4
۰۰۳۷	۰۰۴۰	۰۰۴۲	۰۰۴۶	۰۰۷۹	۰۰۰۸	۰۰۱۱	۰۰۱۵	۰۰۰۵	۰۰۱۳	p4-C5
۰۰۴۳	۰۰۵۸	۰۰۴۸	۰۰۵۲	۰۰۸۸	۰۰۰۷	۰۰۱۰	۰۰۱۲	۰۰۰۹	۰۰۱۰	p5-C2
۰۰۴۳	۰۰۵۷	۰۰۴۷	۰۰۵۰	۰۰۸۶	۰۰۰۹	۰۰۱۲	۰۰۱۴	۰۰۱۱	۰۰۱۲	p5-C3
۰۰۳۷	۰۰۵۰	۰۰۳۹	۰۰۴۶	۰۰۷۸	۰۰۰۸	۰۰۱۰	۰۰۱۳	۰۰۰۹	۰۰۱۱	p5-C4
۰۰۴۴	۰۰۶۲	۰۰۵۱	۰۰۵۵	۰۰۹۱	۰۰۰۵	۰۰۰۹	۰۰۱۱	۰۰۰۷	۰۰۰۸	p5-C5

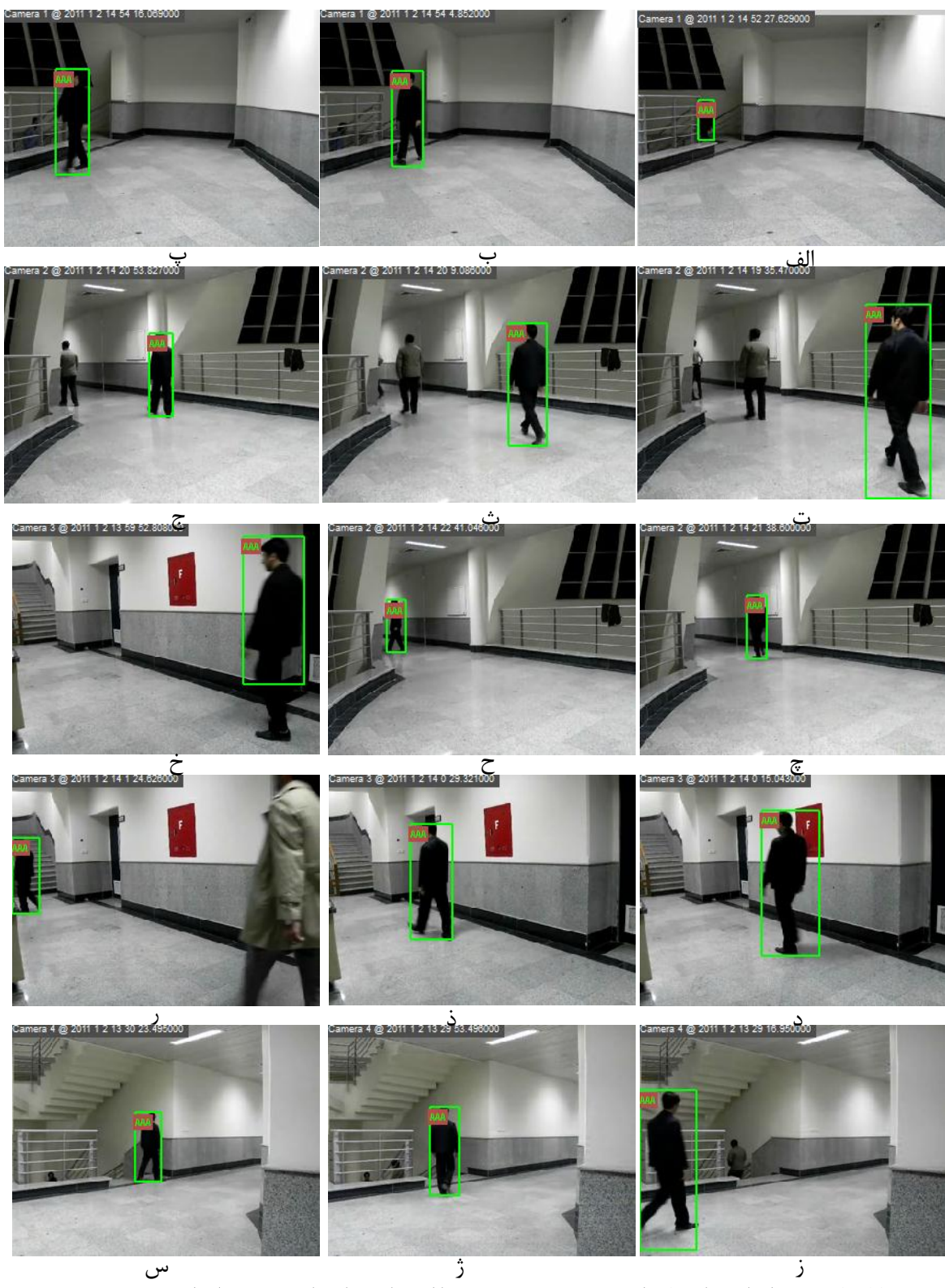
جدول ۳-۵ مقایسه تصاویر مربوط به فرد ۴ با تصاویر موجود در پایگاه داده و نتایج حاصله

p4-C5	p4-C4	p4-C3	p4-C2	p4-C1	p3-C5	p3-C4	p3-C3	p3-C2	p3-C1	
۰۰۱۳	۰۰۲۲	۰۰۱۱	۰۰۱۹	۰۰۳۰	۰۱۰۸	۰۰۹۱	۰۰۶۲	۰۰۴۸	۰۰۷۷	p1-C1
۰۰۰۵	۰۰۱۳	۰۰۰۹	۰۰۰۹	۰۰۲۲	۰۱۰۱	۰۰۸۴	۰۰۵۸	۰۰۴۲	۰۰۷۰	p1-C2
۰۰۱۵	۰۰۲۴	۰۰۱۳	۰۰۲۱	۰۰۳۳	۰۱۱۵	۰۰۹۷	۰۰۶۷	۰۰۵۰	۰۰۸۴	p1-C3
۰۰۱۱	۰۰۱۹	۰۰۱۱	۰۰۱۶	۰۰۲۹	۰۱۱۰	۰۰۹۲	۰۰۶۴	۰۰۴۷	۰۰۷۹	p1-C4
۰۰۰۸	۰۰۱۶	۰۰۰۸	۰۰۱۳	۰۰۲۴	۰۱۰۰	۰۰۸۳	۰۰۵۶	۰۰۴۰	۰۰۷۰	p1-C5
۰۰۷۹	۰۰۶۴	۰۰۷۱	۰۰۶۹	۰۰۵۷	۰۰۵۲	۰۰۴۷	۰۰۵۵	۰۰۵۵	۰۰۵۱	p2-C1
۰۰۴۶	۰۰۳۵	۰۰۴۲	۰۰۳۷	۰۰۳۳	۰۰۵۶	۰۰۴۵	۰۰۴۳	۰۰۳۹	۰۰۴۴	p2-C2
۰۰۴۲	۰۰۳۳	۰۰۳۵	۰۰۳۶	۰۰۳۵	۰۰۵۸	۰۰۵۰	۰۰۳۹	۰۰۳۵	۰۰۴۵	p2-C3
۰۰۵۰	۰۰۳۷	۰۰۴۵	۰۰۴۲	۰۰۳۶	۰۰۴۶	۰۰۴۰	۰۰۳۸	۰۰۳۷	۰۰۳۷	p2-C4
۰۰۳۷	۰۰۳۱	۰۰۳۳	۰۰۳۲	۰۰۲۹	۰۰۶۵	۰۰۵۲	۰۰۴۵	۰۰۳۹	۰۰۵۰	p2-C5
۰۰۵۰	۰۰۳۶	۰۰۴۱	۰۰۴۲	۰۰۳۵	۰۰۰۷	۰۰۰۹	۰۰۰۶	۰۰۱۰	۰۰۰۰	p3-C1
۰۰۲۹	۰۰۲۲	۰۰۱۷	۰۰۲۶	۰۰۲۰	۰۰۲۲	۰۰۱۴	۰۰۰۳	۰۰۰۰	۰۰۱۰	p3-C2
۰۰۴۲	۰۰۳۲	۰۰۲۹	۰۰۳۷	۰۰۳۱	۰۰۱۷	۰۰۱۴	۰۰۰۰	۰۰۰۳	۰۰۰۶	p3-C3
۰۰۰۹	۰۰۴۴	۰۰۴۸	۰۰۵۱	۰۰۳۳	۰۰۰۹	۰۰۰۰	۰۰۱۴	۰۰۱۴	۰۰۰۹	p3-C4
۰۰۷۶	۰۰۵۹	۰۰۶۳	۰۰۶۷	۰۰۵۲	۰۰۰۰	۰۰۰۹	۰۰۱۷	۰۰۲۲	۰۰۰۷	p3-C5
۰۰۰۹	۰۰۰۶	۰۰۱۱	۰۰۰۷	۰۰۰۰	۰۰۵۲	۰۰۳۳	۰۰۳۱	۰۰۲۰	۰۰۳۵	p4-C1
۰۰۰۲	۰۰۰۲	۰۰۰۸	۰۰۰۰	۰۰۰۷	۰۰۶۷	۰۰۵۱	۰۰۳۷	۰۰۲۶	۰۰۴۲	p4-C2
۰۰۰۶	۰۰۰۰۸	۰۰۰۰	۰۰۰۸	۰۰۱۱	۰۰۶۳	۰۰۴۸	۰۰۲۹	۰۰۱۷	۰۰۴۱	p4-C3
۰۰۰۴	۰۰۰۰	۰۰۰۸	۰۰۰۲	۰۰۰۶	۰۰۵۹	۰۰۴۴	۰۰۳۲	۰۰۲۲	۰۰۳۶	p4-C4
۰۰۰۰	۰۰۰۰۴	۰۰۰۶	۰۰۰۰۲	۰۰۰۹	۰۰۷۶	۰۰۵۹	۰۰۴۲	۰۰۲۹	۰۰۵۰	p4-C5
۰۰۱۰	۰۰۱۱	۰۰۰۶	۰۰۱۰	۰۰۲۰	۰۰۷۶	۰۰۶۱	۰۰۳۷	۰۰۲۵	۰۰۴۸	p5-C2
۰۰۱۰	۰۰۱۰	۰۰۰۷	۰۰۱۰	۰۰۲۰	۰۰۷۴	۰۰۶۰	۰۰۳۷	۰۰۲۵	۰۰۴۶	p5-C3
۰۰۰۸	۰۰۰۹	۰۰۰۲	۰۰۰۹	۰۰۱۴	۰۰۶۸	۰۰۵۳	۰۰۳۱	۰۰۱۹	۰۰۴۴	p5-C4
۰۰۰۷	۰۰۱۱	۰۰۰۴	۰۰۰۹	۰۰۱۷	۰۰۷۸	۰۰۶۲	۰۰۳۹	۰۰۲۵	۰۰۵۱	p5-C5

جدول ۴-۵ مقایسه‌ی تصاویر مربوط به فرد ۵ با تصاویر موجود در پایگاه داده و نتایج حاصله

p۴-C۵	p۴-C۴	p۴-C۳	p۴-C۲	
۰۰۰۸	۰۰۱۱	۰۰۱۲	۰۰۱۰	p۱-C۱
۰۰۰۷	۰۰۰۹	۰۰۱۱	۰۰۰۹	p۱-C۲
۰۰۱۱	۰۰۱۳	۰۰۱۴	۰۰۱۲	p۱-C۳
۰۰۰۹	۰۰۱۰	۰۰۱۲	۰۰۱۰	p۱-C۴
۰۰۰۵	۰۰۰۸	۰۰۰۹	۰۰۰۷	p۱-C۵
۰۰۹۱	۰۰۷۸	۰۰۸۶	۰۰۸۸	p۲-C۱
۰۰۵۵	۰۰۴۶	۰۰۵۰	۰۰۵۲	p۲-C۲
۰۰۵۱	۰۰۳۹	۰۰۴۷	۰۰۴۸	p۲-C۳
۰۰۶۲	۰۰۵۰	۰۰۵۷	۰۰۵۸	p۲-C۴
۰۰۴۴	۰۰۳۷	۰۰۴۳	۰۰۴۳	p۲-C۵
۰۰۵۱	۰۰۴۴	۰۰۴۶	۰۰۴۸	p۳-C۱
۰۰۲۵	۰۰۱۹	۰۰۲۵	۰۰۲۵	p۳-C۲
۰۰۳۹	۰۰۳۱	۰۰۳۷	۰۰۳۷	p۳-C۳
۰۰۶۲	۰۰۵۳	۰۰۶۰	۰۰۶۱	p۳-C۴
۰۰۷۸	۰۰۶۸	۰۰۷۴	۰۰۷۶	p۳-C۵
۰۰۱۷	۰۰۱۴	۰۰۲۰	۰۰۲۰	p۴-C۱
۰۰۰۹	۰۰۰۹	۰۰۱۰	۰۰۱۰	p۴-C۲
۰۰۰۴	۰۰۰۲	۰۰۰۷	۰۰۰۶	p۴-C۳
۰۰۱۱	۰۰۰۹	۰۰۱۰	۰۰۱۱	p۴-C۴
۰۰۰۷	۰۰۰۸	۰۰۱۰	۰۰۱۰	p۴-C۵
۰۰۰۲	۰۰۰۲	۰۰۰۱	۰۰۰۰	p۵-C۲
۰۰۰۴	۰۰۰۴	۰۰۰۰	۰۰۰۱	p۵-C۳
۰۰۰۲	۰۰۰۰	۰۰۰۴	۰۰۰۲	p۵-C۴
۰۰۰۰	۰۰۰۲	۰۰۰۴	۰۰۰۲	p۵-C۵

شکل ۷-۵ مجموعه ای از نتیجه هی به دست آمده برای ردیابی یک فرد را نمایش می دهد.



شکل ۴-۵ نمونه ای از ردیابی یک فرد در مجموعه های دوربین ها از شماره ۱ تا شماره ۴، شروع از راست به چپ

### ۳-۵- بررسی پارامتر های تاثیرگذار

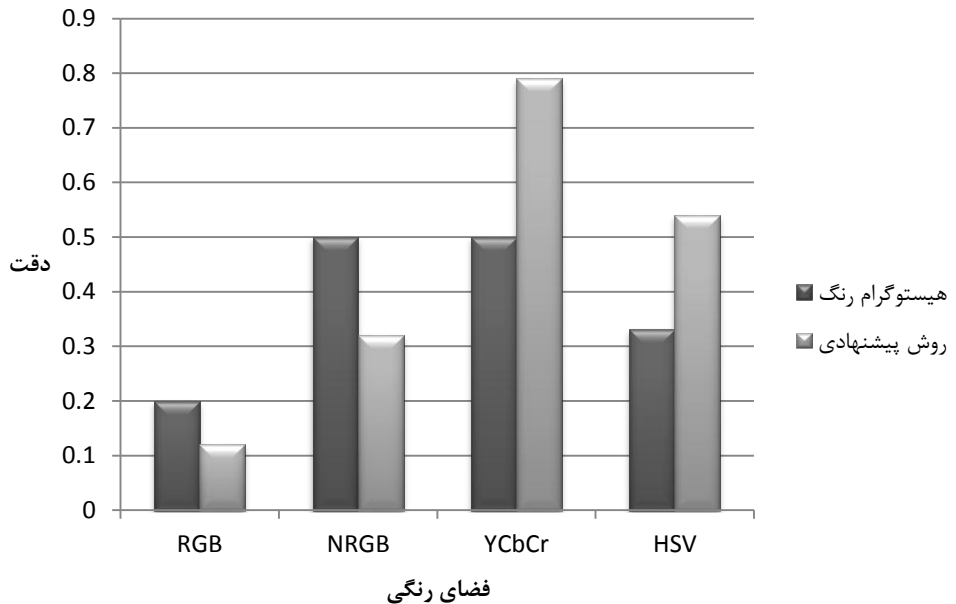
در این بخش تاثیر پارامترهای مختلف بر روی نتیجه‌ی نهایی کسب شده مورد بررسی قرار می-گیرد. پارامتر های زیادی در برقراری ارتباط بین مشاهدات تاثیر دارند که مهمترین آنها عبارتند از

- فضای رنگی انتخاب شده
- تعداد عناصر موجود در بردار ویژگی
- معیار شباهت دو بردار
- تعداد قطر ها در استخراج ویژگی از ماتریس هم‌جواری
- تجمعی بودن توزیع
- نحوه‌ی ترکیب نتایج حاصل از هر مولفه (در فضاهای رنگی سه بعدی)

برای بررسی کارایی الگوریتم ارائه شده و مشاهده‌ی تاثیر پارامتر های مختلف ، ترکیب های موجود برای پارامتر های ذکر شده مورد بررسی قرار گرفت. در این بخش برخی از نتایج به دست آمده مورد تجزیه و تحلیل قرار خواهند گرفت. به دلیل تعدد حالات ممکن، در هر قسمت برخی از پارامترهای ثابت فرض شده و تاثیر سایر پارامتر ها مورد بررسی قرار گرفته است

#### • مقایسه‌ی کارائی ویژگی معرفی شده (بردار قطری ماتریس هم‌رخداد) با رنگ

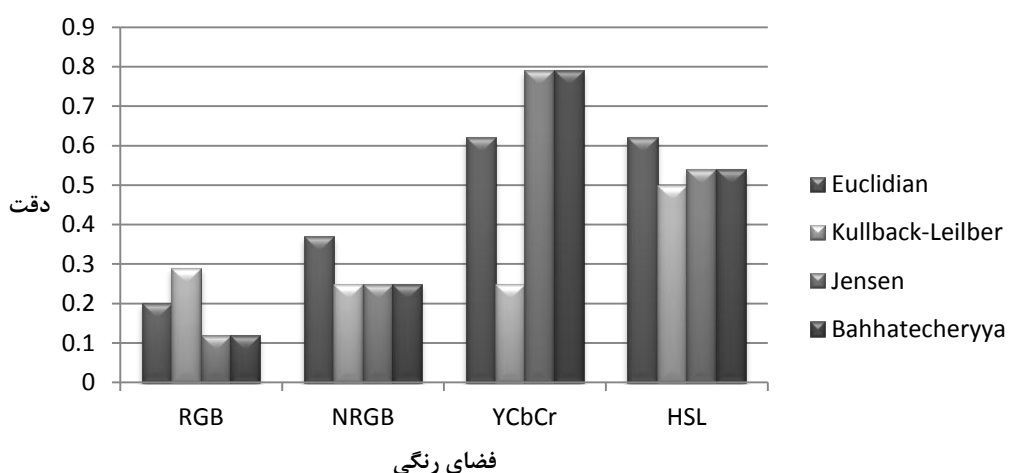
اولین بررسی مربوط به اثبات کارایی ویژگی ارائه شده نسبت به هیستوگرام رنگ می باشد. برای این منظور، تطبیق مشاهدات مربوط به افراد، توسط هیستوگرام رنگ و ویژگی پیشنهاد شده (بردار قطری ماتریس هم‌رخداد) در فضاهای رنگی مختلف، مورد بررسی قرار گرفته‌اند. معیار بررسی شباهت تابع جنسن انتخاب شده است. همانگونه که در شکل ۵-۵ مشاهده می نمایید، دقیق ویژگی ارائه شده در فضاهای رنگی که اطلاعات روشنایی را به صورت جدا ذخیره می نمایند، بالاتر است.



شکل ۵-۵ دقต هیستوگرام رنگ و ویژگی پیشنهاد شده در فضاهای رنگی مختلف

#### بررسی معیار مشابهت

عامل بسیار مهم دیگری که می‌تواند بر کارائی سیستم تاثیر بسزایی داشته باشد، انتخاب معیار مقایسه می‌باشد. معیارهای اقلیدسی، تابع جنسن، ضریب باتاچریا و ضریب واگرایی کولبک-لیلبر بر روی داده‌ها آزمایش شده‌اند که نتیجه این مقایسه را در شکل ۶-۵ نشان داده شده است.

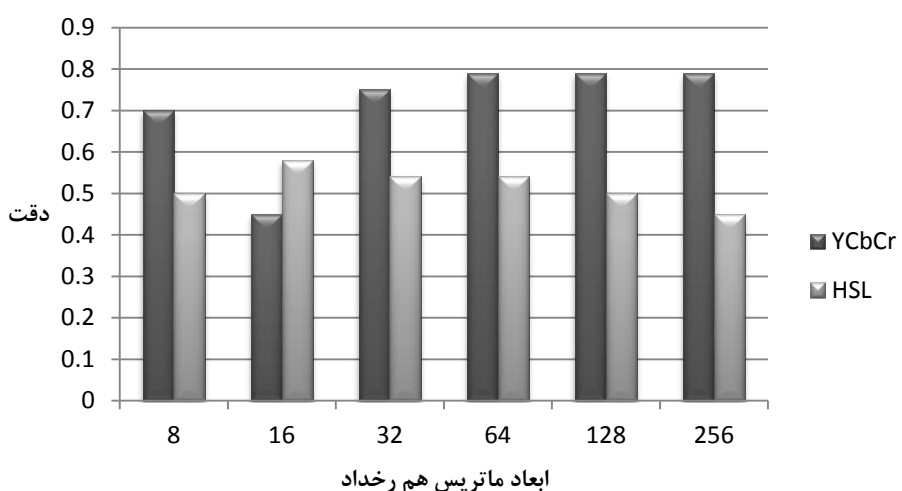


شکل ۶-۵ : نتایج به دست آمده استفاده از معیارهای شباهت بر روی ویژگی تعریف شده

از شکل ۶-۵ می‌توان دریافت، معیار جنسن و ضریب باتاچریا در فضای رنگ تعریف شده منجر به نتایج بهتری شده اند.

#### • تاثیر ابعاد ماتریس هم رخداد

ابعاد ماتریس هم رخداد می‌تواند تاثیر بسزایی در دقت الگوریتم داشته باشد. ابعاد کمتر به معنی این است که هر مولفه، بازه‌ی گسترده‌تری از رنگ‌ها را شامل می‌شود. در عمل تعداد مولفه‌های کمتر به دلیل حذف جزئیات مربوط به رنگ‌ها، باعث کاهش کارائی می‌گردد. از طرفی تعداد مولفه‌های بیشتر، باز محاسباتی بیشتری را به سیستم تحمیل می‌نماید و امکان بروز خطا در الگوریتم مشابه است. به دلیل اثر نویز یا تغییرات جزئی نور بیشتر می‌گردد. نتایج به دست آمده در شکل ۱۰-۵ نمایش داده شده است. همانگونه که مشاهده می‌شود فضای رنگ YCbCr منجر به نتایج بهتری شده است.

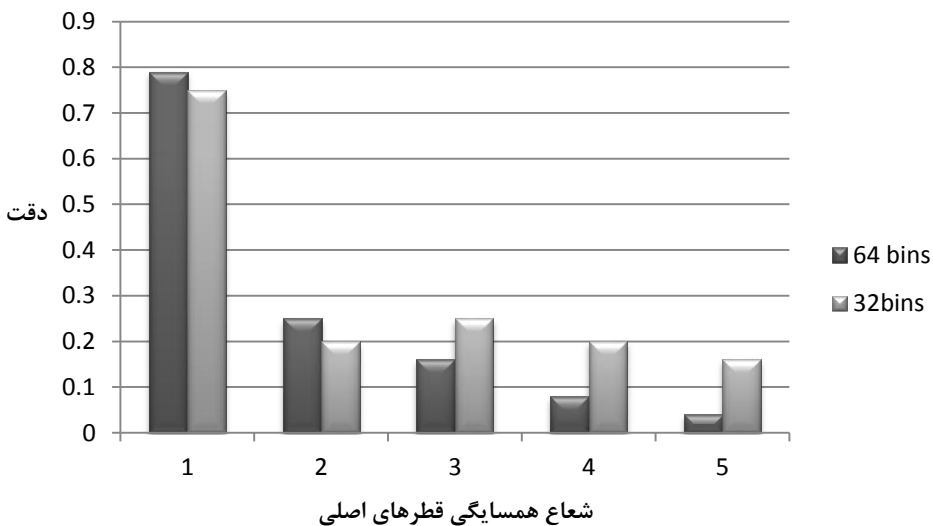


شکل ۷-۵ تاثیر ابعاد ماتریس هم جواری در کارائی سیستم

#### • تاثیر تعداد قطرها

همانگونه که در فصل قبل ذکر شد، برای تصاویر افراد، تجمع مقادیر غیر صفر ماتریس هم رخداد نزدیک قطر اصلی می‌باشد. برای بررسی تعداد قطرهای لازم، مقادیر مختلف از یک تا ۹ قطر(شعاع ۱

تا ۵) بر روی ماتریس هم رخداد بررسی شد که نتیجه‌ی آن را در شکل ۱۱-۵ مشاهده می‌نمایید. نتیجه‌ی این بررسی بسیار جالب است، با افزایش تعداد قطرها دقیقیت الگوریتم به شدت کاهش می‌یابد. دلیل این امر، یکنواختی تقریبی رنگ افراد است. همانگونه که مشاهده می‌گردد، شبیه افت کیفیت با پایین آمدن ابعاد ماتریس کمتر می‌شود.



شکل ۸-۵ تاثیر تعداد قطرهای اصلی بر کارایی سیستم

#### ۴-۵- نتیجه گیری

در این فصل نتایج استفاده از ویژگی معرفی شده در این پایان‌نامه، برای برقراری ارتباط بین مشاهدات به دست آمده در مجموعه‌ی دوربین‌ها مورد بررسی قرار گرفته است. ابتدا شمای کلی از سیستم موجود معرفی شده و به دنبال آن مجموعه داده‌های ویدئویی موجود در پایگاه داده به همراه پیچیدگی‌های ممکن در آن توضیح داده شده است. برای اثبات کارایی ابتدا نتایج به دست آمده با هیستوگرام رنگ در فضاهای رنگی مختلف مقایسه شده و سپس پارامترهای تاثیرگذار بر کارائی ویژگی موجود بررسی قرار گرفته است.

## فصل ع: نتیجه کری و پیشنهادات برای کارهای آینده

این فصل به بررسی نتایج حاصل از پایان نامه پرداخته و در ادامه پیشنهاداتی را برای ادامه ی کار مطرح خواهد نمود.

## ۱-۶- نتیجه گیری

در این پایان نامه، ردیابی افراد در شبکه ای از دوربین ها با دیدهای مجزا (هیچ نقطه‌ی مشترکی بین دو دوربین وجود ندارد)، در محیط های بسته مانند ادارات و مراکز خرید مورد بررسی قرار گرفته است. سیستم های ردیابی افراد، علاوه بر کاربردهای امنیت، کاربردهای فراوان دیگری نیز در زمینه‌های هوش فرآگیر، هوش تجاری و مدیریتی دارند.

اغلب روش های موجود برای ردیابی افراد در چند دوربین از اطلاعات ظاهری افراد برای برقراری تناظر بین مشاهدات مربوط به یک فرد بهره می‌گیرند. رنگ و بافت دو ویژگی سطح پایین هستند که عموماً برای تشخیص اشیا از آنها استفاده می‌شود. رنگ هر شئ به صورت هیستوگرام و یا نمایش های مبتنی بر رنگ های غالب نشان داده می‌شود. استفاده از هیستوگرام، اطلاعات مکانی مقادیر رنگ را نادیده می‌گیرد. در مقابل استفاده از بافت، عموماً از اطلاعات رنگی شئ چشمپوشی می‌نماید.

در این پایان نامه یک ویژگی جدید برای مساله‌ی ردیابی اهداف در شبکه‌ای از دوربین‌ها با دیدهای مجزا برای مکان‌های بسته ارائه شده است. این روش به صورت همزمان از اطلاعات بافتی و همچنین اطلاعات رنگی استفاده می‌نماید. به این ترتیب که بهجای استفاده از اطلاعات رنگ، از عناصر واقع بر روی قطرهای ماتریس هم‌جواری تصویر شئ، در فضای رنگ YCbCr استفاده شده است. این ویژگی نسبت به رنگ ثبات بیشتری داشته و از حساسیت کمتری برخوردار می‌باشد.

پایگاه داده‌ی ویدئویی تعریف شده برای ارزیابی کارائی الگوریتم ارائه شده، ار چندین جهت پیچیده بوده و برخی از محدودیت‌هایی را که در سیستم های موجود وجود دارد، در نظر نگرفته است. تصویر مربوط به افراد دارای ابعاد بوده و در فواصل مختلف از دوربین ضبط شده‌اند. تصاویر از زوایای مختلفی ضبط شده‌اند؛ برخی از تصاویر رو به دوربین و برخی دیگر پشت به دوربین می‌باشند. همچنین تعداد افراد در دوربین‌های مختلف می‌تواند متفاوت بوده و افراد می‌توانند آزادانه و بدون رعایت قوانین خاص

برای حفظ حالات حرکت، در محیط رفت و آمد داشته باشند. پیچیدگی دیگری که در پایگاه داده وجود دارد، عوامل مخدوش کننده تصویر یک شخص از جمله وجود سایه و نویز می‌باشد. الگوریتم ارائه شده تا حدّی، توانایی کار با داده‌های ناقص و مخدوش را نیز دارد. این داده‌ها عموماً به دلیل مشکلات ناشی از قطعه‌بندی نادرست می‌باشد. گاهاً تصویر فرد شامل بخش‌هایی از زمینه به عنوان تصویر فرد می‌باشد. برخی از تصاویر نیز به صورت ناقص تشخیص داده شده‌اند. تشخیص ناقص افراد می‌تواند به دلیل چند تکه‌شدن تصویر فرد و یا کنتراست پایین تصویر فرد و زمینه باشد. به علاوه نمونه‌ها در شرایط نوری متفاوت جمع‌آوری شده‌اند.

سیستم ارائه شده از دو دیدگاه متفاوت در ردیابی تکی و ردیابی در چند دوربین استفاده کرده است. برای ردیابی افراد در یک دوربین تنها ویژگی‌های مکانی - زمانی به همراه معادلات تغییر حالت مورد استفاده قرار گرفته است. استفاده از این ویژگی به همراه فیلتر کالمون، قابلیت ردیابی افراد در موارد بروز همپوشانی کامل را امکان پذیر می‌سازد. علاوه بر این استقلال زیر سیستم ردیابی افراد در یک دوربین از ظاهر افراد، به سیستم امکان ردیابی افراد هنگام تغییر پوشش در محیط را تا حدودی فراهم نموده و افراد می‌توانند تا هنگامی که ناحیه‌ی تشخیص داده شده‌ی آنها تغییر ننماید، پوشش خود را تغییر دهند. در مقابل ردیابی در چند دوربین به هیچ وجه از اطلاعات زمانی - مکانی استفاده ننموده و تنها وابسته به ویژگی‌های ظاهری افراد می‌باشد. بنابر این فرد باید دارای پوشش یکسان در لحظه‌ی خروج از دید یک دوربین و زمان ورود به دوربین دیگر باشد.

سیستم پیشنهاد شده به دلیل استفاده از یک معماری چند لایه توزیع شده، توانایی مدیریت حجم وسیعی از داده‌ها را دارد. تمام رویدادهای اتفاق افتاده در سیستم، در قالب یک ساختمان داده‌ی استاندارد در پایگاه داده ذخیره می‌شوند. بنابر این سیستم قادر به دریافت پرس‌وجوهای مختلف از کاربر و تولید خروجی بر اساس پارامترهای ورودی می‌باشد. پرس و جو‌ها می‌توانند اطلاعات را در قالب نوع رویداد، زمان و مکان رویداد، فرد مورد نظر و سایر پارامترهای موجود فیلتر نمایند.

فیلترینگ بر اساس زمان، مکان و فرد مورد نظر به عنوان مثال مورد ارزیابی قرار گرفته است. همچنین سیستم می تواند با دریافت پارامترهای ورودی، تمام اطلاعات موجود را در قالب یک فیلم تولید نماید.

برای ارزیابی ویژگی معرفی شده و تاثیر پارامترهای مختلف بر آن آزمایش‌های متعددی صورت پذیرفته است. پارامترهایی از قبیل فضاهای رنگی مختلف، ابعاد ماتریس هم‌رخداد، تعداد قطرهای اصلی و معیار شباهت مورد بررسی قرار گرفته است. بهترین نتیجه هنگام استفاده از فضای رنگی YCbCr به دست آمده است. در این فضای رنگی ویژگی روشنایی به طور کامل از سایر مولفه‌ها جدا شده است، بنابراین ویژگی‌های به دست آمده در این فضای رنگ دارای ثبات بیشتری از سایر فضاهای رنگی می باشند. پس از این فضای رنگی، فضای رنگ HSL نیز تا حدی منجر به جواب‌های خوب شده است. تعداد ابعاد ماتریس هم رخداد، تاثیر به سزایی در کارائی سیستم رديابی دارد. ابعاد این ماتریس باید به گونه‌ای انتخاب شود که قابلیت تمییز رنگ‌های افراد در سیستم وجود داشته باشد. نتایج نشان می‌دهد کمی‌سازی ابعاد ماتریس به مقادیر ۳۲، ۶۴ و ۱۲۸ دارای بیشترین کارائی در فضای رنگ مطرح شده دارند. همچنین معیار جنسن در فضای رنگ YCbCr و معیار باتاچریا در فضای رنگ HSV منجر به بهترین جواب‌ها شده اند.

نکته‌ی دیگر کارائی ویژگی مستقل از مقیاس (SIFT) می باشد. اگرچه این ویژگی در بسیاری از کاربردهای تشخیص اشیا منجر به نتیجه‌های خوبی شده است اما با به ماهیت روان بودن و تغییر پذیری لباس افراد استفاده از این ویژگی نتایج خوبی را در برنداشت. همچنین به دلیل وضوح و کیفیت پایین تصویر دریافتی در سیستم‌های نظارتی، عملاً استفاده از این ویژگی را برای برقراری ارتباط بین مشاهدات مربوط به یک فرد غیر ممکن می سازد. در آزمایشات انجام پذیرفته در این پایان نامه، به طور متوسط ۷ نقطه‌ی کلیدی در تصویر مربوط به هر فرد به دست آمد که نسبت نقاط

کلیدی مربوط به یک فرد، که امکان انطباق داشتند، حتی در یک دوربین، بسیار کم و نزدیک به دو نقطه‌ی کلیدی بود.

## ۲-۶- پیشنهادات

کارهای موجود در زمینه‌ی رديابی افراد در چند دوربین با دیدهای مجزا، از پایگاه داده‌ی مخصوص به خود استفاده می‌نمایند. دلیل این امر عدم وجود پایگاه داده‌ی استاندارد در این زمینه می‌باشد. تنها پایگاه داده‌ای در این زمینه، پایگاه داده‌ی Terrascope بود که در حال حاضر امکان استفاده از آن وجود ندارد. به دلیل استفاده از داده‌های مختلف، -که قطعاً از نظر شرایط و میزان پیچیدگی متفاوت می‌باشند- مقایسه‌ی کارهای انجام پذیرفته شده را با مشکل مواجه می‌نماید. بنابراین نیاز به یک پایگاه داده‌ی استاندارد به شدت احساس می‌گردد. ایجاد پایگاه داده می‌تواند به عنوان اولین شاید مهمترین گام برای کارهای آینده باشد.

در این سیستم نحوه‌ی ارتباط بین محیط دوربین‌ها در نظر نگرفته شده است.. با تغییرات اندک می‌توان کارایی الگوریتم موجود برای مقایسه و تطبیق ویژگی‌ها را افزایش داد.

اگرچه تمرکز این پروژه بیشتر بر روی رديابی در چند دوربین بوده است، اما رديابی در تک دوربین‌ها نیز مهم بوده و مشکلات ناشی از این مرحله، در نتیجه‌ی نهایی تاثیر بسزایی دارد. در ادامه این بخش به برخی از این مشکلات و پیشنهادی برای کارهای آینده در این زمینه اشاره خواهد شد. در مسائل واقعی افراد می‌توانند پوشش خود را تغییر دهند. در این پروژه به این نکته توجه شده است و با تکیه بر اطلاعات زمانی و مکانی، تا حدی این مساله رفع شده است. در سیستم ارائه شده فرد می‌تواند پوشش خود را به شرط عدم تغییر اساسی در ناحیه‌ی تشخیص داده شده در تصویر، تعویض نماید. تکیه تنها بر استفاده از اطلاعات مکانی و زمانی، اگرچه مزایایی دارد، اما باعث محدودیت‌هایی

نیز می گردد. یکی از این محدودیت‌ها مساله‌ی چند تکه شدن<sup>۱</sup> تصویر فرد می باشد. در این مشکل بنا به دلایل مختلف، تصویر یک فرد به چند قسمت تقسیم می گردد که باعث تشخیص‌های اشتباه می گردد. علاوه بر این اگر این مشکل در ناحیه‌ی ورودی و یا خروجی اتفاق بیفتد، ممکن است باعث تشخیص نادرست در الگوریتم ارتباط مشاهدات گردد.

هر چند همپوشانی بین افراد تا حدی با استفاده از اطلاعات زمانی- مکانی مرفوع شده است، اما در مواردی که همپوشانی‌ها تشدید می گردد - همپوشانی بین تعداد زیادی از افراد- و یا هنگامی که افراد در حین همپوشانی حالت حرکتی خود را تغییر دهند، این الگوریتم قادر به تشخیص نمی باشد. استفاده از سایر ویژگی‌ها مانند بافت و یا رنگ به شرطی که کلیات مساله را تغییر ندهد - به عنوان مثال تغییر لباس افراد-، می تواند موجب بهبود کارایی الگوریتم تشخیص هم پوشانی گردد. مساله‌ی دیگری که در برخی موارد روال کار برنامه را تحت تاثیر قرار می دهد، تشخیص قسمتی از بدن فرد به عنوان زمینه می باشد. این مساله می تواند ناشی از کنتراست پایین بین زمینه و لباس فرد و یا تشخیص قسمتی از لباس فرد به عنوان سایه باشد. این مساله خصوصا در لباس‌های با رنگ روشن دو شرایط نوری کم اتفاق می افتد. برای حل این مشکل نیاز به تحقیق بیشتر بر روی روش‌های مدل سازی زمینه می باشد.

سیستم پیاده سازی شده از فیلتر کالمن برای ردیابی افراد در محیط استفاده نموده است. در مواردی که هدف دنبال کردن تنها یک فرد باشد، استفاده از فیلتر پارتیکل ممکن است منجر به نتایج بهتری گردد.

---

<sup>۱</sup> Fragmentation

- 
- [1] A. Yilmaz, O. Javed, and M. Shah, “Object Tracking : A Survey,” *ACM Computing surveys*, vol. 38, 2006.
  - [2] O. Javed and M. Shah, *Automated Multi-Camera Surveillance Algorithms and Practice*, Springer, 2008.
  - [3] C. Madden, “Tracking People Across Disjoint Camera Views,” 2009.
  - [4] J.L. Barron, D.J. Fleet, S.S. Beauchemin, and T.A. Burkitt, “Performance of Optical Flow techniques,” *IEEE Conference on Computer Vision and Pattern Recognition.*, 1992, pp. 236-242.
  - [5] S. Ribaric, G. Adrinek, and S. Segvic, “Real-time active visual tracking system,” *Proceedings of the 12th IEEE Mediterranean Electrotechnical Conference (IEEE Cat. No.04CH37521)*, Ieee, 2004, pp. 231-234.
  - [6] W. Hu, T. Tan, L. Wang, and S. Maybank, “A Survey on Visual Surveillance of Object Motion and Behaviors,” *IEEE Transactions on Systems, Man and Cybernetics, Part C (Applications and Reviews)*, IEEE, 2004, pp. 334-352.
  - [7] Z. Tang, Z. Miao, and Y. Wan, “Background Subtraction Using Running Gaussian Average and Frame Difference,” *Entertainment Computing–ICEC 2007*, 2007, p. 411–414.
  - [8] J. Rymel, J. Renno, D. Greenhill, J. Orwell, and G. a Jones, “Adaptive eigen-backgrounds for object detection,” *2004 International Conference on Image Processing, 2004. ICIP '04.*, 2004, pp. 1847-1850.
  - [9] C. Stauffer and W.E.L. Grimson, “Adaptive background mixture models for real-time tracking,” *Computer Vision and Pattern Recognition, 1999. IEEE Computer Society Conference on.*, IEEE, 2002, pp. 246-252.
  - [10] D. Harwood and L. Davis, “W4: Real-time surveillance of people and their activities,” *IEEE Transactions on Pattern Analysis and Machine Intelligence*, vol. 22, 2000, p. 809–830.
  - [11] M. Piccardi, “Background subtraction techniques: a review,” *2004 IEEE International Conference on Systems, Man and Cybernetics (IEEE Cat. No.04CH37583)*, Ieee, 2004, pp. 3099-3104.
  - [12] D.H. Parks and S.S. Fels, “Evaluation of Background Subtraction Algorithms with Post-Processing,” *2008 IEEE Fifth International Conference on Advanced Video and Signal Based Surveillance*, Ieee, 2008, pp. 192-199.
  - [13] A. Cavallaro, E. Salvador, T. Ebrahimi, and Q. Mary, “DETECTING SHADOWS IN IMAGE SEQUENCES,” 2004, pp. 165-174.

- 
- [14] C. Wang and W. Zhang, “A Robust Algorithm for Shadow Removal of Foreground Detection in Video Surveillance,” *2009 Asia-Pacific Conference on Information Processing*, Jul. 2009, pp. 422-425.
  - [15] R. Polana and R. Nelson, “Low level recognition of human motion (or how to get your man without finding his body parts),” *Proceedings of 1994 IEEE Workshop on Motion of Non-rigid and Articulated Objects*, 1994, pp. 77-82.
  - [16] J. Li, C.S. Chua, and Y.K. Ho, “Color based multiple people tracking,” *Control, Automation, Robotics and Vision, 2002. ICARCV 2002. 7th International Conference on*, IEEE, 2003, p. 309–314.
  - [17] P. Perez, C. Hue, J. Vermaak, and M. Gangnet, “Color-based probabilistic tracking,” *Computer Vision—ECCV 2002*, 2002, p. 661–675.
  - [18] W. Lu and Y.P. Tan, “A color histogram based people tracking system,” *Circuits and Systems, 2001. ISCAS 2001. The 2001 IEEE International Symposium on*, IEEE, 2002, p. 137–140.
  - [19] C.J. Poelman and T. Kanade, “A Paraperspective Factorization Method for Shape and Motion Recovery,” *IEEE TRANSACTIONS ON PATTERN ANALYSIS AND MACHINE INTELLIGENCE*, vol. 19, 1997, pp. 206-218.
  - [20] Y. Chen, Y. Rui, and T.S. Huang, “JPDAF Based HMM or Real-Time Contour Tracking,” *Computing*, 2001.
  - [21] Y. Tsai and A. Averbuch, “Automatic segmentation of moving objects in video sequences: a region labeling approach,” *Circuits and Systems for Video Technology, IEEE Transactions on*, vol. 12, 2002, p. 597–612.
  - [22] D.S. Jang and H.I. Choi, “Active models for tracking moving objects,” *Pattern Recognition*, vol. 33, Jul. 2000, p. 1135–1146.
  - [23] C. He, Y.F. Zheng, and S.C. Ahalt, “Object tracking using the Gabor wavelet transform and the golden section algorithm,” *Multimedia, IEEE Transactions on*, vol. 4, Dec. 2003, p. 528–538.
  - [24] C.T. Hsieh, E. Lai, Y.K. Wu, and C.K. Liang, “Robust, real time people tracking with shadow removal in open environment,” *Control Conference, 2004. 5th Asian*, IEEE, 2005, p. 901–905.
  - [25] C. Wren, A. Azarbayejani, T. Darrell, and A. Pentland, “P finder : Real-Time Tracking of the Human Body,” *IEEE Transactions on Pattern Analysis and Machine Intelligence*, vol. 19, 1997, pp. 780-785.
  - [26] D.P. Huttenlocher, J.J. Noh, and W.J. Ruckridge, “Tracking non-rigid objects in complex scenes,” *1993 (4th) International Conference on Computer Vision*, IEEE Computer Society Press, 1993, pp. 93-101.

- 
- [27] S. McKenna, "Tracking Groups of People," *Computer Vision and Image Understanding*, vol. 80, Oct. 2000, pp. 42-56.
  - [28] N. Peterfreund, "Robust tracking of position and velocity with Kalman snakes," *Pattern Analysis and Machine Intelligence, IEEE Transactions on*, vol. 21, Jun. 2002, p. 564–569.
  - [29] C.E. Erdem, a M. Tekalp, and B. Sankur, "Video object tracking with feedback of performance measures," *IEEE Transactions on Circuits and Systems for Video Technology*, vol. 13, Apr. 2003, pp. 310-324.
  - [30] G. Welch and G. Bishop, "An introduction to the Kalman filter," *University of North Carolina at Chapel Hill, Chapel Hill, NC*, 1995.
  - [31] M.I. Ribeiro, "Kalman and extended kalman filters: Concept, derivation and properties," *Institute for Systems and Robotics, Lisboa Portugal*, 2004.
  - [32] M.S. Arulampalam, S. Maskell, N. Gordon, and T. Clapp, "A tutorial on particle filters for online nonlinear/non-Gaussian Bayesian tracking," *IEEE Transactions on signal processing*, vol. 50, 2002, p. 174–188.
  - [33] K. Nummiaro, E. Koller-Meier, and L. Van Gool, "An adaptive color-based particle filter," *Image and Vision Computing*, vol. 21, Jan. 2003, pp. 99-110.
  - [34] D. Comaniciu and V. Ramesh, "Real-time tracking of non-rigid objects using mean shift," *US Patent 6,590,999*, Jul. 2003.
  - [35] K. Jeong, "OBJECT MATCHING IN DISJOINT CAMERAS USING A COLOR TRANSFER APPROACH," 2006.
  - [36] T. D'Orazio, P.L. Mazzeo, and P. Spagnolo, "Color Brightness Transfer Function evaluation for non overlapping multi camera tracking," *Distributed Smart Cameras, 2009. ICDSC 2009. Third ACM/IEEE International Conference on*, IEEE, 2009, p. 1–6.
  - [37] C. Madden, E.D. Cheng, and M. Piccardi, "Tracking people across disjoint camera views by an illumination-tolerant appearance representation," *Machine Vision and Applications*, vol. 18, Mar. 2007, p. 233–247.
  - [38] K. Jeong and C. Jaynes, "Object matching in disjoint cameras using a color transfer approach," *Machine Vision and Applications*, vol. 19, May. 2007, pp. 443-455.
  - [39] J. Orwell, P. Remagnino, and G. a Jones, "Multi-camera colour tracking," *Proceedings Second IEEE Workshop on Visual Surveillance (VS'99) (Cat. No.98-89223)*, IEEE Comput. Soc., , pp. 14-21.

- 
- [40] B. Prosser, S. Gong, T. Xiang, and Q. Mary, "Multi-camera matching using bi-directional cumulative brightness transfer functions," *Proceedings of the British Machine Vision Conference*, Citeseer, 2008.
  - [41] T. Darrell, G. Gordon, M. Harville, and J. Woodfill, "Integrated person tracking using stereo, color, and pattern detection," *International Journal of Computer Vision*, vol. 37, 2000, p. 175–185.
  - [42] M.H. Tan and S. Ranganath, "Multi-camera people tracking using Bayesian networks," *Proceedings of the 2003 Joint Conference of the Fourth International Conference on Information Communications and Signal Processing and the Fourth Pacific Rim Conference on Multimedia*, IEEE Press, 2003, p. 1335–1340.
  - [43] C. BenAbdelkader, R. Cutler, and L. Davis, "Person identification using automatic height and stride estimation," *Pattern Recognition, 2002. Proceedings. 16th International Conference on*, IEEE, 2005, p. 377–380.
  - [44] V. Kettner, "Bayesian multi-camera surveillance," *Computer Vision and Pattern*, vol. 00, 2002, pp. 253-259.
  - [45] a Rahimi, B. Dunagan, and T. Darrell, "Simultaneous calibration and tracking with a network of non-overlapping sensors," *Proceedings of the 2004 IEEE Computer Society Conference on Computer Vision and Pattern Recognition, 2004. CVPR 2004.*, pp. 187-194.
  - [46] O. Javed and K. Shafique, "Appearance Modeling for Tracking in Multiple Non-Overlapping Cameras," *2005 IEEE Computer Society Conference on Computer Vision and Pattern Recognition (CVPR '05)*, pp. 26-33.
  - [47] D.G. Lowe, "Distinctive image features from scale-invariant keypoints," *International journal of computer vision*, vol. 60, Nov. 2004, p. 91–110.
  - [48] D.R. Kisku, A. Rattani, E. Grossi, and M. Tistarelli, "Face Identification by SIFT-based Complete Graph Topology," *2007 IEEE Workshop on Automatic Identification Advanced Technologies*, Jun. 2007, pp. 63-68.
  - [49] R.M. Haralick, K. Shanmugam, and I.H. Dinstein, "Textural features for image classification," *IEEE Transactions on systems, man and cybernetics*, vol. 3, Nov. 1973, p. 610–621.
  - [50] R.C. Gonzalez and R.E. Woods, *Digital Image Processing (3rd Edition)*, Prentice Hall, .
  - [51] H. Fu, M.K. Ng, M. Nikolova, and J.L. Barlow, "Efficient Minimization Methods of Mixed  $l_2-l_1$  and  $l_1-l_1$  Norms for Image Restoration," *SIAM Journal on Scientific Computing*, vol. 27, 2006, p. 1881.

- [52] C. Jaynes, A. Kale, N. Sanders, and E. Grossmann, “The terrascope dataset: A scripted multi-camera indoor video surveillance dataset with ground-truth,” *Proceedings of the IEEE Workshop on VS PETS*, Citeseer, 2005, pp. 309-316.

## **Abstract**

People Behavior analysis has lots of applications in various fields including customer behavior analysis in shopping centers and protection of facilities such as banks and airports. Tracking people is the first step in such systems. It is not possible for a single camera to observe a wide environment due to the limitation of sensors. Therefore a network of cameras is needed. In addition of Single camera tracking problems, Multi camera systems especially non-overlapping views encounter with other challenges. For example appearance of people is changeable due to situations such as different illumination, position of people, view angle and other parameters of the camera. In addition presence of people in camera views doesn't follow a certain rule and they can widely separate in time and space especially when cameras have no common area in their views, which make the problem more challenging.

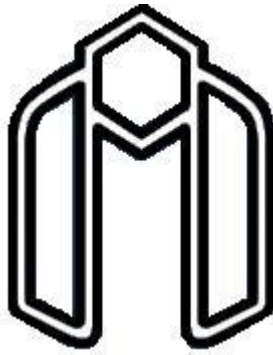
In this thesis, a new method is proposed to track people across disjoint camera views for an indoor environment. In this method, tracking people is performed in two stages. In the first stage people are tracked in each camera independently. Occurred events in each camera are saved in a central database with a standard data structure. In the second step, each person is tracked in whole environment, based on the information saved in database.

Background modeling and frame difference is used in order to detect people in a single camera. After applying pre-processes to improve the quality of detected objects and eliminating disturbing thing such as shadows, trajectory of each person is determined by Kalman Filter and MHT. Proposed method can track people in different illumination conditions and in presence of occlusions.

In order to establish correspondence between observations, which are related to a person, across cameras, Extracted features are compared with those **that** are saved in database. In this thesis a new feature is proposed that is more robust in different illumination conditions as well as being more distinguishable. This feature utilizes the main diagonal elements of Co-Occurrence matrix in YCbCr color space.

Proposed method is tested on samples from 5 cameras with different views of a building. Results **showed** that this feature is more robust than features like color.

Keywords: people tracking, Co-Occurrence matrix, Appearance model, Color space



**Shahrood University of Technology**

**Faculty of Computer and IT Engineering**

# **Tracking People Across Disjoint Camera Views for Indoor Environment**

**Rahman Yousefzadeh**

**Supervisor:**

**Dr. Hamid Hassanpour**

**Associate supervisor:**

**Dr. Ali.A Pouyan**

**January 2011**